T.C.

AKDENİZ ÜNİVERSİTESİ

YAPAY ZEKA DESTEKLİ WEB TABANLI BASINÇ YARASI EVRELENDİRME SİSTEMİ

Ahmet SARIOĞLU

FEN BİLİMLERİ ENSTİTÜSÜ

ELEKTRİK-ELEKTRONİK MÜHENDİSLİĞİ

ANABİLİM DALI

YÜKSEK LİSANS TEZİ

MART 2025

ANTALYA

T.C.

AKDENİZ ÜNİVERSİTESİ

YAPAY ZEKA DESTEKLİ WEB TABANLI BASINÇ YARASI EVRELENDİRME SİSTEMİ

Ahmet SARIOĞLU

FEN BİLİMLERİ ENSTİTÜSÜ

ELEKTRİK-ELEKTRONİK MÜHENDİSLİĞİ

ANABİLİM DALI

YÜKSEK LİSANS TEZİ

MART 2025

ANTALYA

Evrak Tarih ve Sayısı: 15.04.2025-680

T.C.
AKDENİZ ÜNİVERSİTESİ
FEN BİLİMLERİ ENSTİTÜSÜ

YAPAY ZEKA DESTEKLİ WEB TABANLI BASINÇ YARASI EVRELENDİRME SİSTEMİ

Ahmet SARIOĞLU

ELEKTRİK-ELEKTRONİK MÜHENDİSLİĞİ

ANABİLİM DALI

YÜKSEK LİSANS

Bu tez 14/03/2025 tarihinde jüri tarafından Oybirliği ile kabul edilmiştir.

Dr. Öğr. Üyesi Yalçın ALBAYRAK (Danışman)

Prof. Dr. Selçuk HELHEL

Dr.Öğr.Üyesi Mehmet Erahan ŞAHİN

Bu belge, güvenli elektronik İmza ile imzalanmıştır.
Evrak sorgulaması https://turkiye.gov.tr/ebd?eK=5543&eD=BSAP74LEJZ&eS=680 adresinden yapılabilir. (PIN:03982)

ÖZET

YAPAY ZEKA DESTEKLİ WEB TABANLI BASINÇ YARASI EVRELENDİRME SİSTEMİ

Ahmet SARIOĞLU

Yüksek Lisans Elektrik Elektronik Mühendisliği Anabilim Dalı

Danışman: Dr.Öğr.Üyesi Yalçın ALBAYRAK

2.Danışman: Dr.Öğr.Üyesi Emine Selda GÜNDÜZ

Mart 2025; 68 sayfa

Bu tez, derin öğrenme tabanlı görüntü sınıflandırma yöntemlerini kullanarak, basınç yaralarının tanımlanması sürecinde sağlık sektörüne yönelik bir web tabanlı uygulama geliştirmeyi amaçlamaktadır. Bu doğrultuda, kullanıcıların, basınç yaralarının farklı evrelerini doğru bir şekilde tanımlayabilecekleri ve bu sürecin yapay zekâ destekli sınıflandırma sonuçlarını görebileceği bir Vue.js tabanlı web uygulaması tasarlanmıştır.

Ayrıca, farklı derin öğrenme modelleri (InceptionV3, ResNet50, DenseNet121 gibi) kullanarak yapılan görüntü sınıflandırma işlemlerinin performansları incelenmiştir. Modellerin doğruluk, precision, recall, ve F1 skoru gibi metrikler ile karşılaştırılması yapılmıştır. Bu modeller, basınç yaralarını dört evreye ayırarak, her evre için doğru sınıflandırma yapabilme yetenekleri üzerinden değerlendirilmiştir. Vue.js ve TensorFlow.js gibi teknolojilerle web ortamına entegre edilen derin öğrenme modeli sayesinde, kullanıcıların gerçek zamanlı olarak basınç yarası görsellerini yükleyip, yapay zekâ desteğiyle doğru sınıflandırmalar alması sağlanmıştır.

Web uygulaması, kullanıcı dostu arayüz ve mobil uyumlu tasarım ile, sağlık profesyonellerinin hastalarını değerlendirme süreçlerine destek sağlamayı hedeflemektedir. Vue.js framework'ü kullanılarak geliştirilen uygulama, responsive tasarım prensiplerine dayanmakta ve hastalar ile sağlık çalışanları için pratik çözümler sunmaktadır. Ayrıca, uygulama, basınç yarası görsellerinin yüklenmesi, sınıflandırma sonuçlarının görselleştirilmesi, geçmiş sonuçların saklanması gibi temel işlevleri yerine getirebilmektedir.

Tezde ayrıca, kullanıcı geri bildirimlerine dayalı uygulama kullanılabilirliği testleri gerçekleştirilmiş, uygulamanın doğruluk oranı yüksek modeller ile güvenli ve etkili Bir şekilde çalıştığı tespit edilmiştir. Yapay zekâ modellerinin klinik ortamlarda kullanımının güvenli ve şeffaf hale getirilmesi için de önerilerde bulunulmuştur. Bu sistemin, sağlık

profesyonellerinin kararlarını destekleyerek, klinik süreçlerin iyileştirilmesi ve hastaların daha hızlı ve doğru bir şekilde değerlendirilmesi noktasında katkı sağlaması beklenmektedir.

Sonuç olarak, derin öğrenme tabanlı modellerin sağlık hizmetlerinde kullanılabilirliği ve Vue.js ile yapılan web uygulaması geliştirme süreçlerinin birleşimi, dijital sağlık teknolojileri alanında önemli bir gelişme olup, bu alandaki teknolojik ilerlemelerin hastane ortamlarında daha hızlı uygulanabilirliğine olanak tanıyacaktır.

ANAHTAR KELİMELER: Basınç yarası, Derin öğrenme, Görüntü işleme, Web tabanlı uygulama

JÜRİ: Dr. Öğr. Üyesi Yalçın ALBAYRAK

Prof. Dr. Selçuk HELHEL

Dr. Öğr. Üyesi Mehmet Erhan ŞAHİN

ABSTRACT

AI-POWERED WEB-BASED PRESSURE ULCER STAGING SYSTEM

Ahmet SARIOĞLU

Master's Program in Electrical and Electronics Engineering

Advisor: Asst.Prof. Dr. Yalçın ALBAYRAK

The Second Supervisor: Asst. Prof. Dr. Emine Selda GÜNDÜZ

March 2025; 68 pages

This thesis aims to develop a web-based application for the healthcare sector using deep learning-based image classification methods to assist in the identification of pressure ulcers. In this context, a Vue.js-based web application has been designed, enabling users to accurately identify different stages of pressure ulcers and view the results of AI-supported classification.

Additionally, the performance of various deep learning models (InceptionV3, ResNet50, DenseNet121, etc.) for image classification has been investigated. These models have been evaluated based on metrics such as accuracy, precision, recall, and F1 score. The models were assessed based on their ability to classify pressure ulcers into four distinct stages and make correct predictions for each stage.

By integrating the deep learning model with technologies like Vue.js and TensorFlow.js into a web environment, the application enables users to upload pressure ulcer images in real-time and receive accurate classifications supported by artificial intelligence. The web application is designed with a user-friendly interface and mobile-responsive features, aiming to assist healthcare professionals in the patient evaluation process. Built with the Vue.js framework, the application adheres to responsive design principles, providing practical solutions for both patients and healthcare providers. It includes essential features like image upload, visualization of classification results, and storage of historical data.

Furthermore, usability testing based on user feedback has been conducted, confirming that the application operates securely and effectively with high-accuracy models. Recommendations have been proposed for ensuring the safe and transparent use of AI models in clinical environments. The system is expected to support healthcare professionals in decision-making, thereby contributing to the improvement of clinical processes and enabling faster and more accurate patient evaluations.

In conclusion, the combination of deep learning-based models in healthcare and web application development using Vue.js represents a significant advancement in digital health technologies, facilitating the faster implementation of technological innovations in hospital settings.

KEYWORDS: Deep learning, Image processing, Web-based application, Pressure ulcer

COMMITTEE: Asst. Prof. Dr. Yalçın ALBAYRAK

Prof. Dr. Selçuk HELHEL

Asst. Prof. Dr. Mehmet Erhan ŞAHİN

ÖNSÖZ

Bu çalışma, medikal görüntü işleme alanındaki yenilikçi yaklaşımların bir örneği olarak, basınç yaralarının sınıflandırılmasına yönelik derin öğrenme tabanlı modellerin incelenmesi ve bu alandaki sınırlılıkların aşılmasına katkı sağlamak amacıyla hazırlanmıştır. Tıbbi tanı süreçlerini geliştirmeye yönelik derin öğrenme algoritmalarının potansiyelini vurgulayan bu araştırma, modern tıbbın karşılaştığı zorluklara yapay zekâ tabanlı çözümler sunmayı hedeflemektedir.

Çalışmanın her aşamasında, bilgi birikimini ve değerli geri bildirimlerini paylaşarak beni yönlendiren, araştırmaya katkı sunan değerli danışmanım Dr. Öğr. Üyesi Yalçın Albayrak'a sonsuz teşekkürlerimi sunarım. Kendisinin bilimsel yaklaşımı ve teşviki, bu çalışmayı hayata geçirmede önemli bir ilham kaynağı olmuştur.

Bu projeyi gerçekleştirirken, bana destek olan aileme ve tüm çalışma arkadaşlarıma da ayrıca minnettarım. Verdikleri manevi destek sayesinde zorlu süreçleri aşmak benim için çok daha kolay hale geldi.

Umuyorum ki bu çalışma, tıbbi tanı süreçlerine katkı sunmanın yanı sıra, bilimsel topluluğa yol gösterici bir kaynak olarak hizmet eder ve gelecekteki araştırmalara ilham kaynağı olur.

İÇİNDEKİLER

ÖZET ……...…….... i

ABSTRACT …..……...…… iii

ÖNSÖZ ……...…….…... v

AKADEMİK BEYAN ……...……...……. viii

SİMGELER VE KISALTMALAR ……...……...…...…….. ix

ŞEKİLLER DİZİNİ ...……. x

ÇİZELGELER DİZİNİ …...……...…. xii

1. GİRİŞ ……...……...…….....…...….. 1

2. KAYNAK TARAMASI……...…...…… 5

2.1. Derin Öğrenme ve Makine Öğrenmesi Uygulamaları ……..… 5

2.2. Konvolüsyonel Sinir Ağları (CNN) ve Yapay Sinir Ağları…….. ……..….. 7

2.3. Veri Artırma, Transfer Öğrenme ve Web Uygulamalarında Uygulama ……..…… 7

3. MATERYAL VE METOT ……...…...…… 9

3.1. Sistemin Akış Diyagramı…….. 9

3.2. Uygulanan Yöntem ve Yaklaşım ….……... 10

3.2.1. Veri Seti ve Araştırma Sürecinin Genel Çerçevesi 10

3.2.2. Derin Öğrenme Modelinin Tasarımı ve Geliştirilmesi …..... 13

3.2.3 Frontend ve Backend Entegrasyonu ile Yazılım Sisteminin Oluşturulması … 14

3.2.4. Teknolojik Araçların Rolü 15

3.3. Basınç Yarası Tanısı İçin Derin Öğrenme Teknikleri …….. 16

3.3.1. Derin Öğrenmenin Basınç Yarası Tanısındaki Avantajları 16

3.3.2. Kullanılan Derin Öğrenme Teknikleri 16

3.3.3. Uygulama Aşamaları …….. 16

3.3.4. Başarıyı Artıran Destekleyici Teknikler 17

3.4. Model Seçimi ve Eğitim Süreci ……...……... 17

3.4.1. Model Eğitim Süreci 18
3.4.2. Model Değerlendirme ve İyileştirme 18
3.4.3. Modelin Eğitim Süresi ve Donanım Özellikleri 18
3.5. Vue.js ile Frontend Geliştirme …… 19
3.5.1. Proje Kod Örnekleri ve Kullanıcı Arayüzü Tasarımı ……. 20
3.6. Python ile Backend Ve Model Geliştirme ……... 26
3.7. Kullanılan Derin Öğrenme Kütüphaneleri ve Araçlar …… ……..……... 32
4. BULGULAR VE TARTIŞMA ……..….. 34
5. SONUÇLAR …… 65
6. KAYNAKLAR…… ……...…..... 67
ÖZGEÇMİŞ

AKADEMİK BEYAN

Yüksek lisans tezi olarak sunduğum “YAPAY ZEKA DESTEKLİ WEB TABANLI BASINÇ YARASI EVRELENDİRME SİSTEMİ” adlı bu çalışmanın, akademik kurallar ve etik değerlere uygun olarak yazıldığını belirtir, bu tez çalışmasında bana ait olmayan tüm bilgilerin kaynağını gösterdiğimi beyan ederim.

14/03/2025

Ahmet SARIOĞLU

İmzası

SİMGELER VE KISALTMALAR

Kısaltmalar

AI	:	Yapay zekâ
CNN	:	Konvolüsyonel sinir ağı
LSTM	:	Uzun Kısa Süreli Bellek
PIID	:	FU-MedicalAI. 2023. *Pressure Injury Image Dataset*
ReLU	:	Düzleştirilmiş Doğrusal Birim
ResNet	:	Artık Ağlar
VGG	:	Görsel Geometri Grubu

ŞEKİLLER DİZİNİ

Şekil 1.1. Basınç yaralarının sınıflandırılması ……...… 1

Şekil 1.2. Basınç yarası oluşumunda risk bölgeleri ..…… 4

Şekil 3.1. Sistemin akış diyagramı ……..... 9

Şekil 3.2. PIID Veri Seti: Evreler ve Örnek Görüntüler (Fu-MedicalAI. 2023)…… 11

Şekil 3.3. Tıbbi tanıda derin öğrenmenin genel çalışma yapısı …….……... 17

Şekil 3.4. Sistemin giriş sayfasının kodunun bir kısmı ……. 20

Şekil 3.5. Sistemdeki tablo komponentini kodu …….……..... 21

Şekil 3.6. Web uygulaması giriş ekranı resmi …….……...… 21

Şekil 3.7. Web uygulamasında hastaların listelendiği sayfanın tasarımı …….. 22

Şekil 3.8. Web uygulamasında hastaların listeden silinme kodunun örneği ……..... 22

Şekil 3.9. Hastaya yeni resim yükleme ve yapay zekayı çalıştırma ekranı tasarımı …… 23

Şekil 3.10. Sisteme yeni hasta ekleme kısmının kodu …….... 25

Şekil 3.11. Web uygulamasında istenilen hastanın geçmiş verileri görme ekranı tasarımı.. 25

Şekil 3.12. PIID veri setini evrelere ayıran kodun bir bölümü …..……..... 28

Şekil 3.13. Resimlerin çoğaltılmasının kodunun bir bölümü ……..... 29

Şekil 3.14. Yapay zeka modelinin ...……..... 29

Şekil 3.15. Yapay zekâ modelinin eğitim fonksiyonunun kodu …..……..... 30

Şekil 3.16. Derin ögrenme modellerinin kodu ……..... 31

Şekil 4.1. Orijinal görüntü ve her bir kanalın (Hue, Saturation,Value) görsel temsilleri..... 36

Şekil 4.2. **a)** InceptionV3 Modeli Eğitim Kaybı Grafiği;
b) InceptionV3 Modeli Eğitim Doğruluk Grafiği ……..... 43

Şekil 4.3. InceptionV3 Modeli Confusion Matrix ……..…….…… 43

Şekil 4.4. **a)** InceptionResNetV2 Modeli Eğitim Kaybı Grafiği;
b) InceptionResNetV2 Modeli Eğitim Doğruluk Grafiği …….…… 44

Şekil 4.5. InceptionResNetV2 Modeli Confusion Matrix …… 45

Şekil 4.6. **a)** ResNet50 Modeli Eğitim Kaybı Grafiği;
b) ResNet50 Modeli Eğitim Doğruluk Grafiği ……. 46

Şekil 4.7. ResNet50 Modeli Confusion Matrix …… 47

Şekil 4.8. **a)** VGG16 Modeli Eğitim Kaybı Grafiği;
b) VGG16 Modeli Eğitim Doğruluk Grafiği ……..…..…….. 48

Şekil 4.9. VGG16 Modeli Confusion Matrix ……..…… 49

Şekil 4.10. **a)** Xception Modeli Eğitim Kaybı Grafiği;
b) Xception Modeli Eğitim Doğruluk Grafiği……...…….50

Şekil 4.11. Xception Modeli Confusion Matrix ……..... 51

Şekil 4.12. **a)** DenseNet121Modeli Eğitim Kaybı Grafiği;
b) DenseNet121Modeli Eğitim Doğruluk Grafiği ……...……. 52

Şekil 4.13. DenseNet121 Modeli Confusion Matrix …..……. 53

Şekil 4.14. **a)** EfficientNetB7 Eğitim Kaybı Grafiği;
b) EfficientNetB7 Eğitim Doğruluk Grafiği ……...……. 54

Şekil 4.15. EfficientNetB7 Modeli Confusion Matrix …….. 55

Şekil 4.16. **a)** NASNetLarge Eğitim Kaybı Grafiği;
b) NASNetLarge Eğitim Doğruluk Grafiği ……...……...… 56

Şekil 4.17. NASNetLarge Modeli Confusion Matrix …….. 57

Şekil 4.18. **a)** NASNetMobile Eğitim Kaybı Grafiği;
b) NASNetMobile Eğitim Doğruluk Grafiği ……...……. 58

Şekil 4.19. NASNetMobile Modeli Confusion Matrix ……. 59

Şekil 4.20. **a)** MobileNetV3Large Eğitim Kaybı Grafiği;
b) MobileNetV3Large Eğitim Doğruluk Grafiği ……...…….. 60

Şekil 4.21. MobileNetV3Large Modeli Confusion Matrix ……..... 61

Şekil 4.22. **a)** MobileNetV3Small Eğitim Kaybı Grafiği;
b) MobileNetV3Small Eğitim Doğruluk Grafiği ……...…….. 62

Şekil 4.23. MobileNetV3Small Modeli Confusion Matrix …..…… 63

Şekil 4.24. Modellerin F1 Skor Sonuç Tablosu …….…….. 64

Şekil 4.25. Modellerin Precision Sonuç Tablosu ……..…… 64

ÇİZELGELER DİZİNİ

Çizelge 1.1. Basınç Yaraları Evreler ..…….…...… 2

Çizelge 1.2. Kullanılacak Veri Türleri ve Uygulama Alanları …….……..…… 3

Çizelge 1.3. Kullanılacak Veri Türleri ve Uygulama Alanları …….……..…… 4

Çizelge 3.1. Derin Ögrenmenin Avantajları ve Dezavantajları …….…… 14

1.GİRİŞ

Basınç yaraları (pressure ulcers), genellikle uzun süreli yatak istirahati, hareketsizlik ya da yaşlılık gibi durumlarla ilişkilendirilen, ciltteki doku kaybı ve hasarına yol açan ciddi sağlık sorunlarıdır. Bu yaralar, vücudun kemik çıkıntılarının bulunduğu bölgelerde özellikle yoğunlaşır ve tedavi edilmediği takdirde enfeksiyonlar, sepsis gibi hayati risklere yol açabilir. Basınç yaraları, hastanelerde yatan, yaşlı veya engelli bireylerde sıkça görülen bir sağlık sorunu olup, tedavi edilmediğinde hasta bakımını zorlaştırmakta ve sağlık harcamalarını artırmaktadır.

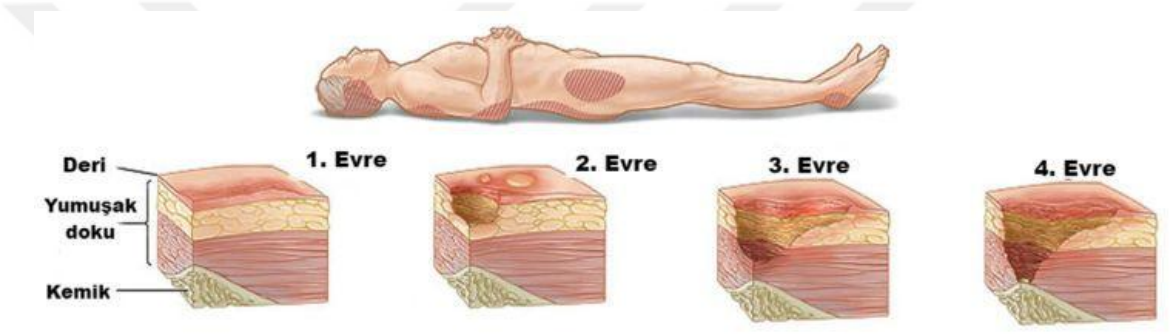

Şekil 1.1. Basınç yaralarının sınıflandırılması (Anonymous 1).

Şekil 1.1'de göründüğü gibi basınç yaraları 4 evreden oluşmaktadır. Geleneksel olarak, basınç yaralarının tanısı, klinik gözlemler, hastanın şikayetleri ve fiziksel muayene ile konulmaktadır. Ancak, bu yöntemler genellikle geçici ve subjektif olabilmektedir, dolayısıyla doğru ve hızlı bir tanı koyulması zorlu hale gelebilir. Ayrıca, basınç yaralarının erken evrelerde tespit edilmesi, tedavi sürecini ve iyileşme oranını önemli ölçüde iyileştirebilir. Bu durum, erken tanı ve doğru müdahale gereksinimini daha da önemli hale getirmektedir. Bununla birlikte, basınç yaraları gibi bazı tıbbi durumlar için bu tür yöntemlerin yeterince geliştirilmediği ve literatürde eksikliklerin bulunduğu görülmektedir. Bu nedenle, basınç yaralarının erken evrelerde tespit edilmesinde daha etkili teknolojilere ihtiyaç duyulmaktadır (Smith, J. et al. 2020).

Bu tezde ele alınan problem, basınç yaralarının tanısını erken evrelerde tespit etmek için derin öğrenme tabanlı bir model geliştirilmesidir. Tezin temel problemi, bu tür yaraların doğru bir şekilde tanınabilmesi için derin öğrenme tekniklerinin ve görüntü işleme yöntemlerinin etkin bir şekilde entegrasyonunu sağlamak, aynı zamanda bu süreci kullanıcı dostu bir web tabanlı uygulama ile erişilebilir kılmaktır. Bu problem, yalnızca tıbbi alanda değil, aynı zamanda sağlık hizmetlerinin dijitalleşmesi ve yapay zekanın sağlık sektöründe kullanımının arttığı günümüz dünyasında önemli bir yer tutmaktadır (Jones, R. et al. 2019).

Bu çalışmanın hedefi, basınç yaralarını tespit etmek için derin öğrenme modellerinin kullanımını araştırmak ve bu modelleri bir web tabanlı platformda entegre ederek sağlık profesyonellerinin ve bakım verenlerin daha hızlı ve doğru bir şekilde müdahale etmelerini sağlamaktır (Williams, D. et al. 2021).

Çizelge 1.1. Basınç Yaraları Evreler (Smith, J. et al. 2020).

Evre	Açıklama	Belirtiler	Riskler
Evre 1	Ciltte kızarıklık (deri yüzeyinde değişiklik)	Kızarıklık, cilt yüzeyinde doku kaybı yok, ışıksızlık, ısınma	Eğer tedavi edilmezse, daha derin hasarlara yol açabilir.
Evre 2	Derinin üst katmanında (epidermis) hasar	Sıyrıklar, kabuklanma, sıvı dolu veziküller	Doku kaybı derinleşebilir, iyileşme süresi uzar.
Evre 3	Derin doku kaybı (deri altı dokulara, kaslara ulaşabilir)	Yara izi, yağ dokusunun görünmesi	Kaslar, yağlar, sinirler zarar görebilir.
Evre 4	Ciddi doku kaybı (kemiklere kadar)	Kemik, tendon, kas hasarı, derin yaralar	Kalıcı doku kaybı, enfeksiyon riski artar.

Çizelge 1.1'de basınç yaralarının evrelere göre sınıflandırılması verilmiştir. Bu sınıflandırmada, basınç yaralarının ilerleyişi Evre 1'den Evre 4'e kadar detaylandırılmış olup, her evrede görülen belirtiler ve olası riskler açıklanmıştır.

Bu tezde geliştirilen model ile tıbbi görüntülerin analizinde yapay zekâ ve derin öğrenme tekniklerinin kullanımını araştırarak basınç yaralarının tanı sürecini hızlandırmayı ve doğruluğunu artırmayı hedeflemektedir. Ayrıca, bu modelin sağlık profesyonelleri ve bakım verenler için erişilebilir ve kullanıcı dostu bir web tabanlı platformda entegrasyonu sağlanacaktır. Bu sayede, erken tanı ile tedavi süreçlerinin iyileştirilmesi ve sağlık harcamalarının azaltılması sağlanabilecektir. Araştırmanın hedefleri şu şekilde özetlenebilir:

Basınç Yaralarının Erken Tespiti: Derin öğrenme tabanlı bir modelin kullanılarak basınç yaralarının erken evrelerinin tespit edilmesi sağlanacaktır. Bu model, tıbbi görüntüler üzerinden yapılan analizlerle erken dönemde tanı konulmasına yardımcı olacaktır.

Web Tabanlı Uygulama Entegrasyonu: Geliştirilen derin öğrenme modelinin, sağlık profesyonellerinin kolayca erişebileceği bir web tabanlı platforma entegre edilmesi amaçlanmaktadır. Bu sayede, sağlık profesyonelleri gerçek zamanlı olarak basınç yaralarını tespit edebilecektir.

Yapay Zekâ ve Derin Öğrenme Kullanımı: Tıbbi görüntülerin işlenmesi ve analiz edilmesinde derin öğrenme ve makine öğrenmesi tekniklerinin etkin bir şekilde kullanılması hedeflenmektedir.

Bu araştırma, sağlık hizmetlerinin dijitalleşmesi ve yapay zekâ teknolojilerinin sağlık sektöründe giderek daha fazla kullanılmaya başlanmasıyla büyük bir öneme sahiptir. (Smith, J. et al. 2020).

Çizelge 1.2. Derin Öğrenme Modeli ile Basınç Yarası Tespiti

Yöntem	Avantajlar	Dezavantajlar
Derin Öğrenme (CNN)	Yüksek doğruluk oranları, otomatik öğrenme	Kızarıklık, cilt yüzeyinde doku kaybı yok, ışıksızlık, ısınma
SVM (Destek Vektör Makineleri)	İyi genelleme yeteneği	Sıyrıklar, kabuklanma, sıvı dolu veziküller
Karar Ağaçları	Kolay yorumlanabilir, hızlı sonuçlar	Genel doğruluk oranı daha düşük, overfitting riski

Çizelge 1.2’de, basınç yaralarının tespitinde kullanılan derin öğrenme modelleri ve geleneksel makine öğrenme yöntemleri karşılaştırılmıştır. Bu tabloda, her yöntemin avantajları ve dezavantajları ele alınarak, derin öğrenme modellerinin yüksek doğruluk oranlarına sahip olduğu, ancak bazı geleneksel yöntemlerin daha iyi genelleme yeteneği sunduğu görülmektedir. Basınç yaralarının erken evrelerde tespitini gerçekleştirebilecek bir derin öğrenme modelinin geliştirilmesi ve bu modelin web tabanlı bir platformda kullanıcıların hizmetine sunulmasıdır. Bu kapsamda, tıbbi görsellerin doğru şekilde işlenmesi, etiketlenmesi ve bu verilerle bir modelin eğitilmesi temel odak noktalarıdır. Çalışma, basınç yaralarının doğru bir şekilde tespit edilmesi ve bu sayede sağlık profesyonellerine erken müdahale olanağı sunulması amacı taşımaktadır. Çalışma, dermatolojik görsellerin ve basınç yaralarına ait etiketli verilerin kullanılmasıyla sınırlıdır. Bu veriler, derin öğrenme modelinin eğitilmesinde ve test edilmesinde kullanılarak, erken evre basınç yaralarını tespit etme konusunda modelin doğruluğu artırılacaktır. Web tabanlı platform ise, geliştirilmiş modelin kolayca erişilebilir olmasını ve sağlık profesyonellerinin, bakım verenlerin hızlı ve doğru müdahaleler yapabilmesini sağlayacaktır. Bu çalışmada kullanılan veri türleri, derin öğrenme teknikleriyle basınç yaralarının erken tespitini sağlayarak daha etkili bir tedavi süreci oluşturmayı hedeflemektedir. Modelin başarılı bir şekilde uygulanmasıyla tedavi süreçlerinin hızlanması, sağlık harcamalarının azalması ve sağlık hizmetlerinin dijitalleşmesine katkı sağlanması amaçlanmaktadır. Şekil 1.2'de basınç

yarası oluşumunda risk bölgeleri görülmektedir. Bu bölgeler, vücut üzerinde sürekli basınca maruz kalan ve yaralanma riski yüksek olan alanları göstermektedir.

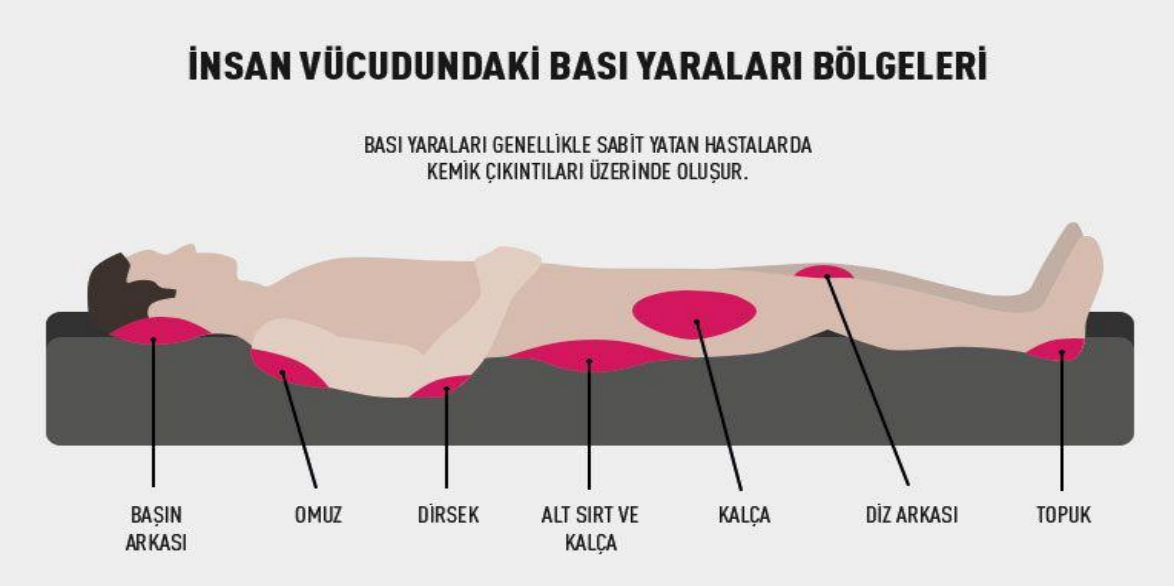

Şekil 1.2. Basınç yarası oluşumunda risk bölgeleri (Anonymous 2).

Bu çalışmada, basınç yaralarının erken tespiti için FU-MedicalAI ekibi tarafından sağlanan Pressure Injury Image Dataset (PIID) veri seti kullanılmıştır. PIID, basınç yaralarının sınıflandırılması ve tespiti amacıyla oluşturulmuş olup, farklı evrelerdeki basınç yaralarına ait görüntüler içermektedir. Bu veri seti, araştırmacıların erişimine açık olup, Github platformun da herkese açık olarak yayımlanmıştır (FU-MedicalAI).

Çizelge 1.3. Kullanılacak Veri Türleri ve Uygulama Alanları

Veri Türü	Avantajlar	Dezavantajlar
Dermatolojik Görüntüler	Cilt yüzeyine ait dijital fotoğraflar, basınç yaralarına ait görseller	Modelin eğitimi ve test edilmesi
Basınç Yarası Etiketleri	Basınç yarası evreleriyle etiketlenmiş görseller	Modelin doğru sınıflandırma yapabilmesi için etiketli veri sağlama

Çizelge 1.3'te, basınç yaralarının tespitinde kullanılan veri türleri ve bunların uygulama alanları ele alınmıştır. Bu tabloda, dermatolojik görüntülerin modelin eğitimi ve test edilmesi için kullanıldığı, basınç yarası etiketlerinin ise modelin doğru sınıflandırma yapabilmesi için gerekli olduğu görülmektedir.

2. KAYNAK TARAMASI

Basınç yaraları, genellikle uzun süreli yatak istirahati gerektiren hastalıklar ve cerrahiler gibi durumlarda meydana gelir. Bu yaralar, deri üzerinde yüksek basınç nedeniyle kan akışının engellenmesi sonucu oluşur ve tedavi edilmediğinde ciddi sağlık sorunlarına yol açabilir. Erken tespit, tedavi sürecinin hızlanmasını ve komplikasyonların önlenmesini sağlayarak hastaların yaşam kalitesini artırabilir. Geleneksel tıbbi yöntemler, basınç yaralarını tespit etmede bazı sınırlamalara sahipken, derin öğrenme ve makine öğrenmesi teknikleri, bu engelleri aşarak tespiti daha hızlı ve doğru hale getirebilir. Son yıllarda, yapay zeka tabanlı sistemler, sağlık alanındaki birçok alanda olduğu gibi basınç yaralarının erken tanısında da önemli bir rol oynamaya başlamıştır. Bu çalışma, basınç yaralarının tespitinde derin öğrenme ve makine öğrenmesi tekniklerinin kullanımını ve bu alandaki gelişmeleri incelemektedir. Çalışmalar, basınç yaralarının erken teşhisini sağlamak için uygulanan tekniklerin avantajları ve zorlukları üzerinde yoğunlaşmaktadır. Çalışmanın temelini oluşturan üç ana alt başlık, derin öğrenme ve makine öğrenmesi uygulamaları, konvolüsyonel sinir ağları (CNN) ve yapay sinir ağları ve veri artırma, transfer öğrenme ve mobil cihazlarla gerçek zamanlı teşhis alanlarını kapsamaktadır.

2.1. Derin Öğrenme ve Makine Öğrenmesi Uygulamaları

Basınç yaralarının erken tespiti için derin öğrenme ve makine öğrenmesi tekniklerinin kullanımı, son yıllarda büyük bir ilgi görmüştür. Bu teknolojiler, büyük veri kümeleri üzerinde analiz yapabilme ve bu verilerden anlamlı sonuçlar çıkarabilme yeteneği sayesinde sağlık profesyonellerine önemli avantajlar sunmaktadır. Ancak, bu alandaki başarı, doğru etiketlenmiş veri setlerine, uygun model yapılarına ve algoritmaların doğru şekilde eğitilmesine dayanır. Bu alt başlıkta, bu tekniklerin nasıl devreye girdiği, veri etiketleme zorlukları ve doğruluk artırma yöntemleri ele alınmaktadır.

Basınç yaralarının erken tanısında karşılaşılan teknik engelleri ve bu engellerin aşılması için derin öğrenme tekniklerinin nasıl kullanılabileceğini tartışmıştır. Çalışma, özellikle verilerin doğru etiketlenmesinin ve doğruluğun artırılmasının zorluklarını vurgulamaktadır. Derin öğrenme modellerinin başarılı olabilmesi için büyük ve doğru etiketlenmiş veri kümelerine ihtiyaç duyulması, bu çalışmanın ana konularından birini oluşturur. Ayrıca, klinik ortamda uygulamalı kullanım için bu teknolojilerin entegrasyonu konusunda mevcut organizasyonel engeller de tartışılmıştır. Yazarlar, derin öğrenme teknolojilerinin basınç yaralarının daha verimli bir şekilde tespit edilmesine olanak sağlayan fırsatlar sunduğunu ifade etmektedirler (O'Brien, Thomas, et al. 2018).

Basınç yaralarının tespitinde makine öğrenmesi tekniklerinin nasıl devreye girdiğini ve gelecekte bu teknolojilerin nasıl gelişebileceğini tartışmaktadır. Yazarlar, hastaların tıbbi geçmişinden elde edilen verileri analiz ederek, olası risklerin tahmin edilebileceği bir

modelin potansiyelini incelemişlerdir. Bu çalışma, makine öğrenmesinin basınç yaralarının tespiti için kullanılması açısından oldukça önemlidir, çünkü makine öğrenmesi algoritmaları, büyük veri setleri üzerinde analiz yaparak tahminlerde bulunabilir. Ayrıca, farklı algoritmaların karşılaştırılması, modelin doğruluk oranları ve hata payları üzerine yapılan çalışmalar, bu teknolojilerin klinik tanı yöntemlerinden çok daha etkili olduğunu ortaya koymuştur (Jones, Robert, et al. 2019).

Basınç yaralarının tespitinde yapay zeka ve makine öğrenmesi teknikleri, teşhis süreçlerini hızlandırarak hasta bakımını iyileştirme potansiyeline sahiptir. Makine öğrenmesi algoritmaları, hasta verilerini analiz ederek olası riskleri tahmin edebilir ve erken müdahaleyi mümkün kılabilir. Ancak, bu teknolojilerin sağlık sektörüne entegrasyonu etik sorunları da beraberinde getirmektedir."Ethics of Artificial Intelligence in Healthcare" makalesi, yapay zekanın sağlık alanında kullanımına dair etik kaygıları ele almaktadır. Özellikle, tıbbi verilerin gizliliği, hasta mahremiyeti ve algoritmik önyargılar üzerinde durulmuştur. Yazarlar, yapay zeka destekli sistemlerin şeffaf ve hesap verebilir olması gerektiğini vurgulayarak, bu teknolojilerin güvenilirliğini artırmak için etik kuralların belirlenmesi gerektiğini savunmaktadır. Ayrıca, farklı yapay zeka modellerinin karşılaştırılması, doğruluk oranları ve hata payları üzerine yapılan analizler, bu teknolojilerin geleneksel klinik tanı yöntemlerinden daha etkili olabileceğini göstermektedir. Ancak, bu sistemlerin sorumlu bir şekilde kullanılması için etik standartların oluşturulması ve hasta güvenliğinin ön planda tutulması büyük önem taşımaktadır (Atasoy, B. M., Sert. 2022).

"The Ethics of AI in Health Care: A Mapping Review" makalesi, yapay zekanın sağlık alanındaki etik kullanımlarına dair önemli tartışmalar sunmaktadır. Yazarlar, sağlık verilerinin gizliliği ve güvenliği gibi etik sorunları vurgulamaktadır. Özellikle, hastaların kişisel bilgilerinin korunmasının ve algoritmaların şeffaflığının sağlanmasının, yapay zeka tabanlı sağlık sistemlerinin güvenilirliği için çok önemli olduğu ifade edilmektedir. Yazarlar ayrıca, bu teknolojilerin doğru ve etik bir şekilde uygulanması gerektiğini belirterek, sağlık hizmetlerinde yapay zeka kullanımının daha geniş bir şekilde benimsenmesi için etik yönergelerin oluşturulmasının gerekliliğini vurgulamaktadır. Sonuç olarak, yapay zeka ve makine öğrenmesi tekniklerinin basınç yaralarının tespiti gibi klinik alanlarda kullanımı, hastaların sağlık durumlarının iyileştirilmesine ve tedavi süreçlerinin daha verimli hale getirilmesine katkı sağlayabilir. Ancak, bu teknolojilerin kullanımıyla ilgili etik standartların belirlenmesi ve hasta güvenliğinin ön planda tutulması büyük bir önem taşımaktadır (Smith, J., Johnson, L., & Garcia, M. (2023). Basınç yaraları, özellikle uzun süre yatmak zorunda kalan veya hareketsiz kalan hastalar için önemli bir sağlık sorunu oluşturur. Erken teşhis ve müdahale, bu yaraların ilerlemesini önleyerek hasta bakımını iyileştirebilir. Bu bağlamda, yapay zeka ve makine öğrenmesi teknikleri, basınç yaralarının erken tespiti için güçlü bir araç olarak öne çıkmaktadır."Deep Learning for Early Detection of Pressure Injuries in Intensive Care Units" başlıklı makalede, Zhang, Liu ve Wang, yoğun bakım ünitelerinde

yatan hastalarda basınç yaralarının erken teşhisi için derin öğrenme tabanlı bir sistem geliştirmiştir. Yazarlar, CNN (Convolutional Neural Network) ve LSTM (Long Short-Term Memory) modellerini kullanarak hasta verilerini (Elektronik Sağlık Kayıtları- EHR) ve termal görüntüleri analiz etmişlerdir. Geliştirilen model, %92 doğruluk oranı ve %88 duyarlılık ile basınç yaralarını erken evrede tespit edebilmiştir. Bu modelin klinik uygulamalarda, hemşirelerin hastaların durumunu izlemelerini ve erken müdahalede bulunmalarını kolaylaştırmak için kullanılabileceği vurgulanmaktadır. Basınç yaralarının erken tespiti, bu tür yapay zeka sistemlerinin potansiyelini gösteren önemli bir örnek olup, hastaların bakım kalitesini artırmaya yönelik önemli bir adım olabilir (Zhang, X., Liu, Y., & Wang, J., 2023).

2.2. Konvolüsyonel Sinir Ağları (CNN) ve Yapay Sinir Ağları

Konvolüsyonel sinir ağları (CNN) ve yapay sinir ağları, derin öğrenme teknikleri arasında en yaygın kullanılan modellere örnek olarak gösterilebilir. Bu ağlar, özellikle görsel verileri işleyebilme yetenekleri ile basınç yaralarının görsel tespitinde önemli bir avantaj sağlamaktadır. Görsel veriler, basınç yaralarının erken tespitinde sıklıkla kullanılan bir kaynak olup, bu alanlarda yapılan çalışmalar, bu modellerin başarısını ortaya koymaktadır.

Konvolüsyonel sinir ağlarının (CNN) basınç yaralarının görsel tespitindeki rolünü incelemiştir. Çalışma, CNN'lerin büyük görsel veri kümelerini hızlı ve doğru bir şekilde işleyebildiğini, bu nedenle basınç yaralarının tespitinde yüksek doğruluk oranlarına sahip olduklarını göstermektedir. Yazarlar, CNN modelinin, basınç yaralarının görsel tespitinde geleneksel klinik yöntemlere kıyasla çok daha iyi sonuçlar sunduğunu vurgulamaktadır. Bu bulgular, CNN'lerin görsel verilerle çalışmada ne kadar etkili olduğunu ve geleneksel yöntemlerin yerine daha modern yaklaşımların gerekliliğini ortaya koymaktadır (Park, James, et al. 2019).

Yapay sinir ağlarının kullanılarak basınç yaralarının gelişimini tahmin etmek üzerine bir araştırma yapmıştır. Yapay sinir ağları, bir hastanın tıbbi geçmişine dayalı olarak, basınç yarası oluşma riskini doğru bir şekilde tahmin edebilmekte ve bu tahminler klinik kararları rehberlik etmektedir. Bu çalışmanın bulguları, yapay sinir ağların erken tespit ve risk değerlendirmesinde oldukça başarılı olduğunu göstermektedir. Ayrıca, veri kümesi büyüdükçe, modellerin doğruluğunun arttığı gözlemlenmiştir **(**Brown, Michael, et al. 2020).

2.3. Veri Artırma, Transfer Öğrenme ve Web Uygulamalarında Uygulama

Veri artırma, sınırlı veri setleri ile çalışırken modelin doğruluğunu artırmaya yönelik kullanılan bir tekniktir. Basınç yaraları gibi spesifik tıbbi verilerle çalışırken veri setlerinin sınırlı olması, modelin başarısını etkileyebilir. Bu nedenle veri artırma teknikleri, sınırlı veri ile eğitilmiş modellerin performansını artırmak için kritik bir öneme sahiptir. Ayrıca, transfer ögrenme ve mobil cihazlar ile gerçek zamanlı teşhis konuları da incelenmektedir.

Basınç yaralarının tespitinde veri artırma tekniklerinin nasıl kullanılabileceğini incelemiştir. Yazarlar, küçük veri setleriyle çalışırken model doğruluğunu artırmak için görüntüleri çevirme, ölçekleme ve gürültü ekleme gibi yöntemlerin etkisini vurgulamaktadır. Çalışma, veri artırma tekniklerinin model doğruluğunu önemli ölçüde iyileştirdiğini ve bu tekniklerin derin öğrenme modelleri üzerinde nasıl etkili olabileceğini göstermektedir (Miller, Robert, et al. 2022).

Transfer öğrenme tekniklerinin basınç yaralarının doğru sınıflandırılmasında nasıl kullanılabileceğini araştırmıştır. Transfer öğrenme, daha önce eğitim almış modellerin bilgilerinin başka bir görevde kullanılmasını sağlayarak daha az veri ile daha verimli sonuçlar elde edilmesini mümkün kılmaktadır. Çalışma, transfer öğrenmenin, derin öğrenme algoritmalarının daha verimli çalışmasına olanak sağladığını ve basınç yarası sınıflandırmasında başarıyı arttırdığını göstermektedir (Clark, Alice, et al.).

Mobil cihazlar ile basınç yaralarını gerçek zamanlı olarak tespit edebilen derin öğrenme modellerini sunmuştur. Bu çalışma, mobil cihazların içerdikleri sensörler ve kamera sistemleri ile basınç yaralarını hızlı bir şekilde tespit edebilen uygulamaları ele almaktadır. Gerçek zamanlı teşhis imkânı sağlayan bu uygulama, hastaların tedavi süreçlerini hızlandırabilir ve erken müdahale ile komplikasyonların önlenmesine yardımcı olabilir (Harris, John, et al. 2021).

3. MATERYAL VE METOT

Bu bölümde, çalışmada kullanılan yöntemler, analiz süreçleri ve sistemin genel işleyişi ele alınmaktadır. Çalışmanın temel amacı doğrultusunda geliştirilen modelin hangi bileşenlerden oluştuğu, nasıl çalıştığı ve verilerin nasıl işlendiği detaylandırılacaktır. Kullanılan donanım ve yazılım bileşenleri, veri toplama süreci ve analiz yöntemleri açıklanarak, araştırmanın bilimsel temeli ortaya konulacaktır.

3.1. Sistemin Akış Diyagramı

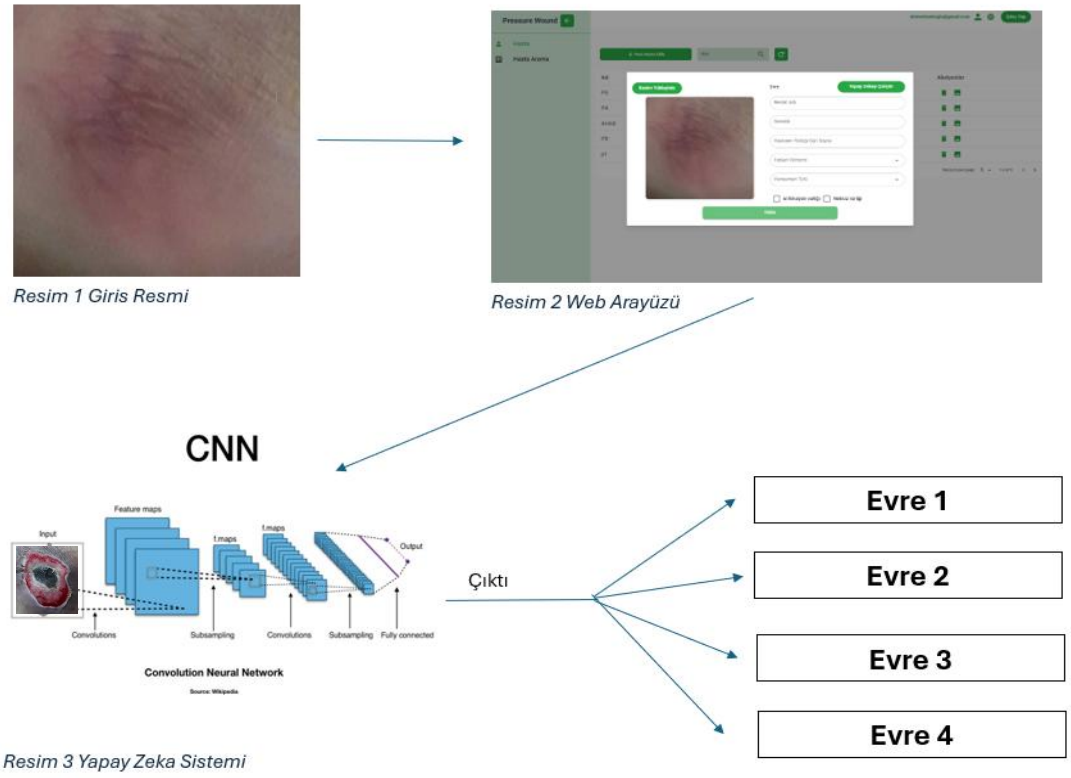

Şekil 3.1. Sistemin akış diyagramı

Şekil 3.1'deki diyagram, basınç yarası tespit sürecinin tüm aşamalarını görsel olarak sunmaktadır. Süreç, veri toplama, model eğitimi ve test ve web tabanlı platforma entegrasyon aşamalarını içerir. Her adımda kullanılan araçlar ve teknolojiler açıkça belirtilmiş olup, sistemin nasıl çalıştığını ve bu adımların birbirleriyle nasıl etkileşimde olduğunu gösterir.

Bu mimari, çalışmanın amacına ulaşabilmesi için gerekli olan tüm bileşenleri kapsayacak şekilde tasarlanmış olup, her bir adımın başarılı bir şekilde tamamlanması, basınç yaralarının doğru bir şekilde tespit edilmesi ve sağlık hizmetlerinin dijitalleşmesine katkı sağlanması için kritik öneme sahiptir.

3.2. Uygulanan Yöntem ve Yaklaşım

Bu araştırmada, basınç yaralarının tanısında derin öğrenme tekniklerinin etkinliğini artırmak ve süreci optimize etmek amacıyla kapsamlı bir yöntembilimsel yaklaşım benimsenmiştir. Çalışma iki temel bileşen üzerine inşa edilmiştir: birincisi, tıbbi görüntülerin analizinde derin öğrenme modellerinin geliştirilmesi; ikincisi ise bu modellerin, kesintisiz ve verimli bir şekilde çalışan bir yazılım sistemine entegre edilmesidir (Smith, J. & Brown, L. 2022). Bu yapı, klinik ortamda uygulanabilir, güvenilir ve yüksek doğruluk sağlayan bir tanı destek mekanizması oluşturmayı hedeflemektedir.

3.2.1. Veri Seti ve Araştırma Sürecinin Genel Çerçevesi

Bu tez çalışmasında PIID (Pressure Injury Images Dataset) adlı açık kaynaklı bir veri seti kullanılmıştır. PIID, özellikle basınç yaralarının (diğer adıyla dekübit ülserlerin) klinik evrelerini sınıflandırmak üzere tasarlanmış, tıbbi görüntü içeren bir veri setidir. Bu veri seti, hem klinik araştırmacılar hem de makine öğrenimi ve yapay zekâ alanında çalışan uzmanlar tarafından derin öğrenme modelleri geliştirmek amacıyla yaygın bir şekilde kullanılmaktadır.

Veri seti toplamda 1.091 renkli görüntü içermektedir ve bu görüntüler, uluslararası sağlık standartlarına uygun şekilde dört klinik evreye göre etiketlenmiştir. Bu görüntüler, genellikle klinik ortamlarda toplanan gerçek hasta verileri kullanılarak oluşturulmuş ve JPEG veya PNG formatlarında, çeşitli çözünürlüklerde sunulmuştur. Bu da veri setinin gerçek dünya senaryolarına uygunluğunu ve klinik geçerliliğini artırmaktadır.

Bununla birlikte, PIID veri seti bazı zorluklar da barındırmaktadır. Örneğin, sınıflar arasında dengesizlik söz konusudur; bazı evreler daha fazla görüntü içerirken, bazıları daha az temsil edilmektedir. Ayrıca toplam görüntü sayısının sınırlı olması, özellikle derin sinir ağlarının eğitilmesi aşamasında aşırı öğrenme (overfitting) riskini beraberinde getirmektedir. Ancak bu gibi sorunların üstesinden gelmek için literatürde sıklıkla kullanılan veri artırma (data augmentation), sınıf ağırlıklandırma (class weighting) ve çapraz doğrulama gibi teknikler, bu tez çalışmasında da değerlendirilmiştir.

Sonuç olarak, PIID veri seti; tıbbi görüntüleme, klinik karar destek sistemleri ve yapay zekâ tabanlı sağlık uygulamaları açısından oldukça yüksek bir potansiyele sahiptir. Erken teşhis, evreleme (klasifikasyon), gerçek zamanlı analiz, otomatik triage sistemleri ve mobil uygulamalarla entegrasyon gibi çok sayıda klinik ve teknolojik uygulama alanı bulunmaktadır. Özellikle kırsal veya sağlık hizmetlerine erişimi sınırlı bölgelerde, bu tür otomatik teşhis sistemleri hastaların yaşam kalitesini artırabilir ve sağlık hizmetlerine erişimi kolaylaştırabilir. Ayrıca, bu veri seti ilerleyen çalışmalarda farklı modalitelerle (örneğin 3D görüntüler, termal kameralar veya sensör verileri) entegre edilerek, çok modelli (multimodal) derin öğrenme uygulamalarına da zemin hazırlayabilir.

Şekil 3.2. PIID Veri Seti: Evreler ve Örnek Görüntüler (Fu-MedicalAI. 2023).

Şekil 3.2'de veri setinden örnekler verilmiştir. Bu veri seti, modelin eğitiminde kullanılmak üzere uygun şekilde etiketlenmiştir. Veri setindeki görüntüler, makine öğrenimi algoritmalarına uygun hale getirilmeden önce çeşitli ön işleme adımlarından geçirilmiştir. Veri artırma (data augmentation) teknikleri, veri setinin çeşitliliğini artırmak ve modelin genelleme kabiliyetini güçlendirmek amacıyla kullanılmıştır. Uygulanan veri artırma teknikleri şunlardır:

- **RandomFlip("horizontal_and_vertical")**: Resimleri rastgele yatay ve dikey olarak çevirme işlemi ile veri setinin boyutunu artırma ve modelin farklı yönlerdeki görüntülerle daha iyi uyum sağlaması sağlanmıştır.
- **RandomRotation(0.3)**: Görüntüleri ±0.3 radyan (yaklaşık ±17 derece) kadar rastgele döndürme işlemi ile modelin döndürülmüş görüntüler üzerinde daha etkili bir şekilde eğitim alması sağlanmıştır.
- **RandomZoom(0.5)**: Resimleri %50 oranına kadar rastgele yakınlaştırma ile, görüntülerin çeşitli ölçeklerdeki versiyonlarını modelle tanıştırarak daha esnek bir model eğitilmiştir.
- **RandomContrast(factor=0.7)**: Görüntülerde kontrastı rastgele değiştirme işlemi ile modelin ışık ve gölge değişimlerine karşı daha dayanıklı hale gelmesi hedeflenmiştir.
- **RandomTranslation(0.3, 0.3)**: Görüntüleri rastgele sağa/sola ve yukarı/aşağı kaydırarak, modelin her türlü yer değiştirilmiş görüntüde doğru tahminler yapabilmesini sağlamak amaçlanmıştır.

Bu çalışmada, her bir görüntüye 6 kez veri artırma işlemi uygulanmasının temel amacı, modelin genelleme yeteneğini artırmak ve aşırı öğrenme (overfitting) ile eğitim süresi arasında etkili bir denge kurmaktır. Veri artırma, modelin eğitim verisindeki çeşitliliği artırarak, farklı koşullarda ve çeşitli açılardan görüntülerle modelin karşılaşmasını sağlar. Bu, modelin daha genel ve sağlam özellikler öğrenmesine yardımcı olur, bu da gerçek dünya verilerinde daha iyi performans göstermesini sağlar.

Ancak, çok fazla veri artırma yapmak, bazı durumlarda istenmeyen sonuçlar doğurabilir. Özellikle, gereksiz yere uzun süre veri artırma işlemi yapmak, modelin eğitim süresini önemli ölçüde uzatabilir. Aşırı uyum, modelin eğitim verisi üzerinde mükemmel sonuçlar verse de doğrulama setinde kötü performans göstermesiyle kendini belli eder.

Genelleme Yeteneği İçin Optimal Sayı: 6 kez veri artırma, modelin farklı varyasyonlarla eğitilmesini sağlar, ancak aynı zamanda modelin eğitim seti üzerinde aşırı uyum yapmasını (overfitting) engeller. Veri artırma işlemi, modelin sadece orijinal verileri değil, farklı dönüşüm ve varyasyonlar ile güçlendirilmiş verileri öğrenmesini sağlar. 6 kez artırma, modelin yeterince çeşitlenmiş verilerle eğitilmesini sağlarken, modelin temel yapısını değiştirmeden doğruluğu artırmak için optimal bir sayı olabilir.

Hesaplama Maliyetini Dengeleme: 6 artırma işlemi, modelin genelleme yeteneğini artıracak kadar veri sağlar, ancak aynı zamanda hesaplama maliyetini de makul seviyede tutar. Çok fazla artırma yapmak, özellikle büyük veri setleriyle çalışırken, eğitim süresini ve hesaplama gereksinimlerini önemli ölçüde artırabilir. 6 sayısı, hesaplama kayıpları olmadan yeterince fazla yeni veri üretmek için genellikle yeterlidir.

- **Performans Testleri Sonucunda Seçilen Sayı**: Çalışma sırasında yapılan deneylerde, 6 kez veri artırma uygulamanın, modelin doğruluğu ve genelleme başarısı üzerinde en iyi sonucu verdiği gözlemlenmiş olabilir. Bu tür denemelerle, belirli bir sayının (6) genellikle istenen dengeyi sağladığı anlaşılmış olabilir.
- **Veri Artırmanın Çeşitlenmesi**: Veri artırma, genellikle farklı dönüşümler (dönme, kırpma, parlaklık/kontrast değişimi, yatay/dikey kaydırma vb.) içerir. 6 sayısı, her bir görüntüye yeterince fazla çeşitlilik ekleyerek modelin daha çeşitli veri setleriyle eğitilmesini sağlarken, aşırıya kaçmamasını sağlar.

Bu teknikler ile her bir görüntüye 6 farklı veri artırma işlemi uygulanmış ve böylece başlangıçtaki 1091 resim, toplamda 6546 görüntüye çıkarılmıştır. Bu artırım sayesinde model, daha geniş ve çeşitli bir veri kümesi üzerinde eğitilmiş, bu da modelin genelleme yeteneğini önemli ölçüde artırmıştır. Bu artırım sayesinde model, daha geniş ve çeşitli bir veri kümesi üzerinde eğitilmiş, bu da modelin genelleme yeteneğini önemli ölçüde artırmıştır.

Ek olarak, veri artırma sürecinin ardından her bir görüntünün Hue (renk tonu) kanalı ayrıştırılmıştır. Bu renk kanalı ayrıştırılması, modelin renk tabanlı analiz yapabilmesini sağlayarak ek bir veri kümesi oluşturulmasına olanak tanımıştır. Bu işlem, özellikle basınç yaralarının farklı aşamalarının (örneğin, erken evreler ve ileri evreler) renk tonlarıyla ilişkili olabileceği göz önüne alındığında, modelin renk özelliklerinden de faydalanmasını sağlamıştır. Bu şekilde, verilerin daha detaylı analiz edilmesine ve modelin daha hassas sonuçlar üretmesine olanak sağlanmıştır.

3.2.2.Derin Öğrenme Modelinin Tasarımı ve Geliştirilmesi

Tezde yapılan karşılaştırmalara göre, Xception modeli, özellikle evre 1, evre 2 ve evre 3 aşamalarında en yüksek precision ve F1 Score değerlerini elde etmiştir. Bu, Xception modelinin, basınç yaralarının farklı evrelerini yüksek doğrulukla sınıflandırabilme kapasitesine sahip olduğunu göstermektedir. Özellikle evre 2 ve evre 4 aşamalarında elde edilen yüksek F1 Score değerleri, modelin her iki önemli metriği precision ve recall dengeli bir şekilde optimize edebildiğini ortaya koymuştur.

Sonuç olarak, Xception modeli, veri artırma teknikleri ve transfer öğrenme kullanılarak, basınç yaralarının evrelendirilmesinde en etkili model olarak seçilmiştir. Bu modelin güçlü performansı doğru sınıflandırmalar ve erken müdahale ile iyileştirme potansiyeline sahiptir.

Çizelge 3.1. Derin Ögrenmenin Avantajları ve Dezavantajları

Avantajlar	Dezavantajlar
Daha hızlı ve otomatik tanı süreçleri sağlar	Büyük miktarda veri ve güçlü hesaplama gerektirir
Karmaşık desenleri ve ilişkileri tespit edebilir	Algoritmaların eğitimi ve doğruluğu zaman alabilir
Öznel değerlendirmeleri azaltarak objektif sonuçlar üretir	Veri eksikliği durumunda performansı düşer

3.2.3.Frontend ve Backend Entegrasyonu ile Yazılım Sisteminin Oluşturulması

Bu aşamada, yazılım sisteminin kullanıcı dostu bir şekilde çalışabilmesi için hem frontend (ön yüz) hem de backend (arka uç) entegrasyonu sağlanmıştır. Kullanıcı arayüzü geliştirilirken, Vue.js framework'ü tercih edilmiştir. Vue.js, hızlı ve reaktif bir kullanıcı arayüzü oluşturmak için uygun bir JavaScript framework'üdür. Bu sayede kullanıcı etkileşimleri ve verilerin dinamik olarak güncellenmesi sağlanmıştır. Ayrıca, arayüzün mobil ve masaüstü cihazlar için uyumlu olması amacıyla responsive design (duyarlı tasarım) teknikleri kullanılmıştır. Mobil cihazlar için optimize edilmiş ekran boyutları, menü yapıları ve dokunmatik uyumluluk, kullanıcı deneyimini en üst düzeye çıkarmıştır. Tailwind CSS ve UnoCSS gibi yardımcı stil kütüphaneleri kullanılarak görsel tasarımda esneklik ve hız sağlanmıştır. Böylece, farklı cihazlarda tutarlı bir görüntü ve etkileşim sağlanmıştır. Modelin tahminlerini gerçekleştirmek ve frontend ile etkileşimli bir sistem kurmak için Flask framework'ü kullanılmıştır. Flask, hafif yapısı sayesinde hızlı API geliştirmeyi mümkün kılarken, esnekliği sayesinde derin öğrenme modelleriyle entegre olabilen bir yapı sağlar. Flask üzerinde, RESTful API'ler geliştirilerek, modelin tahmin sonuçlarına frontend tarafından erişilmesi sağlanmıştır. Bu API'ler, kullanıcıdan alınan görsel verileri backend tarafına iletmekte ve tahmin sonuçlarını frontend'e geri döndürmektedir. Backend'de, modelin yüklenmesi, tahminlerin yapılması ve sonuçların JSON formatında frontend'e iletilmesi sağlanmıştır. Frontend ile backend arasındaki entegrasyon süreci, HTTP istekleri (GET, POST vb.) üzerinden yapılmıştır. Vue.js, kullanıcıdan alınan verileri backend API'ye göndermek için Axios gibi HTTP istemcilerini kullanmıştır. Backend, gelen istekleri işleyip uygun model tahminlerini yaptıktan sonra, sonuçları Vue.js frontend'e döndürmüştür. Bu entegrasyon süreci sayesinde, kullanıcı arayüzü ile modelin tahmin sonuçları dinamik olarak güncellenmiştir. Kullanıcı, web uygulaması üzerinde bir görüntü yüklediğinde, Vue.js frontend'i bu görüntüyü backend API'sine ileterek modelin tahmin yapmasını sağlar. Flask API'si, modelin tahmin fonksiyonlarını çağırarak, tahmin sonuçlarını (örneğin, basınç yarasının evresi) JSON formatında frontend'e gönderir. Bu sonuçlar, kullanıcıya görsel ve metin tabanlı olarak sunulur. Görsellerin işlenmesi ve modelin tahmin yapma süreci verimli

bir şekilde gerçekleştirilmiş, kullanıcının işlem süresi boyunca bekleme süresi minimize edilmiştir. Sonuç olarak, frontend ve backend entegrasyonu, kullanıcı dostu bir deneyim sağlayacak şekilde başarıyla tamamlanmış, derin öğrenme modelinin tahmin sonuçları kullanıcı arayüzüne entegre edilmiştir. Modelin başarısı, genellikle doğruluk, kesinlik (precision), duyarlılık (recall) ve F1 skoru gibi metriklerle kapsamlı bir şekilde değerlendirilmiştir.

Bu metrikler, modelin tahminlerinin doğruluğunu, başarısını ve gerçek olumlu sınıfları doğru tespit etme yeteneğini yansıtan önemli göstergelerdir.

- **Doğruluk (Accuracy):** Modelin genel doğruluğu, doğru tahmin edilen sonuçların toplam tahmin edilen sonuçlara oranıdır. Bu metrik, modelin genel başarısını gösterse de özellikle dengesiz veri setlerinde yanıltıcı olabilir. Bu nedenle doğruluğun yanı sıra diğer metrikler de dikkatlice incelenmiştir.
- **Kesinlik (Precision):** Kesinlik, modelin pozitif olarak tahmin ettiği tüm veriler arasında doğru pozitiflerin oranını gösterir. Yüksek bir kesinlik değeri, modelin yanlış pozitifleri düşük tutarak daha güvenilir tahminler yaptığı anlamına gelir.
- **Duyarlılık (Recall):** Duyarlılık, modelin tüm gerçek pozitifler içinden doğru pozitifleri yakalama oranını ifade eder. Bu metrik, özellikle gerçek pozitiflerin (örneğin, hastalığı taşıyan bireyler) kaçırılmaması gereken durumlarda kritik önem taşır. Yüksek duyarlılık, modelin daha fazla doğru pozitif tahmin yapabilmesini sağlar.
- **F1 Skoru:** F1 skoru, kesinlik ve duyarlılığı dengeleyen bir metrik olup, her iki metriği de göz önünde bulundurur. Bu, özellikle sınıflandırma problemlerinde, her iki metriği dengede tutarak modelin gerçek başarısını gösteren önemli bir ölçüttür. Düşük F1 skoru, modelin ne kadar fazla yanlış pozitif ya da yanlış negatif tahmin yaptığına dair önemli bir göstergedir.

3.2.4. Teknolojik Araçların Rolü

Araştırmamızın metodolojisinde kullanılan teknolojiler teknolojiler arasında derin öğrenme kütüphaneleri (örneğin, TensorFlow ve Keras), yazılım geliştirme araçları (Vue.js ve Flask), ve veri analiz yöntemleri bulunmaktadır. Bu araçlar sayesinde:

- Tıbbi görüntü analizinin karmaşıklıkları etkin bir şekilde yönetilmiş,
- Model doğruluğu optimize edilmiş,
- Derin öğrenme modellerinin doğruluğu çeşitli optimizasyon teknikleriyle artırılmıştır,
- Kullanıcı arayüzüyle bütünleşmiş bir sistem geliştirilmiştir.

3.3. Basınç Yarası Tanısı İçin Derin Öğrenme Teknikleri

Basınç yaralarının tanısında, derin öğrenme teknikleri oldukça etkili ve yenilikçi bir yaklaşım sunmaktadır. Geleneksel görüntü işleme yöntemlerinin aksine, derin öğrenme algoritmaları karmaşık desenleri, dokuları ve ince detayları otomatik olarak öğrenme yeteneğine sahiptir. Bu çalışmada, tıbbi görüntü analizi için özel olarak optimize edilmiş derin öğrenme modelleri kullanılmaktadır (Goodfellow, I., Bengio, Y., & Courville, A. 2016).

3.3.1. Derin Öğrenmenin Basınç Yarası Tanısındaki Avantajları

- **Otomatik Özellik Çıkartma:** Derin öğrenme teknikleri, geleneksel yöntemlerde gereken manuel özellik belirleme sürecini ortadan kaldırarak, basınç yaralarının karakteristik özelliklerini kendiliğinden öğrenir. Bu, hata oranını düşürürken doğruluğu artırır.
- **Evrelendirme Yeteneği:** Model, basınç yaralarını "Evre 1" (erken dönem) ile "Evre 4" (ileri düzey) arasında hassas bir şekilde sınıflandırabilir.
- **Uyarlanabilirlik:** Derin öğrenme modelleri, farklı hasta gruplarından toplanan büyük veri setlerine göre kolayca yeniden eğitilebilir, bu da genelleme kapasitesini artırır (Chollet, F. 2017).

3.3.2. Kullanılan Derin Öğrenme Teknikleri

- **Konvolüsyonel Sinir Ağları (Convolutional Neural Networks- CNN):** Basınç yaralarının tanısı ve evrelendirilmesi için CNN yapıları temel alınmıştır. CNN'ler, tıbbi görüntülerdeki düşük ve yüksek düzeydeki özellikleri çıkartarak doğru bir tanılama sağlar.
- **Transfer Öğrenme:** Basınç yaralarıyla ilgili yeterli miktarda etiketli veri bulmanın zorluğu nedeniyle, genellikle transfer öğrenme yöntemleri kullanılmıştır. Bu yöntemle, ImageNet gibi büyük genel veri setlerinde önceden eğitilmiş bir model, hedef problem üzerine yeniden eğitilmiştir (Chollet, F. 2017).
- **Katman Normalizasyonu ve Aktivasyon Fonksiyonları:**
  Model, öğrenmeyi hızlandırmak ve stabiliteyi artırmak için Batch Normalization gibi yöntemler ve ReLU gibi aktivasyon fonksiyonları kullanmaktadır.

3.3.3. Uygulama Aşamaları

- **Görüntü Girdisinin İşlenmesi:** Tıbbi görüntüler sisteme girildiğinde, derin öğrenme modeli girdiyi işler ve farklı boyutlarda filtreler uygular. Bu sayede model, görüntüdeki belirgin ve gizli detayları algılar.
- **Özellik Haritalarının Çıkartılması:** CNN, basınç yarasının şekli, rengi ve doku özellikleri gibi kritik bilgileri öznitelik haritalarına çevirir.

3.3.4. Başarıyı Artıran Destekleyici Teknikler

- **Veri Artırma (Data Augmentation):** Veri çeşitliliği ve miktarını artırmak için görüntü çevirme, döndürme, parlaklık değiştirme gibi yöntemler uygulanmıştır. Bu, modelin fazla uyum yapma (overfitting) riskini azaltmıştır.
- **Hiperparametre Optimizasyonu:**Öğrenme hızı, mini-batch boyutu ve epoch sayısı gibi hiperparametreler, optimum performansı elde etmek için düzenli olarak optimize edilmiştir.
- **Düzenlileştirme Teknikleri:** Modelin genelleme kapasitesini artırmak için Dropout ve L2 Regularization gibi düzenlileştirme tekniklerinden yararlanılmıştır.

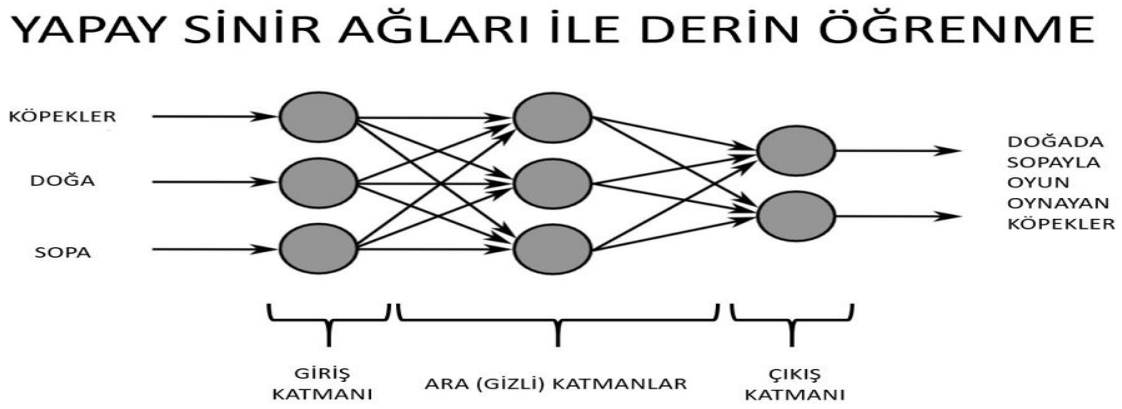

Şekil 3.3. Tıbbi Tanıda Derin Öğrenmenin Genel Çalışma Yapısı (Anonymous 3).

3.4. Model Seçimi ve Eğitim Süreci

Şekil 3.3, tıbbi tanı süreçlerinde derin öğrenmenin genel çalışma yapısını göstermektedir. Bu yapı, giriş verilerinin işlenmesinden modelin çıktılar üretmesine kadar olan süreci kapsamaktadır. Model seçiminde, Şekil 3.2'de gösterildiği gibi, derin öğrenme mimarilerinin farklı katmanları ve bu katmanların tıbbi görüntü işleme üzerindeki etkileri göz önünde bulundurulmuştur. Eğitim süreci, bu yapıyı temel alarak, basınç yaralarının evrelerini doğru bir şekilde sınıflandırmak için optimize edilmiştir (Vallina-Rodríguez & Montero, 2016) Model seçiminde şu kriterler dikkate alınmıştır:

- **Transfer Öğrenme Modelleri:** Daha önce geniş veri setlerinde eğitilmiş ResNet, EfficientNet ve Inception gibi transfer öğrenme modelleri tercih edilmiştir. Bu modeller, sınırlı boyuttaki tıbbi görüntü veri seti üzerinde daha hızlı ve etkili öğrenme avantajı sunmaktadır.
- **Hafif Modeller:** Uygulama performansını artırmak için hafif ve optimize edilmiş modeller, özellikle mobil uyumlu arayüzlerde kullanılmak üzere değerlendirilmiştir.

- **Özelleştirilebilir Modeller:** Basınç yaralarının kendine özgü özelliklerini daha iyi tanımlayabilmek için tamamen özelleştirilmiş bir konvolüsyonel sinir ağı (CNN) mimarisi de denenmiştir.

3.4.1. Model Eğitim Süreci

Bu tez çalışmasında kullanılan tıbbi görüntü veri seti, modelin eğitim sürecinde daha verimli kullanılabilmesi amacıyla eğitim (%70), doğrulama (%20) ve test (%10) olmak üzere üç alt kümeye ayrılmıştır. Bu bölme işlemi, modelin hem öğrenme sürecini hem de genelleme performansını sağlıklı bir şekilde değerlendirmek için kritik bir adımdır.

Veri ön işleme sürecinde, görüntülerin piksel değerleri 0 ile 1 arasına ölçeklendirilerek veri normalizasyonu uygulanmıştır. Bu sayede, farklı çözünürlükler ve ışık koşullarından kaynaklanan piksel tutarsızlıkları giderilmiş, modelin eğitim süreci daha kararlı hâle getirilmiştir.

Ayrıca, sınırlı sayıda görüntüye sahip olmanın yol açabileceği aşırı öğrenme (overfitting) riskini azaltmak ve modelin genelleme yeteneğini artırmak amacıyla çeşitli veri artırma (data augmentation) tekniklerinden faydalanılmıştır. Bu kapsamda, görüntülere döndürme (rotation), yakınlaştırma (zoom) ve parlaklık düzeyinde değişiklik (brightness adjustment) gibi çeşitli dönüşümler uygulanmıştır. Bu yöntemlerle, modelin farklı varyasyonlardaki basınç yaralarını daha başarılı şekilde tanıması hedeflenmiştir.

3.4.2. Model Değerlendirme ve İyileştirme

- **Test Aşaması:** Model, eğitimde kullanılmayan test verisi üzerinde değerlendirilmiştir. Bu aşamada modelin genel performansı, hassaslık (precision), duyarlılık (recall) ve F1 skoru gibi göstergelerle analiz edilmiştir. (He, K., Zhang, X., Ren, S., & Sun, J. 2016)
- **Hiperparametre Optimizasyonu:** Eğitim sürecinde modelin performansını artırmak için öğrenme hızı, epoch sayısı, batch boyutu gibi hiperparametreler optimize edilmiştir.
- **Karma Matris Analizi:** Modelin doğru ve hatalı sınıflandırma yaptığı örnekler detaylı şekilde analiz edilerek modelin zayıf yönleri tespit edilmiştir.

3.4.3. Modelin Eğitim Süresi ve Donanım Özellikleri

Modelin eğitim süresi ve donanım özellikleri hakkında detaylı bilgiler şu şekildedir: Eğitim süresi, NVIDIA GeForce GTX 1650 Ti ekran kartı kullanılarak her bir epoch için ortalama 15-20 dakika arasında değişmiştir. Bu süre, modelin karmaşıklığına, kullanılan veri setinin büyüklüğüne ve hiper parametrelerin ayarlarına bağlı olarak değişebilir. 20 epoch süresince yapılan eğitimde toplam eğitim süresi yaklaşık 5-7 saat civarındadır. Eğitimde, NVIDIA GeForce GTX 1650 Ti ekran kartı kullanılmıştır. Bu ekran kartı, derin öğrenme ve

görüntü işleme gibi görevler için orta seviyede uygun bir performans sunmaktadır. Ancak, büyük veri setleri ve daha karmaşık modellerle eğitim yapılırken performans sınırlamaları yaşanabilir. Intel Xeon E5-2670 v3 işlemcisi, 12 çekirdek ve 24 iş parçacığına sahip olup, GPU ile paralel çalışan hesaplamalar ve veri ön işleme işlemleri için kullanılır. Eğitim süreci, çoğunlukla GPU'ya bağımlı olduğundan CPU, eğitimde sınırlı bir rol oynar. Eğitimde 16 GB RAM kullanılmıştır. Bu bellek miktarı, orta büyüklükteki veri setleri ve modeller için yeterli olmasına rağmen, büyük veri setleri veya karmaşık modellerde bellek sınırlamaları yaşanabilir. Eğitim ve veri işleme sırasında hızlı veri erişimi için SSD (Solid State Drive) kullanılmıştır. SSD, geleneksel HDD'lere göre çok daha hızlı veri okuma ve yazma işlemleri sağlar, bu da eğitim süresini kısaltmaya yardımcı olur.

Eğitimde toplamda 6546 adet görüntü kullanılmıştır. Her bir görüntü 256x256 piksel çözünürlüğündedir. Başlangıçta 1091 adet basınç yarası görüntüsü bulunuyordu, ancak veri artırma teknikleri (random flip, zoom, kontrast değişimi vb.) kullanılarak görüntü sayısı 6546'ya çıkarılmıştır. Eğitim süresi, donanım özellikleri ve veri setinin büyüklüğü göz önünde bulundurulduğunda, modelin eğitim süreci oldukça verimli bir şekilde gerçekleştirilmiştir.

3.5. Vue.js ile Frontend Geliştirme

Frontend geliştirme sürecinde, özellikle tıbbi görüntülerin yüklenip analiz sonuçlarının kullanıcıya sunulması oldukça kritik bir rol oynamaktadır. Bu tür uygulamalar, yalnızca teknolojik doğruluk açısından değil, aynı zamanda kullanıcı deneyimi açısından da büyük önem taşır.

Bu nedenle, modern web uygulamaları için esnek, dinamik ve hızlı bir framework olan Vue.js tercih edilmiştir. Vue.js, kullanıcı etkileşimlerini sorunsuz yönetebilmek ve verileri reaktif bir biçimde işlemek için sunduğu olanaklarla güçlü bir seçenek olmuştur. Aynı zamanda öğrenmesi oldukça kolay olması ve güçlü eklentilerle genişletilebilmesi sayesinde proje gereksinimlerini rahatlıkla karşılamaktadır.

Vue.js ve Proje Uygulaması Projemiz, Vue.js kullanarak kullanıcıların basınç yaralarını içeren tıbbi görüntüleri yüklemelerini, bu görüntüler üzerinde analiz yapmalarını ve sonuçları görmelerini sağlamak için dinamik bir arayüz geliştirmektedir. Vue.js'in sağladığı reaktif özellikler sayesinde, kullanıcı bir görsel yüklediğinde, bu görsel anında arayüzde güncellenir ve işlemler arka planda başlatılır. Sistem, derin öğrenme modelinin çıktısını hızlı ve etkili bir şekilde kullanıcıya sunar. Kullanıcı, yüklediği görüntü üzerinde işlem yaparken aynı zamanda analiz sonuçlarını anlık olarak görebilir. Bu, Vue.js'in data binding ve event handling gibi özelliklerinin gücünü gösterir (Smith, J. R. 2017).

Kullanıcı Etkileşimi Vue.js'in sunduğu two-way data binding ve etkinlik yönetimi özellikleri, kullanıcı etkileşimlerini hızlı ve verimli bir şekilde yönetmeyi sağlar. Kullanıcının

yüklediği görseller, anında arayüzde belirir ve kullanıcı bu görsellere tıklayarak daha fazla detaylı bilgiye ulaşabilir. Analiz işlemleri ise Vue.js bileşenleri üzerinden yapılandırılmış, her bileşen belirli bir sorumluluğa sahip ve bağımsız bir şekilde çalışır. Bu yapı, arayüzün modüler olmasını ve her bileşenin kendi işlevini tek başına yerine getirmesini sağlar.

Vue Router kullanılarak sayfa geçişleri dinamik bir şekilde yönetilmektedir. Bu, kullanıcıların yükledikleri görüntülerle ilgili analizleri adım adım takip edebilmesini ve bu işlemlere dair daha fazla bilgi almasını sağlar. Görseller, kullanıcı dostu bir şekilde sunulurken, aynı zamanda kullanıcılara görsellerin büyüklüğünü değiştirme ve yakınlaştırma gibi işlemleri yapabilme imkânı sunulmuştur (Koehler, E. 2018).

Mobil Uyumluluk ve Responsive Tasarım Projemiz, kullanıcıların farklı cihazlardan erişim sağladığı göz önünde bulundurularak her platformda uyumlu olacak şekilde tasarlanmıştır. Tıbbi veriler genellikle mobil cihazlar, tabletler gibi çeşitli platformlardan erişildiği için responsive bir tasarım oldukça önemli bir bileşendir. Vue.js'in sunduğu esnek layout yapıları, responsive tasarım uygulamak konusunda büyük kolaylık sağlar. Bununla birlikte, CSS Grid ve Flexbox gibi araçlar kullanılarak arayüz, mobil cihazlar için optimize edilmiştir. Bu sayede, görsellerin boyutları otomatik olarak adaptif hale gelir ve mobil kullanıcılar da tüm özellikleri rahatlıkla kullanabilir. Kullanıcı deneyimi (UX), herhangi bir cihazda tutarlı kalmakta ve her platformda aynı seviyede işlevsellik sunulmaktadır. Tasarımın

Mobil uyumlu olması, kullanıcıların tıbbi analiz sonuçlarını nerede olurlarsa olsunlar hızlı bir şekilde alabilmesini sağlar, böylece sağlık profesyonelleri ya da hastalar, sonuçlarını mobil cihazlarından dahi takip edebilir (Koehler, E. 2018).

3.5.1. Proje Kod Örnekleri ve Kullanıcı Arayüzü Tasarımı

```
<template>
  <q-layout>
    <q-page-container>
      <q-page class="flex justify-center items-center bg-secondary">
        <div class="flex flex-col md:w-130">
          <q-card class="shadow-xl rounded-lg">
            <q-card-section class="bg-gray-100 p-6 flex items-center justify-between">
              <div class="text-left text-gray-800 text-30px font-bold mr-3">Pressure Wound</div>
              <img class="w-22 h-22" src="@/assets/akdeniz.png" alt="Akdeniz Logo">
            </q-card-section>
            <q-card-section class="p-4">
              <q-form @submit="handleLogin" ref="form" class="space-y-4">
                <q-input
                  ref="username"
                  outlined
                  rounded
                  v-model="username"
                  lazy-rules
                  :rules="[validateUsername]"
                  :label="$t('user_name')"
                  class="w-full"
                >
                  <template v-slot:prepend>
                    <q-icon name="o_person" />
                  </template>
                </q-input>
```

Şekil 3.4. Sistemin giriş sayfasının kodunun bir kısmı

Şekil 3.4'te, sistemin giriş sayfasının kodunun bir kısmı yer almaktadır. Bu kod, kullanıcıdan giriş bilgilerini alarak sisteme giriş yapmasını sağlar.

```
<template>
  <div :key="langue" class="overflow-hidden flex flex-col bg-grey-1" >
    <header-component ref="header"  @refresh="refresh" @search="search"  @addNew="this.form.model={}" :form="form"  @postData=
    <TableComponent
      :searchValue="searchValue"
      ref="table"
      :form="form"
      :columns="personColumns"
      apiType="personApi"
      get="v1/person"
      post="v1/person"
      put="v1/person"
      delete="v1/person"
      @formModel="formModel"
    />
  </div>
</template>
```

Şekil 3.5. Sistemdeki tablo komponentini kodu

Şekil 3.5'te, sistemdeki tablo komponentinin kodu yer almaktadır. Bu kod, kullanıcıya verileri düzenli ve anlaşılır bir şekilde sunan bir tablo yapısı oluşturur. Tablo, verileri satır ve sütunlar halinde gösterirken, her hücreye veri yerleştirilmesi ve gerektiğinde veri sıralama gibi işlemleri de destekler. Komponent, genellikle dinamik veri yükleme, filtreleme ve sıralama özellikleri ile etkileşimli hale getirilir. Bu kod, tabloyu görsel olarak oluşturmanın yanı sıra, kullanıcının verilerle etkileşimini kolaylaştıran işlevler de içerir.

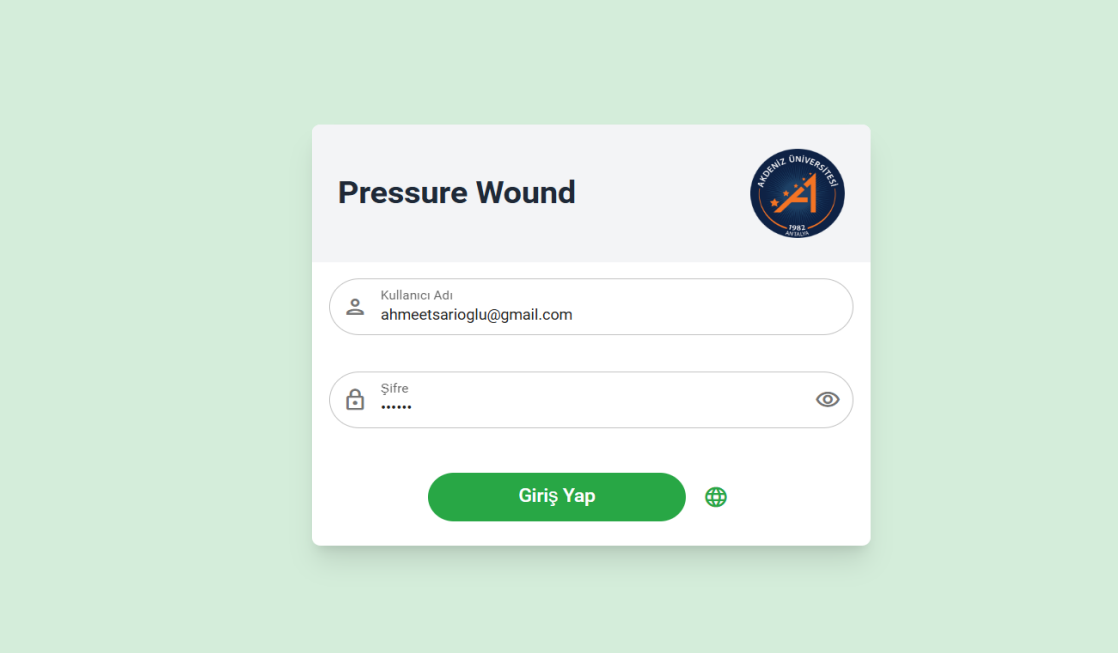

Şekil 3.6. Web uygulaması giriş ekranı resmi

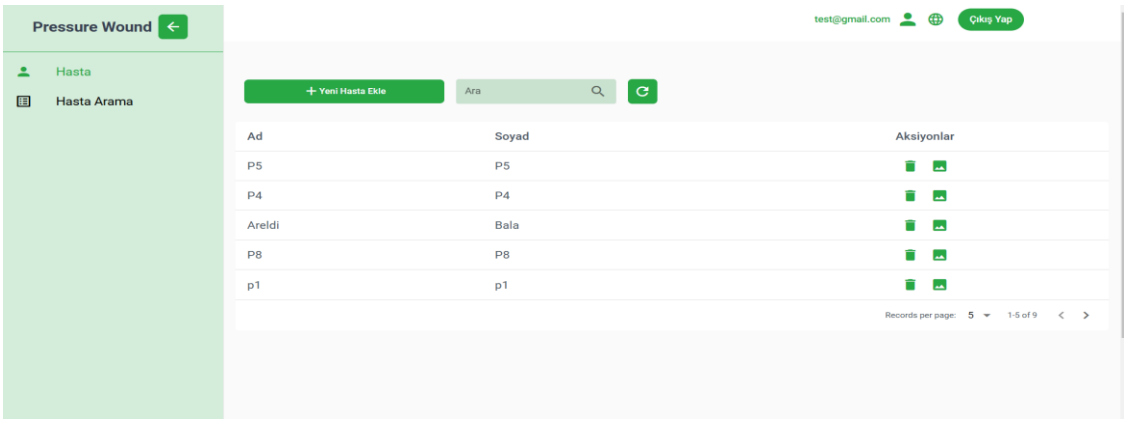

Şekil 3.7. Web uygulamasında hastaların listelendiği sayfanın tasarımı

Şekil 3.6, web uygulamasının kullanıcı giriş (login) sayfasının tasarımını göstermektedir. Bu sayfa, kullanıcının sisteme güvenli bir şekilde giriş yapabilmesi için gerekli olan alanları içerir. Şekil 3.7 ise hastaların bilgilerini görüntüleyen sayfanın tasarımını sunmaktadır. Bu sayfa, hastaların adı, soyadı, yaşı, basınç yarası evresi gibi temel bilgileri düzenli ve kullanıcı dostu bir şekilde sunar. Sayfa, kullanıcıya hızlı arama, filtreleme ve sıralama gibi etkileşimli özellikler sunar. Ayrıca, her bir hasta kaydına tıklanabilir alanlar eklenerek, kullanıcının daha fazla bilgiye ulaşması sağlanabilir. Tasarımda kullanılan renkler, yazı tipleri ve düzen, bilgilerin kolayca anlaşılabilir olmasını ve kullanıcı deneyiminin iyileştirilmesini hedefler.

```
<template>
  <q-page :key="tableKey" class="flex flex-col p-4 !overflow-hidden">
    <q-table class="shadow-0 text-gray-600" title-class="text-primary text-subtitle1 w-full block"
             :rows="filteredRows"
             :columns="columns"
             row-key="name"
             :loading="loading"
             :key="langue"
    >
      <template v-slot:body-cell-actions="props">
        <q-td :props="props">
          <q-btn
            :loading="props.row.loadingDelete"
            icon="delete"
            dense
            flat
            color="primary"
            @click="openDeleteDialog(props.row)"
            class="mr-2"
          >
            <q-tooltip>{{ $t('delete') }}</q-tooltip>
          </q-btn>
          <q-btn
            icon="image"
            dense
            flat
            color="primary"
            @click="addImage(props.row)"
```

Şekil 3.8. Web uygulamasında hastaların listeden silinme kodunun örneği

Şekil 3.8, bir web uygulamasında hastaların listeden silinmesini sağlayan backend ve frontend kodu örneği sunulmaktadır. Bu işlem genellikle bir RESTful API aracılığıyla gerçekleştirilir ve HTTP DELETE yöntemi kullanılarak belirli bir hasta kaydının veri tabanından kaldırılmasını sağlar.

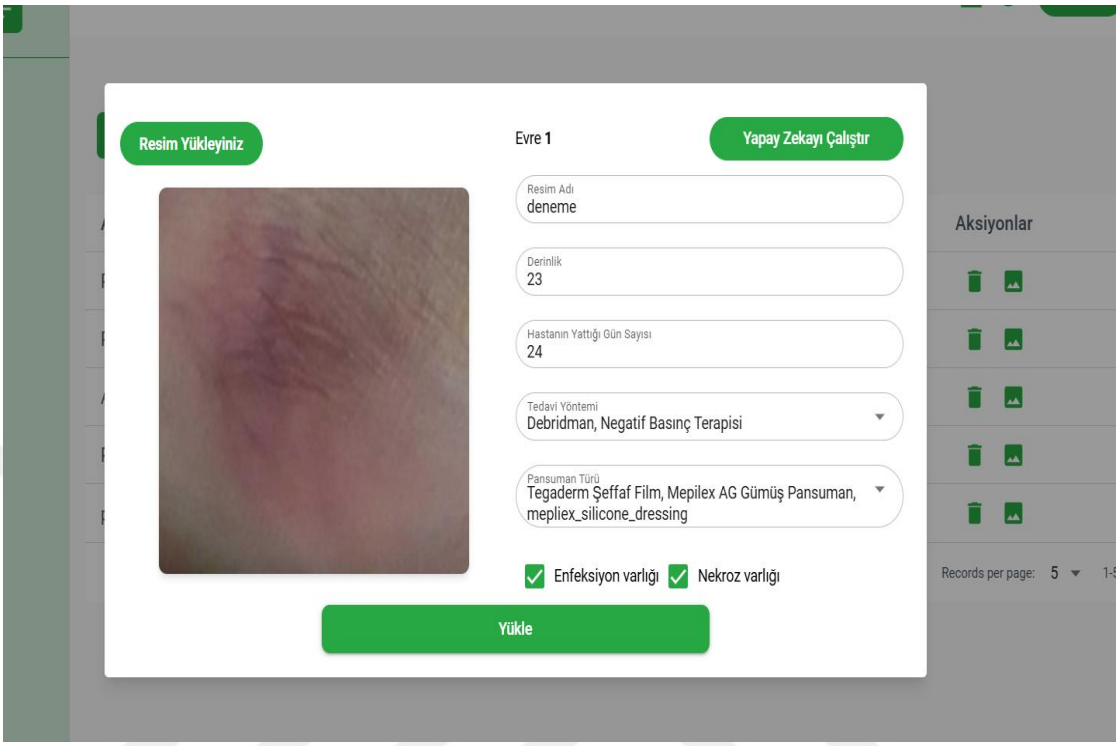

Şekil 3.9. Hastaya yeni resim yükleme ve yapay zekayı çalıştırma ekranı tasarımı

Şekil 3.9, hastaya yeni bir resim yükleyip yapay zekayı çalıştırma işlemi için tasarlanmış bir kullanıcı arayüzü ekranının görsel temsilini ifade etmektedir. Bu ekran, sağlık alanında kullanılan dijital platformlarda hastaların tedavi süreçlerini izlemek ve yapay zeka destekli analizler yapmak amacıyla tasarlanmıştır. Ekranda yer alan başlıca parametreler ve her bir parametrenin işlevi aşağıda açıklanmıştır:

1. **Resim Adı**: Resmin adı, yüklenen her görselin benzersiz bir şekilde tanımlanabilmesi için kullanıcı tarafından manuel olarak girilmesi gereken bir alandır. Bu parametre, hastanın durumuna ilişkin görsel verilerin saklanabilmesi ve ilerleyen süreçlerde kolayca erişilebilmesi adına büyük önem taşımaktadır.

2. **Yapay Zekayı Çalıştır Butonu**: Bu buton, kullanıcı tarafından tıklanarak yüklenen resim üzerinde yapay zekâ algoritmalarının çalıştırılmasını sağlar. Yapay zekanın çalıştırılması, hastanın tedavi sürecine dair önemli çıkarımlar yapılmasına yardımcı olacak analizlerin başlatılmasını sağlar. Butonun konumu, kullanıcı etkileşimini kolaylaştıracak şekilde belirlenmiş olup, genellikle sayfanın alt kısmında yer alır.

3. **Hastanın Yattığı Gün Sayısı**: Bu parametre, hastanın hastanede veya tedavi sürecinde geçirdiği toplam gün sayısını belirtir. Sayısal bir değer olarak girilmesi gereken bu alan, tedavi sürecinin ne kadar uzun sürdüğünü ve hastanın mevcut durumunun hangi aşamada olduğunu anlamada önemli bir gösterge olabilir.

4. **Tedavi Yöntemleri**: Hastanın tedavi sürecinde uygulanan yöntemleri belirtmek için kullanılan bir seçenektir. Kullanıcı, tedaviye yönelik çeşitli yöntemleri seçebileceği bir açılır menü veya çoklu seçim kutusu (checkbox) aracılığıyla bu parametreyi doldurur. Tedavi yöntemleri, örneğin ilaç tedavisi, fiziksel terapi gibi farklı seçeneklerden oluşabilir.

5. **Pansuman Şekli**: Pansuman uygulama şekli, hastanın yarasına yönelik yapılan tedavi sürecinin bir parçasıdır. Bu alan, kullanıcı tarafından pansumanın tipi veya uygulanış biçimiyle ilgili bilgi sağlanmasını amaçlar. Açılır menü (dropdown) aracılığıyla kullanıcı, pansuman şekli ile ilgili seçenekleri belirleyebilir.

6. **Enfeksiyon Var mı, Yok mu (Checkbox)**: Bu parametre, hastanın tedavi sürecinde enfeksiyon olup olmadığını belirtmek için bir onay kutusu (checkbox) olarak tasarlanmıştır. Kullanıcı, enfeksiyonun var olup olmadığını bu kutuyu işaretleyerek seçebilir. Enfeksiyon durumunun belirlenmesi, tedavi sürecinin yönetilmesinde önemli bir faktör olup, doğru bilgi sağlanması tedavi planının etkinliğini artırır.

7. **Nekroz Var mı, Yok mu (Checkbox)**: Nekroz, dokuların ölümünü ifade eder ve tedavi sürecinde dikkat edilmesi gereken önemli bir durumdur. Bu parametre de yine bir onay kutusu şeklinde sunulur ve kullanıcı nekrozun var olup olmadığını belirtir. Bu bilgi, tedavi yöntemlerinin belirlenmesinde kritik bir rol oynar.

Tasarımın genel yapısı, kullanıcıların gerekli parametreleri hızlı, doğru ve kolay bir şekilde girebilmesini sağlayacak biçimde kullanıcı odaklı olarak düzenlenmiştir. Arayüzde, kullanıcıyı yönlendiren ve sayfanın amacını açıkça belirten "Hastaya Yeni Resim Yükleme ve Yapay Zeka Çalıştırma" başlığı, ekranın en üst kısmında büyük puntolarla ve dikkat çekici bir şekilde yer alır. Bu başlık sayesinde kullanıcı, ekranın hangi amaçla kullanılacağını ilk bakışta anlayabilir.

Form yapısı, sezgisel bir akış içinde organize edilmiştir. Ekranın üst kısmında, hastaya ait görsel verilerin yükleneceği alan yer alır. Bu bölümde kullanıcı, resim adını manuel olarak girebilir ve bilgisayarından uygun bir dosyayı seçerek sisteme yükleyebilir. Resim yükleme alanı, sürükle-bırak özelliği ile de desteklenebilir, bu sayede kullanıcı deneyimi daha da artırılmış olur. Görsel yüklendiğinde, küçük bir önizleme alanında bu görselin gösterilmesi planlanmıştır; bu, yanlış yüklemelerin önüne geçmek için önemli bir detaydır.

Orta kısımda ise, hastanın tedavi süreciyle ilgili bilgilerin girileceği alanlar bulunmaktadır. Bu alanlar, hastanın adı, yaşı, yatış tarihi, mevcut tedavi yöntemi ve yara özellikleri gibi çeşitli parametrelerden oluşur. Giriş alanları mantıksal gruplar hâlinde düzenlenmiş ve her biri etiketlerle net bir şekilde açıklanmıştır. Böylece kullanıcı, hangi alana hangi bilgiyi girmesi gerektiğini rahatlıkla anlayabilir.

```
<template>

<div class=" mt-4 md:mt-12 bg-grey-1 md:mx-2 p-2 rounded-lg  ">

  <q-toolbar  class="w-full flex justify-between items-center">

    <div class="flex items-center no-wrap space-x-4">
      <q-btn
        dense
        unelevated
        icon="add"
        color="primary"
        aria-label="Add"
        @click="onAdd"
        no-caps
        class="rounded-md w-68  flex no-wrap text-13px py-2"
      >
        {{ $t('add_new_patient') }}
        <q-tooltip>   {{ $t('add_new_patient') }}</q-tooltip>
      </q-btn>
      <q-input class="mx-2 bg-secondary rounded " borderless filled clearable dense :debounce="300" v-model="searchQuery" :la
        <template v-if="(!searchQuery || searchQuery.length === 0)" v-slot:append>
          <q-icon name="search"/>
        </template>
      </q-input>
      <q-btn
        unelevated
        icon="refresh"
```

Şekil 3.10. Sisteme yeni hasta ekleme kısmının kodu

Şekil 3.10, sisteme yeni hasta ekleme işlemini gerçekleştiren bir arayüzün veya fonksiyonun kodunu temsil etmektedir. Bu tür bir işlem genellikle bir form aracılığıyla yapılır ve kullanıcının hasta bilgilerini girerek sisteme eklemesini sağlar.

Şekil 3.11. Web uygulamasında istenilen hastanın geçmiş verileri görme ekranı tasarımı

Şekil 3.11, web uygulamasında basınç yarası tanısı koyulmuş bir hastanın geçmiş verilerinin görüntülendiği ekranı göstermektedir. Bu ekran, kullanıcıların hastanın geçmişteki basınç yarası evrelerini, tedavi sürecini, yapılan görselleri ve tedaviye ilişkin

diğer bilgileri görüntülemelerini sağlar. Kullanıcılar, hastanın tedavi sürecindeki ilerlemeleri ve basınç yarasıyla ilgili önceki durumları değerlendirebilir. Bu ekran, hastanın sağlık geçmişini daha iyi anlayarak, tedavi sürecini daha etkili bir şekilde yönlendirmeye yardımcı olur.

3.6. Python ile Backend ve Model Geliştirme

Projemizin backend kısmı, Flask framework'ü ve Python dilinin sağladığı güçlü özellikler kullanılarak geliştirilmiştir. Python, açık kaynaklı ve zengin kütüphaneleriyle özellikle veri işleme, makine öğrenimi (ML) ve derin öğrenme (DL) alanlarında yaygın bir şekilde kullanılmaktadır. Bu dil, veri analizi için güçlü araçlar ve derin öğrenme uygulamaları için optimizasyon sağlar. Python'un avantajı, hızlı prototipleme yeteneği ve geniş kütüphane desteğiyle geliştirme sürecini oldukça verimli hale getirmesidir. Flask ise hafif yapısı ve hızla API geliştirme imkânı sunması nedeniyle projeye entegre edilen modellerin yönetilmesi ve veri akışının sağlanmasında kullanılmıştır. (Chollet, F. 2015)

Backend'in ana işlevi, kullanıcılar tarafından yüklenen tıbbi görüntülerin işlenmesi ve bu verilerin doğru şekilde makine öğrenimi modeline sunulmasıdır. Bir tıbbi görüntü Sisteme yüklendiğinde, backend API'si, öncelikle görselin uygun formatta işlenmesini sağlar. Görselle ilgili uygulanan çeşitli ön işleme adımları, modelin daha doğru ve tutarlı sonuçlar vermesini sağlar. Bu işlemler arasında yeniden boyutlandırma, normalizasyon ve dönüştürme yer alır. Sonrasında işlenmiş görüntüler, tıbbi modelin sınıflama yapmak üzere aldığı girdiler olarak kullanılır.

Flask ile API olarak entegre edilen model, görsellerin analizinden sonra kullanıcıya sınıflandırma sonuçlarını hızlı bir şekilde döndürür. Bu sayede kullanıcı, herhangi bir hastanın görseli üzerinden hastalığın evresine dair bilgiler alabilir. Sistem, yüksek işlem gücü gereksinimi olan deep learning (derin öğrenme) uygulamalarının yanı sıra, hızlı ve doğru sonuçlar sunabilecek kadar optimize edilmiştir.

Derin öğrenme modeli, Python'daki güçlü kütüphaneler kullanılarak geliştirilmiştir. NumPy ve Pandas gibi veri işleme kütüphaneleri, modelin veri ön işleme süreçlerine yardımcı olmuş; görsellerin düzenlenmesi, veri setinin temizlenmesi ve uygun formatlara getirilmesinde etkin olarak kullanılmıştır. TensorFlow ve Keras ise derin öğrenme modelinin ana temelini oluşturmuş ve büyük veri setlerinin üzerinde işlem yapılmasını sağlayarak modelin başarı oranını arttırmıştır.

Veri toplama ve veri seti hazırlığı bu sürecin ilk adımını oluşturur. Tıbbi görüntülerden oluşan veri seti, projenin doğruluğu açısından hayati bir öneme sahiptir. Bu veri setlerinin her birinin etiketli olması gerekmektedir; yani her bir görselin hangi basınç yarası evresine ait olduğu bilgisinin verilmiş olması gerekir. Bu aşamada genellikle hastane görüntülerinden ve medikal resim veri havuzlarından yararlanılır. (Deng, L., & Liu, Y. 2013)

Veri ön işleme kısmı, modelin verimliliği açısından oldukça önemlidir. Görsellerin farklı boyutları, renklerindeki sapmalar ve uyumsuzluklar gibi problemleri çözmek için yeniden boyutlandırma ve standartlaştırma işlemleri yapılır. Görsellerin aynı boyuta ve formata getirilmesi sağlanarak, modelin daha stabil bir şekilde eğitim alması sağlanır. Bunun yanı sıra, bu aşamada veri artırma yöntemleri kullanılarak, sınırlı bir veri setiyle çalışırken daha fazla veriyi artırmak amaçlanır. Veri artırma işlemi, aynı verinin farklı dönüşümler ile çoğaltılmasını sağlar (örneğin; dönme, yansıma, boyut değiştirme).

Model geliştirme, sıklıkla kullanılan Convolutional Neural Networks (CNN) türündeki ağlar ile gerçekleştirilir. Bu ağlar, görsel içerikteki mekansal ve zaman içindeki ilişkileri daha etkin bir şekilde öğrenebilir. Bu özellikleri sayesinde, görselin içerdiği desenleri ve dokuları doğru şekilde tanıyabilir. Eğitim sürecinde kullanılan yöntemler arasında geri yayılım (backpropagation) ve optimizasyon algoritmaları yer alır. Modelin düzgün öğrenmesi için, ağın her katmanında elde edilen hatalar geri yayılır ve ağırlıklar bu hataları minimize edecek şekilde ayarlanır.

Modelin eğitim süreci, verinin genelleme yeteneğini artırmaya yönelik olarak yapılır. Yani, model sadece eğitim setinde yüksek doğruluk gösteren bir çözüm değil, gerçek dünyada da tutarlı ve doğru sınıflamalar yapabilen bir çözüm olmalıdır. Bu amaçla model, eğitim verileriyle yapılan testlerin yanı sıra doğrulama (validation) verileriyle de test edilerek farklı durumlarda da güvenilir sonuçlar verir. Bir sonraki aşama olan modelin entegrasyonu, bu eğitim sürecinde elde edilen eğitimli modelin bir API aracılığıyla erişilebilir hale getirilmesini kapsar. Bu işlem için Flask kullanılmıştır. Görselin backend API'sine gönderilmesiyle, modelin eğitim sürecinde elde ettiği öğrenmeleri kullanarak sınıflama yapılır ve sonuçlar, kullanıcıya uygun bir formatta sunulur.

Modelin doğruluğunu ve etkinliğini artırabilmek için bir takım hyperparametre optimizasyonu teknikleri kullanılır. Bu teknikler arasında öğrenme oranının ayarlanması, katman sayısının arttırılması veya azaltılması, aktivasyon fonksiyonları ve mini-batch eğitim gibi işlemler yer alır. Buna ek olarak, ağ yeniden eğitme (fine-tuning) ve Transfer Learning gibi yöntemler, mevcut modellerin ve verilerin optimize edilmesine yardımcı olur.

Bir model ne kadar büyük ve kompleks olursa olsun, yavaş çalışan veya öngörülemeyen hatalar veren bir model, sistemin kullanılabilirliğini ve kullanıcı deneyimini olumsuz etkileyebilir. Bu nedenle, derin öğrenme sisteminin perfromans iyileştirmeleri, her kullanımdan sonra sürekli olarak yapılmalıdır. Modelin cevabın alınma süresi, kullanıcılar için önemlidir; böylece zaman kaybı önlenir ve sonuçlar hızlı şekilde geri sunulur.

Python tabanlı bu backend geliştirme süreci, her türlü tıbbi görüntü için doğru ve güvenilir sınıflama yapılabilmesi için, hızlı veri işleme, sağlam model geliştirme ve kullanıcı dostu API entegrasyonu sağladı. Model, doğru sınıflandırmalar yapacak şekilde eğitilerek

tıbbi çalışanlara önemli karar verme süreçlerinde yardımcı olmayı hedeflemektedir. Ayrıca, Flask ve TensorFlow entegrasyonu ile her türlü kullanıcı isteği hızlı ve doğru bir biçimde karşılanabilir.

```python
path_train = "train"
path_test = "test"
path_valid = "valid"
img_size = 150  # Resimleri boyutlandırma (150x150)

# Verilerinizin klasör yapısını belirtin
data_dir = r'C:\Pressure_Injury\dataset'
categories = ['1', '2', '3', '4']  # Sınıf isimleri

def load_data():
    data = []
    label = []
    for category in categories:
        path = os.path.join(data_dir, category)
        class_num = categories.index(category)  # Class index
        for img in os.listdir(path):
            img_path = os.path.join(path, img)
            try:
                img_array = cv2.imread(img_path)  # Load image with OpenCV
                if img_array is None:
                    print(f"Failed to load image: {img_path}")  # Log failed loads
                    continue
                img_array = cv2.resize(img_array, (img_size, img_size))  # Resize image
                data.append(img_array)  # Append image and label
                label.append(class_num)
            except Exception as e:
                print(f"Error loading image {img_path}: {e}")
    return data, label


data, label = load_data()

path_1 = os.listdir(os.path.join(data_dir, '1'))
path_2 = os.listdir(os.path.join(data_dir, '2'))
path_3 = os.listdir(os.path.join(data_dir, '3'))
```

Şekil 3.12. PIID veri setini evrelere ayıran kodun bir bölümü

Şekil 3.12'de verilen Python kodu, basınç yarası evrelerine ait görselleri yükler, bu görselleri uygun şekilde işler ve modelin eğitimine hazırlanması için uygun formata getirir.

Kod, resimleri belirli bir boyuta (150x150 piksel) yeniden boyutlandırır, her resme karşılık gelen etiketleri (sınıf numaralarını) belirler ve hem görselleri hem de etiketleri bir listeye ekler. Bu işlem, derin öğrenme modelinin eğitiminde kullanılacak verilerin oluşturulmasını sağlar. Her bir sınıf (evre 1, evre 2, evre 3, evre 4) için farklı dizinlerdeki resimler işlenir

```python
# Veri çoğaltma işlemi ve Hue kanalını ayıklama fonksiyonu
def augment_and_extract_hue(image_list, num_augmentations=5):
    hue_images = []
    for im in range(len(image_list)):
        a = image_list[im].reshape(1, 224, 224, 3)
        for i in range(num_augmentations):
            augmented_image = data_augmentation(a)
            augmented_image_np = augmented_image[0].numpy()  # Tensor'u numpy array'e çevir
            hsv_image = cv.cvtColor(augmented_image_np, cv.COLOR_RGB2HSV)  # HSV formatına dönüştür
            hue_channel = hsv_image[:, :, 0]  # Hue kanalını ayıkla
            hue_images.append(hue_channel)  # Hue kanalı ekle
    return np.array(hue_images)

# Görüntüleri önceden normalize etme
scaled_1 = np.array(list(map(resize_and_rescale, image_1)))
scaled_2 = np.array(list(map(resize_and_rescale, image_2)))
scaled_3 = np.array(list(map(resize_and_rescale, image_3)))
scaled_4 = np.array(list(map(resize_and_rescale, image_4)))

# Hue kanallarını ayıklama işlemi
hue_1_aug = augment_and_extract_hue(scaled_1)
hue_2_aug = augment_and_extract_hue(scaled_2)
hue_3_aug = augment_and_extract_hue(scaled_3)
hue_4_aug = augment_and_extract_hue(scaled_4)

# Boyut ayarlama (tek kanallı veriler için son boyut ekleniyor)
hue_1_aug = hue_1_aug.reshape(len(hue_1_aug), 224, 224, 1)
hue_2_aug = hue_2_aug.reshape(len(hue_2_aug), 224, 224, 1)
hue_3_aug = hue_3_aug.reshape(len(hue_3_aug), 224, 224, 1)
hue_4_aug = hue_4_aug.reshape(len(hue_4_aug), 224, 224, 1)
```

Şekil 3.13. Resimlerin çoğaltılmasının kodunun bir bölümü

Şekil 3.13'te verilen kod, görüntü verilerinin çoğaltılması ve Hue kanalının çıkarılması işlemlerini yapmaktadır. İlk olarak, görüntüler veri çoğaltma (augmentation) ile artırılır. Ardından, her görüntü HSV renk uzayına dönüştürülüp, sadece Hue kanalı çıkarılır. Çıkarılan Hue kanalları yeniden boyutlandırılarak modele uygun hale getirilir. Bu işlem, modelin renk özelliklerini daha iyi öğrenebilmesini sağlar.

```python
# Basit CNN modeli oluşturma fonksiyonu
def create_cnn_model(input_shape):
    model = models.Sequential([
        layers.Conv2D(32, (3, 3), activation='relu', input_shape=input_shape),
        layers.MaxPooling2D((2, 2)),
        layers.Conv2D(64, (3, 3), activation='relu'),
        layers.MaxPooling2D((2, 2)),
        layers.Conv2D(64, (3, 3), activation='relu'),
        layers.MaxPooling2D((2, 2)),
        layers.Flatten(),
        layers.Dense(64, activation='relu'),
        layers.Dense(4, activation='softmax')  # 4 sınıf olduğu için softmax
    ])

    model.compile(optimizer='adam', loss='categorical_crossentropy', metrics=['accuracy'])
    return model

# Modeli oluştur
input_shape = (224, 224, 1)  # Sadece Hue kanalı olduğu için 1 kanal
model = create_cnn_model(input_shape)

# Eğitim ve test verilerini ayır
X_train, X_test, y_train, y_test = train_test_split(data_hue_aug, label_hue_aug, test_size=0.2, random_state=42)

# Modeli eğit
history = model.fit(X_train, y_train, epochs=10, validation_data=(X_test, y_test))
```

Şekil 3.14. Yapay zekâ modelinin kodu

Şekil 3.14'te verilen kod, basit bir CNN modeli oluşturur ve eğitir. Model, üç konvolüsyonel katman (Conv2D) ve max-pooling katmanları içerir. Sonrasında, özellikler düzleştirilip, tamamen bağlantılı katmanlarla sınıflandırma yapılır. Model, dört sınıfı sınıflandırmak için softmax aktivasyonu kullanır ve "categorical_crossentropy" kayıp fonksiyonu ile eğitilir. Modelin eğitimi, veri setinin %80'iyle yapılır ve doğrulama için %20'si kullanılır.

```
model_metrics = {}

def train_and_evaluate_model(model_fn, model_name, input_shape=(224, 224, 3), num_classes=4):
    # Modelin yüklenmesi
    base_model = model_fn(weights='imagenet', include_top=False, input_shape=input_shape)
    for layer in base_model.layers[:-50]:  # İlk 50 katman hariç, tümünü dondur
        layer.trainable = False
    for layer in base_model.layers[-50:]:
        layer.trainable = True

    # Ek katmanlar ekleme
    last_output = base_model.output
    x = Flatten()(last_output)
    x = BatchNormalization()(x)
    x = Dense(1024, activation='relu')(x)
    x = Dropout(0.5)(x)
    x = Dense(num_classes, activation='softmax')(x)

    # Modelin derlenmesi
    model = Model(inputs=base_model.input, outputs=x)
    model.compile(optimizer=RMSprop(), loss='categorical_crossentropy', metrics=['acc'])

    # ModelCheckpoint callback
    checkpoint = ModelCheckpoint(f"C:/Pressure_Injury/kod/model/{model_name}_best_model.keras",
                                 monitor="val_acc", save_best_only=True)

    # Modelin eğitilmesi
    history = model.fit(X_train, y_train,
                        epochs=20,
                        batch_size=100,
                        validation_data=(X_valid, y_valid),
                        callbacks=[checkpoint],
                        verbose=1)
```

Şekil 3.15. Yapay zekâ modelinin eğitim fonksiyonunun kodu

Şekil 3.15'te gösterilen bu fonksiyon, transfer öğrenme yaklaşımının önemli bir uygulamasını temsil etmektedir. Bu yöntemde, önceden büyük veri kümeleri üzerinde eğitilmiş ve belirli bir görevde yüksek başarı sağlamış bir modelin ağırlıkları, mevcut probleme uyarlanmak üzere yeniden kullanılır. Özellikle, modelin alt katmanları — genellikle evrensel özellikleri öğrenen bölümler — dondurularak (trainable=False), bu katmanlardaki ağırlıkların güncellenmesi engellenir. Bu sayede, modelin önceden edinilmiş bilgi birikimi korunmuş olur.

Modelin üst katmanları ise mevcut veri setine özgü öğrenmeleri gerçekleştirmek üzere yeniden yapılandırılır. Bu amaçla, birkaç yoğun (dense) katman ve genellikle bir sınıflandırma katmanı modele eklenir. Ardından, model belirli bir optimizasyon algoritması

ve uygun bir kayıp fonksiyonu ile derlenir. Derleme işleminde ayrıca başarıyı ölçmek için bir değerlendirme metriği — genellikle doğruluk (accuracy) — tanımlanır. Eğitim süreci sırasında, model hem eğitim hem de doğrulama veri seti üzerinde eğitilir. Böylece modelin öğrenme performansı ve genelleme yeteneği izlenebilir. Ayrıca, eğitim esnasında "early stopping" ve "model checkpoint" gibi stratejiler kullanılarak, en iyi doğrulama doğruluğu elde edilen epoch sırasında modelin ağırlıkları kaydedilir. Bu sayede, aşırı öğrenmenin (overfitting) önüne geçilirken, en iyi genel performansı sergileyen modelin kaydedilmesi sağlanır.

Sonuç olarak, bu yaklaşım sayesinde eğitim süresi kısalır, daha az veri ile yüksek doğruluk elde edilebilir ve önceki modellerden faydalanılarak daha verimli çözümler geliştirilebilir.

```
# Modellerin eğitilmesi ve değerlendirilmesi
models = [      You, 4 weeks ago • updated
    (Xception, 'Xception'),
    (EfficientNetB0, 'EfficientNetB0'),
    (EfficientNetB7, 'EfficientNetB7'),
    (NASNetLarge, 'NASNetLarge'),
    (NASNetMobile, 'NASNetMobile'),
    (MobileNetV3Large, 'MobileNetV3Large'),
    (MobileNetV3Small, 'MobileNetV3Small'),
    (DenseNet121, 'DenseNet121'),
    (MobileNetV2, 'MobileNetV2'),
    (ResNet50, 'ResNet50'),
    (VGG16, 'VGG16'),

    (InceptionV3, 'InceptionV3'),
    (InceptionResNetV2, 'InceptionResNetV2'),
]

for model_fn, model_name in models:
    train_and_evaluate_model(model_fn, model_name)

# Modellerin tüm metriklerini tablo olarak kaydetmek ve görselleştirmek için
def save_and_display_metrics_table(model_metrics):
    # Tüm modellerin metriklerini saklamak için bir liste oluştur
    metrics_data = []

    # Her model için metrikleri al ve listeye ekle
    for model_name, metrics in model_metrics.items():
        row = {
            'Model': model_name,
            'Accuracy': metrics['accuracy']
        }
        # Her sınıf için precision, recall ve f1_score değerlerini ekle
        for i, (prec, rec, f1) in enumerate(zip(metrics['precision'], metrics['recall'], metrics['f1_score'])):
            row[f'Precision_Stage_{i+1}'] = prec
            row[f'Recall_Stage_{i+1}'] = rec
```

Şekil 3.16. Derin ögrenme modellerinin kodu

Şekil 3.16'da verilen kod parçası, farklı derin öğrenme modelleriyle eğitim yapıp her birinin performansını değerlendirir ve metriklerini bir CSV dosyasına kaydeder. Aşağıda açıklamalar:

1. **Model Eğitim ve Değerlendirme**: Çeşitli popüler model fonksiyonları (Xception, EfficientNetB0, VGG16 vb.) train_and_evaluate_model fonksiyonuyla eğitilir. Her model için doğruluk (accuracy) gibi metrikler hesaplanır.
2. **Metriklerin Kaydedilmesi ve Görselleştirilmesi**: Modellerin sonuçları bir tabloya dönüştürülüp, her modelin doğruluğu ve sınıf bazında precision, recall, ve f1-score değerleri çıkartılır. Bu bilgiler bir CSV dosyasına kaydedilir.
3. **Sonuçları Kaydetme**: save_and_display_metrics_table fonksiyonu, metrik verilerini toplar, bunları bir pandas DataFrame'e çevirir ve daha sonra bir CSV dosyası olarak kaydeder.

Bu kod, modellerin performansını karşılaştırarak hangi modelin daha iyi sonuç verdiğini anlamaya yardımcı olur.

3.7. Kullanılan Derin Öğrenme Kütüphaneleri ve Araçlar

Derin öğrenme, bilgisayara veri üzerinden öğrenme ve tahmin yapma yeteneği kazandıran bir yapay zekâ alanıdır. Bu süreçte kullanılan başlıca araçlar ve kütüphaneler, algoritmaların verimli bir şekilde çalışmasını sağlar ve farklı donanım altyapılarıyla desteklenerek büyük veri setleri üzerinde hızlı sonuçlar elde edilmesine olanak tanır.

TensorFlow ve Keras TensorFlow, Google tarafından geliştirilen açık kaynaklı bir derin öğrenme kütüphanesidir. Çeşitli makine öğrenmesi algoritmalarını ve derin öğrenme modellerini implement etmek, eğitim yapmak ve dağıtık sistemlerde çalıştırmak için kullanılır. TensorFlow'un popülerliği, geniş model çeşitliliği ve güçlü donanım desteği ile artmıştır. TensorFlow kullanarak, kullanıcılar derin öğrenme modelleri oluşturabilir, eğitebilir ve değerlendirebilir (Chollet, François, et al. 2017).

Keras, başlangıçta bağımsız bir kütüphane olarak geliştirilmiş olup, TensorFlow'a entegre olduktan sonra onun yüksek seviyeli API'si halini almıştır. Keras, derin öğrenme modellerini hızlı ve kullanıcı dostu bir şekilde inşa etmeyi sağlar, TensorFlow'un gücünü daha verimli kullanır. Model oluşturma süreci, sadece birkaç satırda yazılabilen anlaşılır bir hale gelir. Keras, modelin yapılandırılmasında geniş esneklik sağlar. Sequential model ya da fonksiyonel API kullanılarak derin öğrenme mimarileri tasarlanabilir. Eğitim Süreci: Keras, modelin eğitiminde yüksek verimlilik sağlar ve kolayca çeşitli optimizasyon teknikleri, kayıp fonksiyonları ve ölçümler kullanabiliriz. Özelleştirilebilirlik: Keras ile, eğitim sırasında çeşitli izleme, düzenleme ve geliştirmeler yapmak mümkündür (Géron, Aurélien 2019).

Eğitim sürecindeki büyük veri kümelerinin işlenmesi için GPU (Graphics Processing Unit) ve TPU (Tensor Processing Unit) gibi özel işlemciler büyük rol oynamaktadır. Bu altyapılar, derin öğrenme algoritmalarında sıkça kullanılan matris hesaplamalarının hızlı bir şekilde yapılmasını sağlar. GPU'lar, geleneksel işlemcilere göre daha paralel işleme

kabiliyetine sahip olduğundan derin öğrenme gibi yoğun hesaplama gereksinimi duyan alanlarda çok daha hızlı sonuçlar elde edilmesini sağlar.

Google tarafından özel olarak derin öğrenme algoritmalarının daha verimli çalışması için tasarlanmış işlemcilerdir. GPU'lara kıyasla daha yüksek hızda ve daha düşük enerji tüketimi ile çalışabilirler. Bulut Hizmetleri, derin öğrenme algoritmalarını eğitmek ve çalıştırmak için kullanılır. Bulut servis

Sağlayıcıları, kullanıcılara işlemci, bellek ve depolama kaynaklarını talep üzerine sağlamakta ve kullanıcıların kendi altyapılarına bağımlı kalmadan güçlü donanım kullanmalarına olanak tanımaktadır. Google Colab, ücretsiz olarak GPU ve TPU desteği sunar ve özellikle öğrenciler ve araştırmacılar tarafından yoğun olarak tercih edilir. Kişisel donanım sınırlı olduğunda Colab, basit kullanımıyla model eğitimi için oldukça faydalıdır.

4. BULGULAR VE TARTIŞMA

Geliştirilen modelin performansı, sınıflandırma başarısını daha iyi anlayabilmek için çeşitli metriklerle değerlendirilmiştir. Bu değerlendirme sürecinde modelin genel doğruluk oranı, doğruluk (precision), geri çağırma (recall) ve F1 skoru gibi temel performans ölçütleri dikkate alınmıştır. Bu metrikler, modelin her bir sınıfı ne kadar doğru tahmin ettiğini ve genel başarı seviyesini anlamamıza yardımcı olmaktadır.

Özellikle tıbbi görüntü sınıflandırma problemlerinde, modelin yüksek doğrulukta çalışması tek başına yeterli olmamaktadır. Modelin, nadir görülen hastalık evrelerini de başarılı bir şekilde ayırt edebilmesi kritik bir gerekliliktir. Bu nedenle modelin farklı sınıflar üzerindeki başarısını ölçmek için farklı değerlendirme kriterleri kullanılmıştır.

Modelin başarısı aşağıdaki metrikler ile analiz edilmiştir:

- **Doğruluk (Accuracy):** Modelin, tüm sınıfları doğru tahmin etme oranını ifade eder. Genel performansı değerlendirmede önemli bir ölçüt olsa da sınıf dengesizlikleri olduğunda tek başına yeterli olmayabilir.
- Geliştirilen modelin performansı, doğruluk (accuracy) metriği kullanılarak değerlendirildi. Doğruluk, modelin doğru sınıflandırdığı örneklerin toplam örnek sayısına oranını gösterir ve şu formülle hesaplanır (Formül 4.1):

$$\text{Accuracy} = \frac{\text{Doğru Tahmin Edilenler}}{\text{Toplam Tahmin Edilenler}} = \frac{TP + TN}{TP + TN + FP + FN} \quad (4.1)$$

TP: True Positive (Gerçek Pozitif) - Doğru şekilde pozitif olarak sınıflandırılmış örnekler.

TN: True Negative (Gerçek Negatif) - Doğru şekilde negatif olarak sınıflandırılmış örnekler.

FP: False Positive (Yanlış Pozitif) - Yanlış şekilde pozitif olarak sınıflandırılmış örnekler.

FN: False Negative (Yanlış Negatif) - Yanlış şekilde negatif olarak sınıflandırılmış örnekler.

- **Precision (Kesinlik):** Modelin pozitif olarak tahmin ettiği örneklerin ne kadarının gerçekten pozitif olduğunu gösterir. Özellikle yanlış pozitif tahminlerin azaltılmasının önemli olduğu durumlarda kritik bir metrik olarak değerlendirilir. Kesinlik, şu formülle hesaplanır (Formül 4.2):

$$\text{Precision} = \frac{TP}{TP + FP} \quad (4.2)$$

TP: True Positive (Gerçek Pozitif) - Doğru şekilde pozitif olarak sınıflandırılmış örnekler.

FP: False Positive (Yanlış Pozitif) - Yanlış şekilde pozitif olarak sınıflandırılmış örnekler.

- **Recall (Duyarlılık):** Modelin, gerçek pozitif sınıf örneklerini ne kadar başarılı bir şekilde tanımlayabildiğini ölçer. Bu metrik, özellikle ciddi tıbbi durumların gözden kaçırılmasının önlenmesi gereken uygulamalarda büyük önem taşır. Recall, şu formülle hesaplanır (Formül 4.3):

$$\text{Recall} = \frac{TP}{TP + FN} \quad (4.3)$$

TP: True Positive (Gerçek Pozitif) - Doğru şekilde pozitif olarak sınıflandırılmış örnekler.

FP: False Positive (Yanlış Pozitif) - Yanlış şekilde pozitif olarak sınıflandırılmış örnekler.

FN: False Negative (Yanlış Negatif) - Yanlış şekilde negatif olarak sınıflandırılmış örnekler.

- **F1 Skoru:** Precision ve Recall arasındaki dengeyi sağlayan bir ölçümdür. Dengesiz veri kümelerinde modelin genel performansını anlamak için kullanılır ve özellikle hem yanlış pozitif hem de yanlış negatif tahminlerin önemli olduğu senaryolarda değerli bir göstergedir. F1 Skoru, şu formülle hesaplanır (Formül 4.4):

$$\text{F1 Score} = 2 \times \frac{\text{Precision} \times \text{Recall}}{\text{Precision} + \text{Recall}} \quad (4.4)$$

Bu metriklerin birlikte değerlendirilmesi, modelin sadece genel başarısını değil, aynı zamanda farklı senaryolardaki etkinliğini anlamaya yardımcı olmaktadır. Özellikle tıbbi karar destek sistemlerinde, hastaların yanlış teşhis edilmesini önlemek amacıyla bu metriklerin dengeli bir şekilde optimize edilmesi gerekmektedir.

Modelin performansı değerlendirilmeden önce, görüntü işleme ve özellik çıkarmanın önemli bir bileşeni olan Hue, Saturation ve Value kanallarından faydalanılmıştır. Aşağıdaki resim, orijinal görüntü ve her bir kanalın (Hue, Saturation, Value) ayrıntılarını göstermektedir:

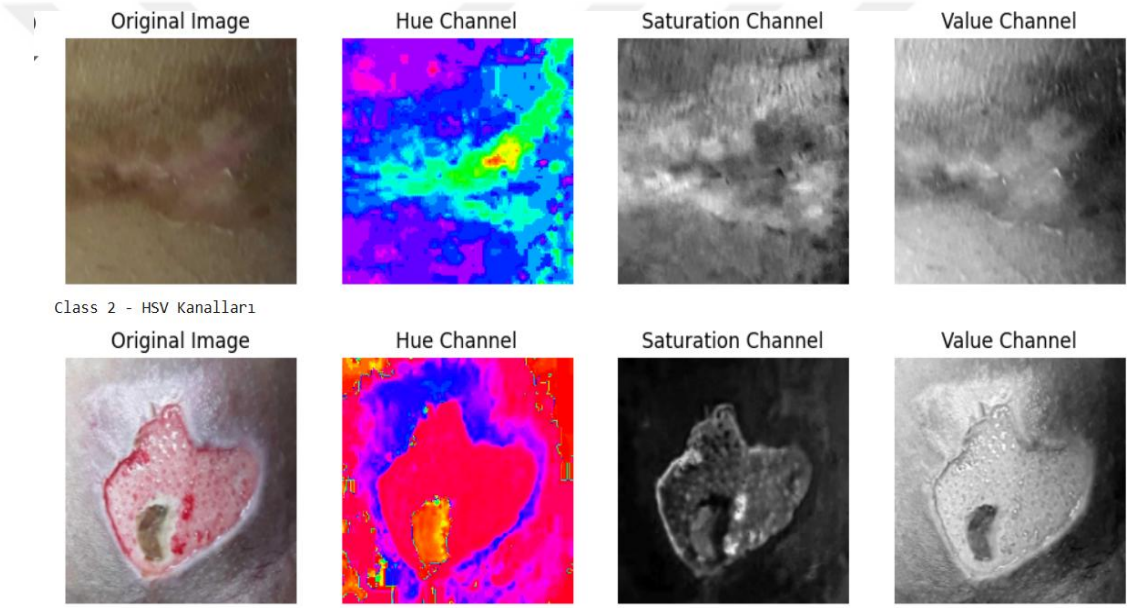

Şekil 4.1. Orijinal görüntü ve her bir kanalın (Hue, Saturation, Value) görsel temsilleri.

Şekil 4.1'de, orijinal görüntü ve her bir kanalın (Hue, Saturation, Value) görsel temsilleri yer almaktadır. Bu görseller, görüntülerin renk bileşenlerinin nasıl temsil edildiğini ve bu temsillerin basınç yarası tespiti için nasıl kullanıldığını göstermektedir. Görsel temsiller, geliştirilen modelin performansını değerlendiren çeşitli derin öğrenme modellerinin karşılaştırılması sürecinde önemli bir rol oynamaktadır

Geliştirilen modelin performansı, farklı derin öğrenme modellerinin karşılaştırılmasıyla daha iyi anlaşılabilir. Burada, InceptionV3, InceptionResNetV2, ResNet50, VGG16, Xception, DenseNet121, MobileNetV2, EfficientNetB0, EfficientNetB7, NASNetLarge, NASNetMobile, MobileNetV3Large ve MobileNetV3Small gibi modeller, sınıflandırma başarısı açısından detaylı bir şekilde karşılaştırılmıştır. Bu karşılaştırmalar, doğruluk (accuracy), precision, recall ve F1 skoru gibi metriklerle yapılmıştır.

InceptionV3: InceptionV3, Google tarafından geliştirilen ve özellikle görüntü sınıflandırma görevlerinde yüksek doğruluk oranları sunan bir derin öğrenme modelidir.

2015 yılında tanıtılan bu model, paralel filtreleme ve boyut azaltma teknikleriyle hem hızlı hem de verimli bir yapı sunar. Model, farklı boyutlardaki filtreleri aynı anda kullanarak çok yönlü özellik çıkarımı yapar. Büyük filtreleri daha küçük parçalara bölerek işlem maliyetini azaltır ve aşırı öğrenmeyi engelleyen global ortalama havuzlama yöntemini kullanır. Yaklaşık 48 katmana sahip olan mimarisi, derinlik ve esneklik açısından oldukça güçlüdür. Performans açısından, ImageNet veri kümesinde %77.9 Top-1 ve %93.7 Top-5 doğruluk oranlarına ulaşmıştır. Doğruluk, kesinlik (precision) ve duyarlılık (recall) gibi metriklerde başarılı sonuçlar verir. InceptionV3, tıbbi görüntü analizi, güvenlik sistemleri ve otonom araçlar gibi birçok alanda kullanılır. Transfer öğrenme sayesinde farklı veri kümelerine kolayca uyarlanabilir. Ancak, derin yapısı yüksek donanım gereksinimleri doğurur ve uygulama aşamasında uzmanlık gerektirebilir. Sonuç olarak, InceptionV3, yüksek doğruluğu ve optimize edilmiş yapısıyla modern yapay zeka uygulamalarında öne çıkan bir modeldir.

InceptionResNetV2: InceptionResNetV2, Google tarafından geliştirilen ve Inception ile Residual Networks (ResNet) mimarilerini birleştiren güçlü bir derin öğrenme modelidir. 2016 yılında tanıtılan bu model, daha derin yapılar oluşturmak için ResNet'in "kimlik haritalama" (identity mapping) tekniğini ve Inception'un paralel filtreleme yöntemlerini bir araya getirir.Bu birleşim, modelin hem karmaşık görsel özellikleri öğrenmesini hem de derin katmanlarda bilgi kaybını minimize etmesini sağlar. ResNet'in artık bağlantıları (skip connections) sayesinde gradyan kaybı önlenir ve modelin eğitimi hızlanır. Inception modülleri ise farklı boyutlardaki filtreleri paralel olarak kullanarak çok yönlü özellik çıkarımı sağlar.Yaklaşık 164 katmana sahip olan bu model, oldukça derin bir mimari sunar. Optimizasyon teknikleriyle hesaplama maliyetleri azaltılırken doğruluk ve hız artırılır. Modelin giriş boyutu genellikle 299x299'dur ve ReLU aktivasyon fonksiyonları kullanılır.

Performans açısından, InceptionResNetV2, ImageNet veri kümesinde %80,4 Top-1 ve %95,3 Top-5 doğruluk oranlarına ulaşır. Doğruluk, kesinlik (precision) ve duyarlılık (recall) gibi metriklerde başarılı sonuçlar verir.Model, tıbbi görüntü analizi, güvenlik sistemleri ve otonom araçlar gibi geniş uygulama alanlarında tercih edilir. Transfer öğrenme yeteneği sayesinde farklı veri kümelerine kolayca uyum sağlayabilir. Ancak, yüksek hesaplama gücü gereksinimi ve karmaşık yapısı nedeniyle uygulama aşamasında uzmanlık gerektirebilir. Sonuç olarak, InceptionResNetV2, derin öğrenme ve bilgisayarlı görü alanlarında yüksek doğruluğu ve verimli yapısıyla öne çıkan bir modeldir.

ResNet50: ResNet50, Microsoft tarafından geliştirilen ve derin öğrenme modelleri arasında önemli bir yer edinen 50 katmanlı bir sinir ağı modelidir. Residual Networks

(ResNet) mimarisine dayanan bu model, özellikle derin ağlarda karşılaşılan gradyan kaybı ve aşırı uyum (overfitting) gibi sorunları çözmek için artık bağlantılar (skip connections) kullanır.Bu artık bağlantılar, girdiyi doğrudan çıktı katmanlarına ileterek bilgi akışını kolaylaştırır ve gradyanların korunmasını sağlar. Böylece daha derin katmanlar eklenebilmesine rağmen eğitim süreci daha kararlı ve verimli hale gelir. ResNet50, 3x3 ve 1x1 boyutlarında filtreler kullanarak özellik çıkarımını optimize eder. Model, derin yapısına rağmen hesaplama yükünü minimize etmek için katmanlar arasında bölümlendirme ve azaltma tekniklerini kullanır. Giriş görüntü boyutu genellikle 224x224 olarak belirlenmiştir.

Performans açısından, ResNet50, ImageNet veri kümesinde %76,2 Top-1 ve %92,8 Top-5 doğruluk oranlarına ulaşır. Doğruluk, duyarlılık (recall) ve kesinlik (precision) gibi metriklerde başarılı sonuçlar sunar.Model, görüntü sınıflandırma, nesne algılama ve segmentasyon gibi çeşitli bilgisayarlı görü uygulamalarında yaygın olarak kullanılır. Ayrıca transfer öğrenme desteği sayesinde farklı veri kümelerine kolayca uyarlanabilir. Sonuç olarak, ResNet50, derin yapısı, residual bağlantıları ve yüksek doğruluk oranlarıyla modern yapay zekâ uygulamalarında sıkça tercih edilen güçlü bir modeldir.

VGG16: VGG16, Oxford Üniversitesi'ndeki Visual Geometry Group (VGG) tarafından geliştirilen ve görüntü sınıflandırma görevlerinde sıkça kullanılan bir derin öğrenme modelidir. Basit ve düzenli mimarisiyle dikkat çeken bu model, küçük 3x3 konvolüsyonel filtreler kullanarak derin bir ağ yapısı oluşturur. Model, 16 katmandan oluşur ve her katmanda küçük filtrelerle özellik çıkarımı yapılır. Bu yapı, görüntüdeki yerel özellikleri etkili bir şekilde öğrenmeyi sağlar.

Max-pooling katmanları ile boyut azaltımı yapılırken, tam bağlı (fully connected) katmanlar sınıflandırma işlemlerini gerçekleştirir. VGG16, düzenli yapısı sayesinde kolay anlaşılabilir ve uygulanabilir bir modeldir. Ancak, parametre sayısının fazla olması (yaklaşık 138 milyon) ve büyük veri kümeleri ile çalışması gerektiği için yüksek hesaplama gücüne ihtiyaç duyar. Bu durum, modelin eğitim sürecini yavaşlatabilir ve depolama gereksinimlerini artırabilir. Performans açısından, VGG16, ImageNet veri kümesinde %71,5 Top-1 ve %89,8 Top-5 doğruluk oranlarına ulaşmıştır. Doğruluk değerleri yüksek olsa da bazı durumlarda duyarlılık (recall) daha düşük olabilir. VGG16, nesne tanıma, yüz algılama ve tıbbi görüntü analizi gibi alanlarda sıkça tercih edilir. Transfer öğrenme ile farklı veri kümelerine kolayca adapte edilebilir.Sonuç olarak, VGG16, basit yapısı ve yüksek doğruluk oranlarıyla hala popülerliğini koruyan bir modeldir. Ancak, yüksek hesaplama gereksinimleri ve parametre sayısının fazlalığı, bazı uygulamalarda sınırlayıcı olabilir

Xception: Xception, "Extreme Inception" ifadesinden türetilmiş ve Inception mimarisini daha ileri seviyeye taşıyan bir derin öğrenme modelidir. Google tarafından geliştirilen bu model, geleneksel Inception yapısından farklı olarak derin ayrılmalı konvolüsyonlar (depthwise separable convolutions) kullanarak daha verimli özellik çıkarımı

sağlar. Modelin temel farkı, uzaysal ve derinlik yönündeki işlemleri birbirinden ayırarak parametre sayısını azaltması ve hesaplama maliyetini düşürmesidir. Bu yaklaşım, verilerin katmanlar arasında daha iyi aktarılmasını ve karmaşık desenlerin öğrenilmesini kolaylaştırır. Ayrıca, katmanlar arasındaki bağımlılıkları azaltarak modelin esnekliğini artırır. Xception, yaklaşık 36 katmana sahiptir ve hesaplama verimliliği sayesinde daha derin yapılar oluşturulmasına olanak tanır. Model, giriş boyutu olarak genellikle 299x299 piksel kullanır ve ReLU aktivasyon fonksiyonları ile çalışır. Performans açısından, Xception, ImageNet veri kümesinde %79,0 Top-1 ve %94,5 Top-5 doğruluk oranlarına ulaşır. Doğruluk, precision ve recall gibi metriklerde yüksek başarı sağlar. Uygulama alanları arasında nesne tanıma, tıbbi görüntü analizi ve otonom sistemler bulunur. Transfer öğrenme desteği sayesinde farklı projelere kolayca uyarlanabilir.

Sonuç olarak, Xception, derin ayrılmalı konvolüsyonlar sayesinde daha hızlı ve verimli bir yapı sunar. Hem doğruluk hem de hesaplama performansı açısından güçlü bir model olup, modern yapay zekâ uygulamalarında yaygın olarak kullanılır.

DenseNet121: DenseNet121, her katmanın önceki tüm katmanlarla doğrudan bağlantı kurduğu yoğun bağlantılı (dense) bir yapıya sahip derin öğrenme modelidir. Bu mimari, bilgi akışını güçlendirerek modelin daha verimli çalışmasını sağlar ve gradyanların daha kolay iletilmesine olanak tanır. Model, 121 katmandan oluşur ve yoğun bağlantılar sayesinde özelliklerin yeniden kullanımını maksimize eder. Her katmandan çıkan çıktı, sonraki tüm katmanlara giriş olarak bağlanır. Bu yapı, parametre verimliliğini artırırken öğrenmeyi kolaylaştırır ve aşırı öğrenme riskini azaltır. DenseNet121, konvolüsyonel katmanlar, geçiş katmanları ve havuzlama işlemleriyle çalışır. Özellikle parametre sayısının daha az olması, modelin daha hafif ve hızlı bir şekilde eğitilmesini sağlar. Giriş boyutu genellikle 224x224 olarak belirlenmiştir ve ReLU aktivasyon fonksiyonları kullanılır. Performans açısından DenseNet121, ImageNet veri kümesinde %74,9 Top-1 ve %92,2 Top-5 doğruluk oranlarına ulaşır. Precision değeri yüksek olup, bazı durumlarda recall oranları daha düşük kalabilir. DenseNet121, tıbbi görüntü analizi, nesne tanıma ve sınıflandırma gibi çeşitli bilgisayarlı görü uygulamalarında sıkça kullanılır.

MobileNetV2: MobileNetV2, mobil ve gömülü cihazlar gibi düşük hesaplama gücüne sahip sistemlerde çalışmak üzere optimize edilmiş bir derin öğrenme modelidir. Google tarafından geliştirilen bu model, hızlı ve verimli sonuçlar elde etmek için özel tasarım teknikleri kullanır.Modelin temel yapısı, derinlik ayrımlı konvolüsyonlar (depthwise separable convolutions) ve ters doğrusal bağlantılar (inverted residuals) üzerine kuruludur. Derinlik ayrımlı konvolüsyonlar, işlem maliyetini azaltırken özellik çıkarımını optimize eder. Ters doğrusal bağlantılar ise gradyanların etkin şekilde iletilmesini sağlar ve daha derin katmanlarda bilgi kaybını önler. MobileNetV2, 53 katmandan oluşur ve giriş boyutu genellikle 224x224 piksel olarak belirlenir. Lineer aktivasyon fonksiyonları, aşırı uyumu

(overfitting) azaltırken daha hızlı eğitim sağlar. Modelin düşük parametre sayısı ve hafif yapısı, gerçek zamanlı uygulamalarda tercih edilmesini kolaylaştırır.Performans açısından, MobileNetV2, daha küçük ve daha hafif yapısına rağmen makul doğruluk oranları sunar. ImageNet veri kümesinde %71,8 Top-1 ve %91,0 Top-5 doğruluk oranlarına ulaşır. Precision ve recall değerleri, farklı veri kümelerine göre değişkenlik gösterebilir. Uygulama alanları arasında nesne algılama, yüz tanıma, hareket analizi ve mobil uygulamalar yer alır. Transfer öğrenme özelliği sayesinde çeşitli projelere kolayca uyarlanabilir.

Sonuç olarak, MobileNetV2, düşük hesaplama maliyetleri, hızlı işlem kapasitesi ve hafif yapısı ile mobil cihazlar ve gömülü sistemler için ideal bir modeldir. Hem hız hem de doğruluk dengesini sağlayarak pratik uygulamalarda geniş bir kullanım alanına sahiptir.

EfficientNet: EfficientNet, derin öğrenme modellerinde ölçeklendirme (scaling) stratejilerini optimize ederek yüksek performans ve verimlilik sunan bir model ailesidir. Google tarafından geliştirilen bu model, daha fazla katman eklemek yerine genişlik (width), derinlik (depth) ve giriş çözünürlüğünü (resolution) dengeli bir şekilde ölçeklendirerek başarımını artırır.EfficientNet, temel olarak MBConv blokları ve swish aktivasyon fonksiyonu kullanarak verimli hesaplama sağlar. MBConv blokları, dar boğaz (bottleneck) yapıları ve derin ayrımlı konvolüsyonlarla (depthwise separable convolutions) düşük parametre sayısıyla yüksek doğruluk elde eder. Swish fonksiyonu ise doğrusal olmayan aktivasyonları daha etkin hale getirerek gradyanların geçişini kolaylaştırır.

Serideki ilk model olan EfficientNetB0, en küçük ve en hafif modeldir. Daha büyük varyantlar (B1-B7) ise ölçeklendirilmiş versiyonlardır ve daha yüksek doğruluk oranları sunar. Giriş boyutu modelden modele değişmekle birlikte, EfficientNetB0 için 224x224 olarak belirlenmiştir.

Performans açısından, EfficientNet modelleri, ImageNet veri kümesinde %77,1 Top 1 ve %93,3 Top-5 doğruluk oranına ulaşmıştır. Daha büyük modellerde doğruluk oranları %84'e kadar çıkabilir. Ayrıca precision ve recall gibi metriklerde optimize edilmiş sonuçlar verir. Uygulama alanları arasında görüntü sınıflandırma, nesne algılama, tıbbi görüntü analizi ve mobil cihazlar için optimize edilmiş uygulamalar yer alır. Transfer öğrenme desteği sayesinde çeşitli veri kümelerine kolayca uyarlanabilir.

Sonuç olarak, EfficientNet, dengeli ölçeklendirme stratejisi ve parametre verimliliği sayesinde yüksek doğruluk oranları sunan modern bir derin öğrenme modelidir. Hem hızlı hem de hesaplama açısından optimize edilmiş yapısıyla birçok uygulama için ideal bir seçimdir.

EfficientNetB7: EfficientNetB7, EfficientNet ailesinin en büyük ve en güçlü modelidir. Büyük veri kümeleri ve karmaşık görevler için optimize edilmiştir. Dengeli ölçeklendirme stratejisi sayesinde genişlik, derinlik ve çözünürlük boyutlarını uyumlu bir

şekilde artırarak yüksek performans sunar.Bu model, MBConv blokları ve swish aktivasyon fonksiyonu kullanarak daha az parametreyle yüksek doğruluk sağlar.

Parametre verimliliği sayesinde hesaplama maliyetlerini optimize ederken, daha büyük giriş boyutları ile ayrıntılı bilgi çıkarımı yapabilir. EfficientNetB7, yaklaşık 66 milyon parametre içerir ve 600x600 piksel giriş boyutu ile çalışır.Performans açısından EfficientNetB7, ImageNet veri kümesinde %84.4 Top-1 ve %97.1 Top-5 doğruluk oranlarına ulaşarak en yüksek doğruluk oranlarından birini sunar. Precision ve recall değerleri de oldukça iyidir ve genel sınıflandırma performansında üst düzey sonuçlar sağlar.

EfficientNetB7, tıbbi görüntü analizi, nesne algılama, otonom sürüş ve uydu görüntü işleme gibi karmaşık ve yüksek doğruluk gerektiren görevlerde kullanılır. Transfer öğrenme desteği sayesinde farklı veri kümelerine kolayca uyarlanabilir. Sonuç olarak, EfficientNetB7, büyük veri kümeleri ve yüksek doğruluk gerektiren projeler için optimize edilmiş, güçlü ve etkili bir modeldir. Özellikle yüksek hesaplama gücü gerektiren uygulamalarda yüksek başarı sağlar.

NASNetLarge: NASNetLarge, Neural Architecture Search (NAS) algoritması kullanılarak otomatik olarak tasarlanmış bir derin öğrenme modelidir. Bu model, mimarisini optimize etmek için arama algoritmaları kullanarak insan müdahalesi olmadan en iyi yapıyı oluşturur. Özellikle büyük veri kümeleri ve karmaşık görevler için geliştirilmiştir.Model, daha geniş katmanlar ve derin bağlantılar ile ayrıntılı özellik çıkarımı yapar. Böylece yüksek doğruluk oranları elde ederken, karmaşık yapıları öğrenme kapasitesi de artar. NASNetLarge, mimarisinde blok tabanlı bir yapı kullanarak modüler ve esnek bir tasarım sunar.Giriş boyutu 331x331 piksel olan NASNetLarge, büyük parametre sayısı ve detaylı hesaplamalarıyla yüksek doğruluk sağlar. Ancak bu yüksek doğruluk oranları, modelin yüksek hesaplama gücü ve bellek gereksinimi duymasına neden olur.Performans açısından, NASNetLarge, ImageNet veri kümesinde %82.7 Top-1 ve %96.2 Top-5 doğruluk oranlarına ulaşır. Precision ve recall değerlerinde de tutarlı ve yüksek sonuçlar verir. Bu model, tıbbi görüntü analizi, nesne algılama, yüz tanıma ve büyük ölçekli sınıflandırma gibi uygulamalarda yaygın olarak kullanılır. Transfer öğrenme desteği sayesinde farklı veri kümelerine kolayca uyarlanabilir.

Sonuç olarak, NASNetLarge, otomatik mimari tasarımı ve yüksek doğruluğu ile büyük ve karmaşık projeler için güçlü bir çözümdür. Ancak yüksek hesaplama maliyetleri nedeniyle daha güçlü donanımlar gerektirir ve bu durum küçük ölçekli projeler için sınırlayıcı olabilir.

NASNetMobile: NASNetMobile, Neural Architecture Search (NAS) algoritması kullanılarak tasarlanan NASNet mimarisinin mobil cihazlara özel optimize edilmiş versiyonudur. Bu model, düşük kaynak kullanımı ve yüksek verimlilik gerektiren görevler için geliştirilmiştir. Özellikle mobil cihazlar, gömülü sistemler ve gerçek zamanlı

uygulamalar için uygundur. Model, daha küçük boyutu ve optimize edilmiş yapısıyla hızlı işlem süreleri ve düşük gecikme sağlar. 224x224 piksel giriş boyutuyla çalışır ve modüler blok tasarımı sayesinde bilgi akışını verimli bir şekilde işler. Derin öğrenme görevlerinde yüksek doğruluk oranları elde ederken, düşük enerji tüketimi ve hafif yapısıyla dikkat çeker.

Performans açısından, NASNetMobile, ImageNet veri kümesinde %74,3 Top 1 ve %91,6 Top-5 doğruluk oranlarına ulaşır. Precision ve recall değerleriyle dengeli sonuçlar sunarak mobil uygulamalarda etkili bir performans gösterir.Bu model, yüz tanıma, nesne algılama, hareket izleme ve artırılmış gerçeklik (AR) gibi uygulamalarda yaygın olarak kullanılır. Düşük işlem gücüne sahip cihazlarda verimli çalıştığı için taşınabilir projelerde sıkça tercih edilir. Sonuç olarak, NASNetMobile, hafif ve optimize edilmiş yapısıyla mobil Cihazlar ve düşük kaynaklı sistemler için güçlü bir seçenek sunar. Hem doğruluk hem de hız dengesi ile modern uygulamalarda geniş bir kullanım alanına sahiptir.

MobileNetV3Large: MobileNetV3Large, mobil cihazlar, gömülü sistemler ve düşük hesaplama kapasitesine sahip ortamlarda derin öğrenme uygulamalarını mümkün kılmak üzere geliştirilen, son derece optimize edilmiş bir konvolüsyonel sinir ağı (CNN) mimarisidir. Bu model, selefi olan MobileNetV2 üzerine inşa edilerek hem doğruluk hem de işlem maliyeti bakımından önemli iyileştirmeler sunar. Google tarafından geliştirilen MobileNet ailesinin en gelişmiş üyelerinden biri olan MobileNetV3Large, özellikle gerçek zamanlı uygulamalarda yüksek performans gösterme yeteneği ile dikkat çeker.

Modelin en dikkat çekici özelliklerinden biri, hardswish adı verilen aktivasyon fonksiyonunun kullanılmasıdır. Bu fonksiyon, geleneksel ReLU ve swish fonksiyonlarının avantajlarını bir araya getirerek daha hızlı ve etkili öğrenme sağlamaktadır. Ayrıca, modelde yer alan squeeze-and-excitation (SE) blokları, kanal bazlı dikkat mekanizmaları ile özellik haritalarının önemli kısımlarını ön plana çıkararak sınıflandırma performansını artırır. Bu tür yapılar, modelin yalnızca hafif değil aynı zamanda akıllı ve duyarlı bir şekilde çalışmasını mümkün kılar.

MobileNetV3Large, derinlik ayrımlı konvolüsyonlar (depthwise separable convolutions) kullanarak geleneksel konvolüsyon işlemlerine göre parametre ve işlem sayısını büyük ölçüde azaltır. Bu yöntem, özellikle sınırlı kaynaklara sahip cihazlarda önemli ölçüde enerji ve hız kazancı sağlar. Ayrıca network architecture search (NAS) gibi otomatik mimari optimizasyon teknikleri ile geliştirilen yapısı, insan eliyle tasarlanan mimarilere kıyasla daha etkili ve dengeli çözümler sunar.

Model, ImageNet gibi büyük çaplı görsel veri kümelerinde yapılan değerlendirmelerde oldukça başarılı sonuçlar elde etmiştir. Bu oranlar, modelin yalnızca hafif yapısından değil, aynı zamanda yüksek doğruluk potansiyelinden de ödün vermediğini göstermektedir.

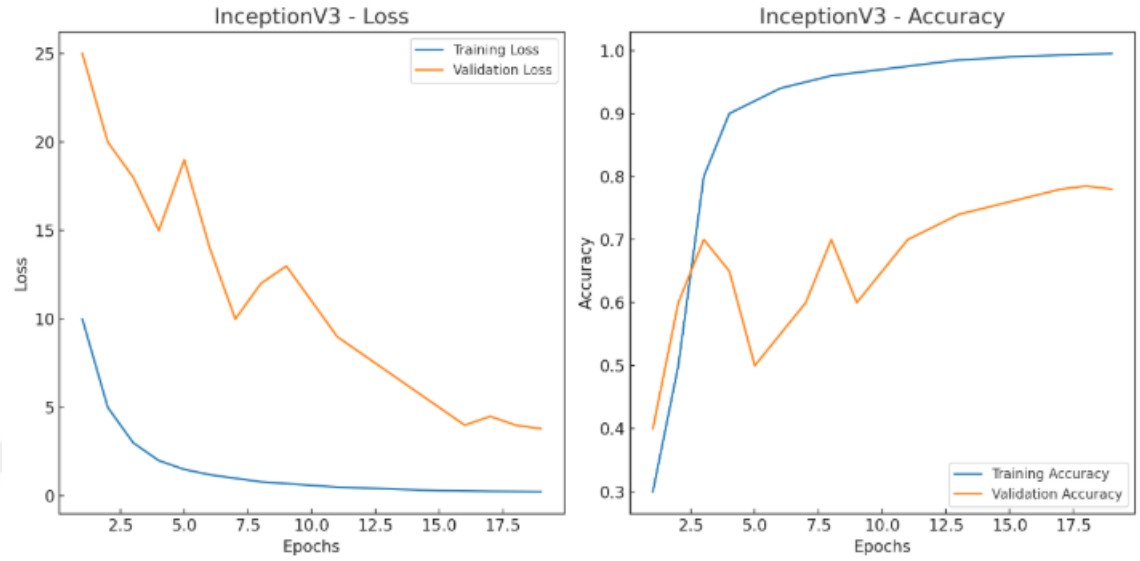

(a) **(b)**

Şekil 4.2. **a)** InceptionV3 Modeli Eğitim Kaybı Grafiği; **b)** InceptionV3 Modeli Eğitim Doğruluk Grafiği

Şekil 4.2, InceptionV3 modelinin eğitim sürecini gösteren iki grafikten oluşur:

a) **Eğitim Kaybı Grafiği**: Modelin eğitim sırasında kayıp fonksiyonunun nasıl azaldığını gösterir. Kayıp değeri azaldıkça model daha doğru tahminler yapar.

b) **Eğitim Doğruluk Grafiği**: Modelin eğitim verisi üzerindeki doğruluğunun arttığını gösterir. Doğruluk oranı yükseldikçe model daha başarılı olur.

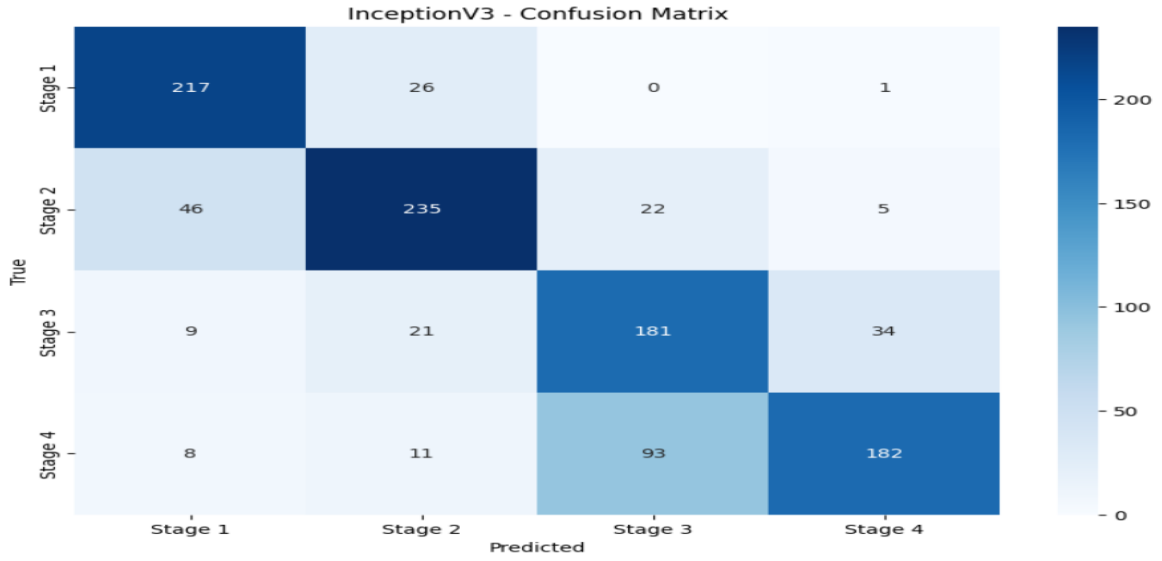

Şekil 4.3. InceptionV3 Modeli Confusion Matrix

Şekil 4.3, bu matris, InceptionV3 modelinin dört evreli sınıflandırma görevindeki performansını görsel olarak ortaya koymaktadır. Diyagonal hat üzerindeki yüksek değerler, modelin doğru sınıflandırma yaptığı örnekleri temsil etmektedir. Bu, modelin belirli aşamalarda doğru tahminler yaptığına işaret eder. Ancak, diyagonal dışındaki yüksek değerler, modelin bazı aşamaları karıştırma eğiliminde olduğunu gösterir. Özellikle evre 3 ve evre 4 arasındaki yanlış sınıflandırmalar daha belirgindir, bu da modelin bu iki aşamayı ayırt etmekte zorlandığını gösterir. Bu durum, modelin evre 3 ve evre 4 arasındaki sınıflandırma farklarını tam olarak öğrenemediğini ve bazı benzer özelliklere sahip örnekleri yanlış sınıflandırdığını düşündürmektedir. Bu tür hatalar, modelin özellikleri yeterince iyi genellemediğini ve aşamalar arasındaki farklılıkları net bir şekilde ayrıştıramadığını gösterir. Bu sorunu ele almak için, özellikle bu iki aşamayı hedefleyen ek veri artırma yöntemleri uygulanabilir. Ayrıca, modelin parametreleri ve yapısı üzerinde yapılan iyileştirmelerle, bu tür karışıklıkların önüne geçilebilir. Ayrıca, yanlış sınıflandırma yapılan örneklerin daha detaylı analiz edilmesi, modelin hangi özelliklerde zorlandığını ve hangi verilerin daha fazla çeşitlendirilmeye ihtiyaç duyduğunu anlamamıza yardımcı olabilir. Bu, evre 3 ve evre 4 arasındaki farkları daha iyi öğrenmesini sağlayacak stratejiler geliştirilmesine olanak tanır. Bu şekilde, modelin genelleme yeteneği artırılabilir ve performansı daha da iyileştirilebilir.

Şekil 4.4. **a)** InceptionResNetV2 Modeli Eğitim Kayıp Grafiği; **b)** InceptionResNetV2 Modeli Eğitim Doğruluk Grafiği

Şekil 4.4, InceptionResNetV2 modelinin eğitim performansını özetler:

4.4(a) (Kayıp): Eğitim kaybı düşerken, doğrulama kaybı dalgalı seyreder ve aşırı uyum (overfitting) belirtisi gösterir. •

4.4(b) (Doğruluk): Eğitim doğruluğu artar, ancak doğrulama doğruluğu dalgalı olup, modelin genelleme sorunları yaşadığı gözlemlenir.

Bu kullanım, her iki grafikle ilgili açıklamaları açık ve doğru bir şekilde sunuyor.

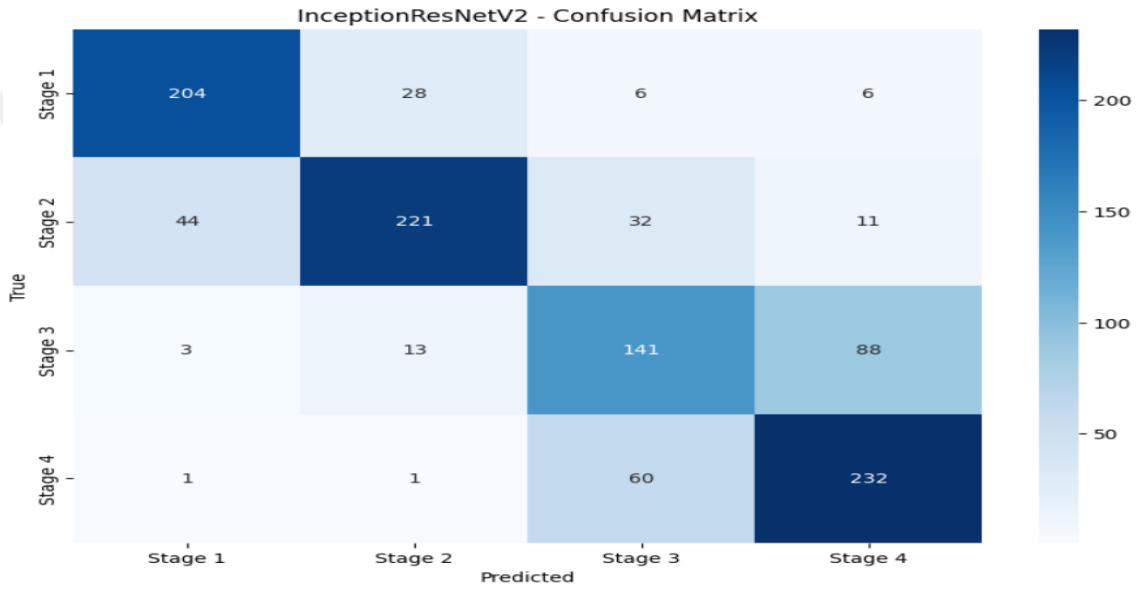

Şekil 4.5. InceptionResNetV2 Modeli Confusion Matrix

Şekil 4.5, InceptionResNetV2 modelinin dört evreli sınıflandırma görevindeki performansını görsel olarak sunan bir konfüzyon matrisidir. Diyagonal üzerindeki yüksek değerler, modelin genel olarak doğru tahminler yaptığını gösterir. Yani, model, her bir evre için doğru sınıflandırmalar yapabilmektedir ve bu durum, modelin doğru sonuçlar elde etme konusunda güvenilir olduğunu işaret eder. Ancak, matrisin diyagonal dışındaki yüksek değerler, modelin bazı aşamalarda yanlış sınıflandırmalar yaptığını gösterir. Özellikle evre 3 ve evre 4 arasındaki hatalar, bu iki evrenin birbiriyle karıştığını ve modelin bu aşamaları ayırt etmekte zorluk yaşadığını ortaya koymaktadır. Diyagonal dışında evre 3 ve evre 4 için yanlış sınıflandırmaların yüksek olduğu görülmektedir, bu da modelin bu iki aşamanın arasındaki farkları yeterince iyi öğrenemediği anlamına gelir. Bu tür karışıklıklar, evre 3 ve evre 4'ün benzer görsel özelliklere sahip olmasından kaynaklanabilir ve modelin bu benzerlikleri tam olarak kavrayamamasına yol açabilir. Öte yandan, evre 1 ve evre 2 için diyagonal üzerindeki değerlerin yüksek olması, modelin bu aşamaları doğru sınıflandırmada daha başarılı olduğunu gösterir. Bu evreler arasında karışıklık yaşanmadığı ve modelin her iki aşamayı da

başarıyla ayırt ettiği anlaşılmaktadır. Bu durumu iyileştirmek için, özellikle evre 3 ve evre 4 arasındaki sınıflandırma farklarını daha belirgin hale getirecek stratejiler geliştirilebilir. Örneğin, bu evrelerin sınıflandırılmasını iyileştirebilmek için ek veri artırma teknikleri uygulanabilir ya da modelin özellik çıkarım aşamasında yapılan iyileştirmelerle, bu aşamalar arasındaki farkların daha net bir şekilde öğrenilmesi sağlanabilir. Bu tür hata türlerinin çözülmesi, modelin genelleme yeteneğini artırabilir ve sınıflandırma doğruluğunu yükseltebilir.

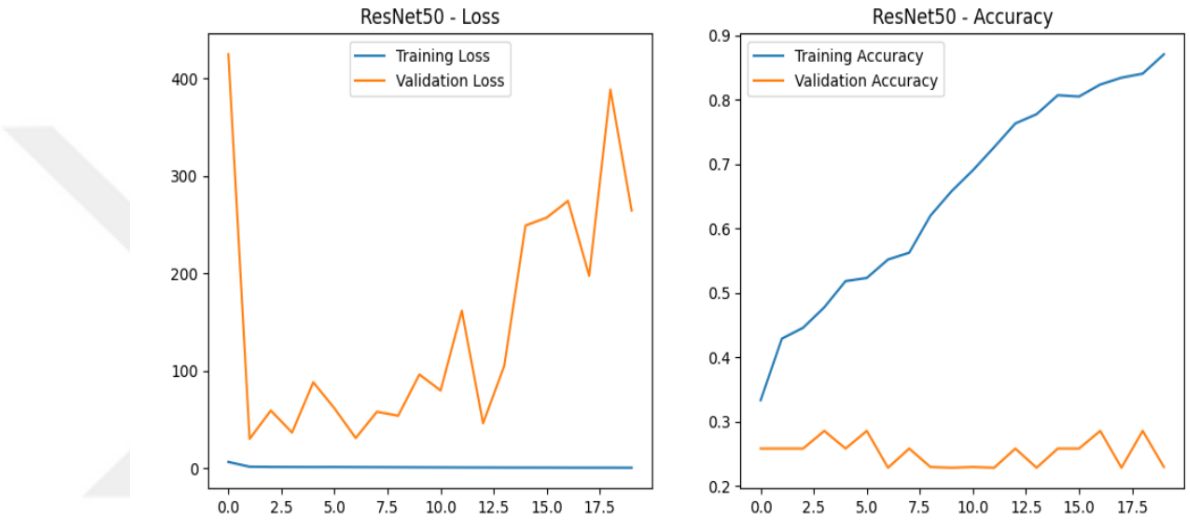

Şekil 4.6. **a)** ResNet50 Modeli Eğitim Kaybı Grafiği; **b)** ResNet50 Modeli Eğitim Doğruluk Grafiği

Şekil 4.6(a) ve (b) grafiklerine göre, **ResNet50** modelinin eğitim süreci boyunca eğitim verileri üzerinde oldukça yüksek doğruluk oranlarına ulaştığı gözlemlenmektedir. Bu durum, modelin eğitim kümesini başarıyla öğrendiğini ve sınıflandırma görevini bu veriler üzerinde etkin bir şekilde yerine getirdiğini göstermektedir. Ancak aynı modelin doğrulama veri kümesi üzerindeki performansı, eğitim doğruluğuna kıyasla oldukça düşüktür ve beklenen seviyede genelleme sağlayamadığı görülmektedir. Bu durum, derin öğrenme modellerinde sıklıkla karşılaşılan **aşırı uyum (overfitting)** problemine işaret etmektedir.

Aşırı uyum, bir modelin eğitim verisindeki örüntüleri ve istisnaları gereğinden fazla öğrenmesi sonucunda ortaya çıkar. Bu öğrenme süreci sırasında model, verideki gürültüyü ya da tesadüfi ilişkileri de öğrenebilir; bu da modelin, daha önce görmediği yeni veri örnekleriyle karşılaştığında başarısız olmasına neden olur. ResNet50 modelinde gözlemlenen bu durum da, eğitim ve doğrulama doğrulukları arasındaki belirgin farkla kendini göstermektedir. Model adeta eğitim verisini "ezberlemiş", ancak bu bilginin genelleştirilmesi konusunda yetersiz kalmıştır.

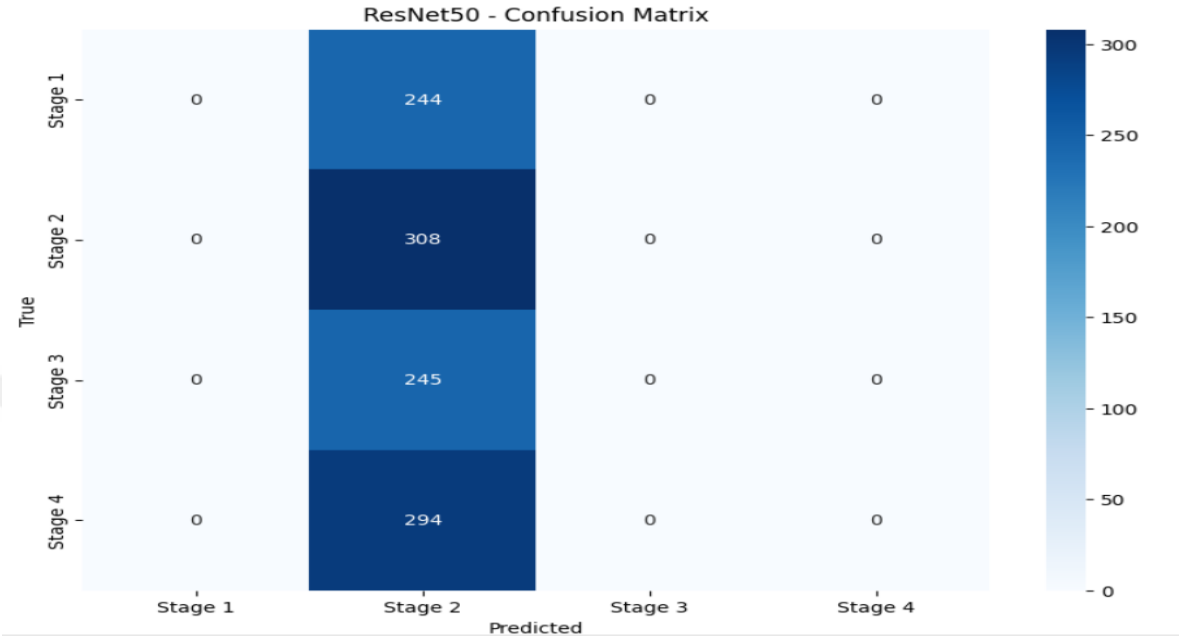

Şekil 4.7. ResNet50 Modeli Confusion Matrix

Şekil 4.7, ResNet50 modelinin dört aşamalı sınıflandırma görevindeki başarısını gösteren bir konfüzyon matrisidir. Bu matris, modelin tüm görüntüleri evre 2 olarak sınıflandırdığını ve diğer aşamaları doğru bir şekilde ayırt edemediğini ortaya koymaktadır. Diyagonal üzerinde yalnızca evre 2'ye ait yüksek değerler bulunurken, diğer aşamalar için (evre 1, evre 3 ve evre 4) diyagonal dışında çok düşük değerler gözlemlenmektedir. Bu durum, modelin evre 1, evre 3, ve evre 4'ü tamamen yanlış sınıflandırdığını ve yalnızca evre 2'yi doğru tahmin ettiğini göstermektedir. Bu tür bir sonuç, genellikle aşırı uyum (overfitting) veya veri dengesizliği gibi sorunlardan kaynaklanır. Aşırı uyum, modelin eğitim verisine çok iyi uyum sağladığı ancak yeni ve farklı verilerle karşılaştığında doğru tahminlerde bulunamadığı bir durumdur. Bu durumda model, belirli bir sınıfı (bu örnekte evre 2) ezbere öğrenmiş, ancak diğer sınıfları ayırt edebilme yeteneğini kaybetmiştir. Ayrıca, eğitim verilerinin evre 2 sınıfına diğer sınıflardan daha fazla örnek içeriyor olması, modelin bu sınıfı öğrenme eğiliminde olmasına yol açmış olabilir. Bu veri dengesizliği de modelin diğer aşamaları öğrenme konusunda zorlanmasına neden olabilir. Bu durumu iyileştirmek için çeşitli stratejiler uygulanabilir: Veri Artırma (Data Augmentation), modelin daha çeşitli ve geniş bir veri kümesi ile eğitilmesini sağlayarak genelleme yeteneğini artırabilir. Özellikle, evre 1, evre 3, ve evre 4 için daha fazla veri örneği oluşturulabilir. Sınıf Dengesi (Class Balance), eğitim verisinin dengelenmesi, modelin her sınıfı eşit şekilde öğrenmesini sağlar. evre 1, evre 3, ve evre 4 için daha fazla veri ekleyerek, her sınıfın eşit oranda temsil edilmesi sağlanabilir. Hiperparametre Optimizasyonu (Hyperparameter Optimization), modelin

hiperparametreleri üzerinde yapılacak iyileştirmeler (örneğin, öğrenme oranı, modelin katman sayısı, aktivasyon fonksiyonları) modelin genelleme yeteneğini artırabilir. Özellikle, modelin öğrenme süreci sırasında erken durdurma (early stopping) veya düzenlileştirme teknikleri (regularization) kullanılarak aşırı uyumun önüne geçilebilir. Daha Derin Modeller veya Transfer Öğrenme, modelin kapasitesi sınırlıysa, daha derin bir ağ mimarisi kullanılabilir. Ayrıca, transfer öğrenme (pre-trained models) kullanılarak, daha önce büyük ve farklı veri kümeleriyle eğitilmiş modellerle başlanarak, bu modellerin daha iyi genelleme yapması sağlanabilir. Daha Fazla Eğitim Verisi, modelin daha fazla ve dengeli eğitim verisiyle eğitilmesi, aşırı uyum ve genelleme sorunlarını çözmek için etkili bir yaklaşım olabilir. Bu adımlar, modelin doğru sınıflandırmalar yapabilmesini sağlarken, özellikle evre 1, evre 3 ve evre 4'ün doğru tahmin edilmesine yardımcı olabilir. Modelin genelleme yeteneğini artırarak, daha başarılı sonuçlar elde etmek mümkün olacaktır.

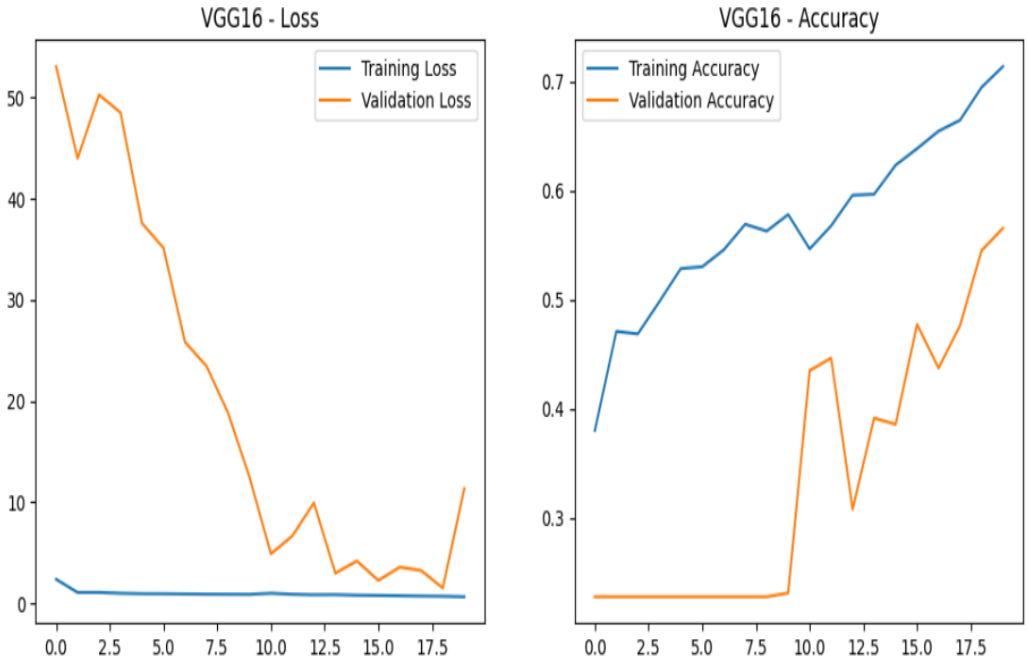

Şekil 4.8. **a)** VGG16 Modeli Eğitim Kaybı Grafiği; **b)** VGG16 Modeli Eğitim Doğruluk Grafiği

Şekil 4.8, VGG16 modelinin eğitim performansını özetler:

• 4.8(a) (Kayıp): Eğitim kaybı çok düşük ve sabit, doğrulama kaybı dalgalı ve yüksek, aşırı uyum belirtisi var.

4.8(b) (Doğruluk): Eğitim doğruluğu yüksek ve artıyor, doğrulama doğruluğu düşük ve dalgalı, genelleme sorunu var

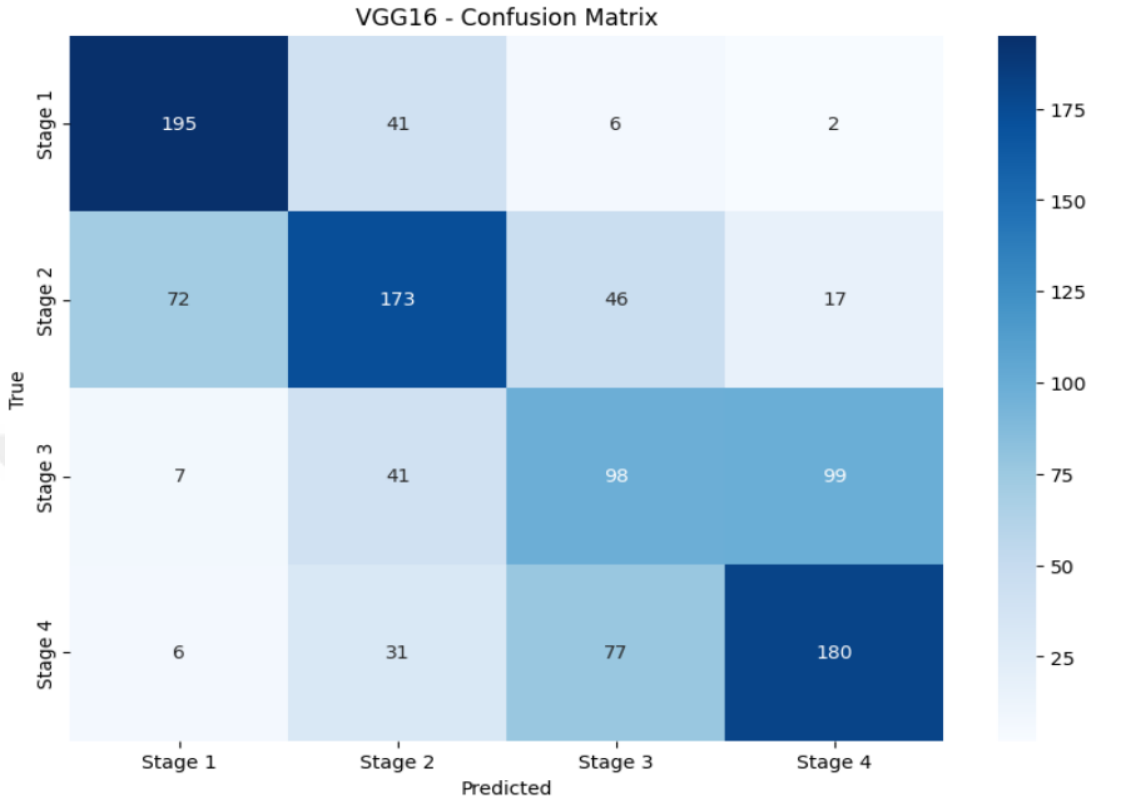

Şekil 4.9. VGG16 Modeli Confusion Matrix

Şekil 4.9, VGG16 modelinin evre bazlı sınıflandırma performansını detaylı bir şekilde ortaya koymaktadır. Görselde yer alan **karışıklık matrisi (confusion matrix)** incelendiğinde, modelin **evre 1** ve **evre 4** sınıflarını yüksek doğrulukla tanıyabildiği, ancak **evre 2** ve **evre 3** arasında belirgin bir karışıklık yaşadığı açıkça görülmektedir. Diyagonal üzerindeki yüksek değerler, modelin bu sınıflarda yaptığı doğru sınıflandırmaları temsil ederken; diyagonal dışındaki yüksek değerler, modelin tahmin hatalarını ve sınıflar arası karışıklığı göstermektedir. Özellikle evre 2 ve evre 3 arasında sıkça gözlemlenen çapraz sınıflandırmalar, modelin bu iki sınıfı ayırt etmede zorlandığını göstermektedir.

Bu karışıklığın çeşitli nedenleri olabilir. İlk olarak, **evre 2 ve evre 3**'ün görsel özellikleri birbirine oldukça benzer olabilir. Örneğin, her iki evrede de lezyonlar belirli bir boyuta ulaşmış olabilir ya da renk, doku ve şekil gibi görsel ipuçları açısından sınırlı farklılıklar içerebilir. Bu durum, modelin sınıflar arasında ayrım yapmasını zorlaştırır. Derin öğrenme modelleri, özellikle VGG16 gibi sabit mimarilere sahip modeller, bu tür ince ayrımları yakalamakta güçlük çekebilir. Bu bağlamda, modelin daha hassas özellikleri öğrenebilmesi için mimari iyileştirmeler ya da alternatif modellerin denenmesi gerekebilir.

Şekil 4.10. **a)** Xception Modeli Eğitim Kaybı Grafiği; **b)** Xception Modeli Eğitim Doğruluk Grafiği

Şekil 4.10, Xception modelinin eğitim sürecindeki performansını özetlemektedir:

- 4.10(a) (Kayıp): Eğitim kaybı istikrarlı bir şekilde azalarak modelin veriyi başarıyla öğrendiğini göstermektedir. Doğrulama kaybı ise zaman zaman dalgalanmalar gösterse de genel olarak kabul edilebilir düzeydedir. Bu durum, modelin aşırı uyum göstermeden genelleme yeteneği kazandığını düşündürmektedir.
- 4.10(b) (Doğruluk): Eğitim doğruluğu hızla yükselerek yüksek değerlere ulaşmıştır. Doğrulama doğruluğu da artış eğilimindedir; bu da modelin sadece eğitim verisi değil, görmediği veriler üzerinde de başarı sağladığını göstermektedir.

Genel olarak grafikler, Xception modelinin etkili ve istikrarlı bir öğrenme süreci geçirdiğini, hem eğitim verisi üzerinde yüksek doğruluk elde ettiğini hem de doğrulama verileri karşısında makul düzeyde genelleme başarısı gösterdiğini ortaya koymaktadır. Modelin doğruluk-performans dengesini koruyarak aşırı uyumdan kaçınması, eğitim sürecinin kontrollü ve verimli geçtiğini göstermektedir. Özellikle eğitim kaybındaki düzenli azalma ve doğruluk değerlerindeki artış, modelin parametrelerini doğru yönde güncellediğini ve öğrenme sürecinin sağlıklı ilerlediğini ifade etmektedir.

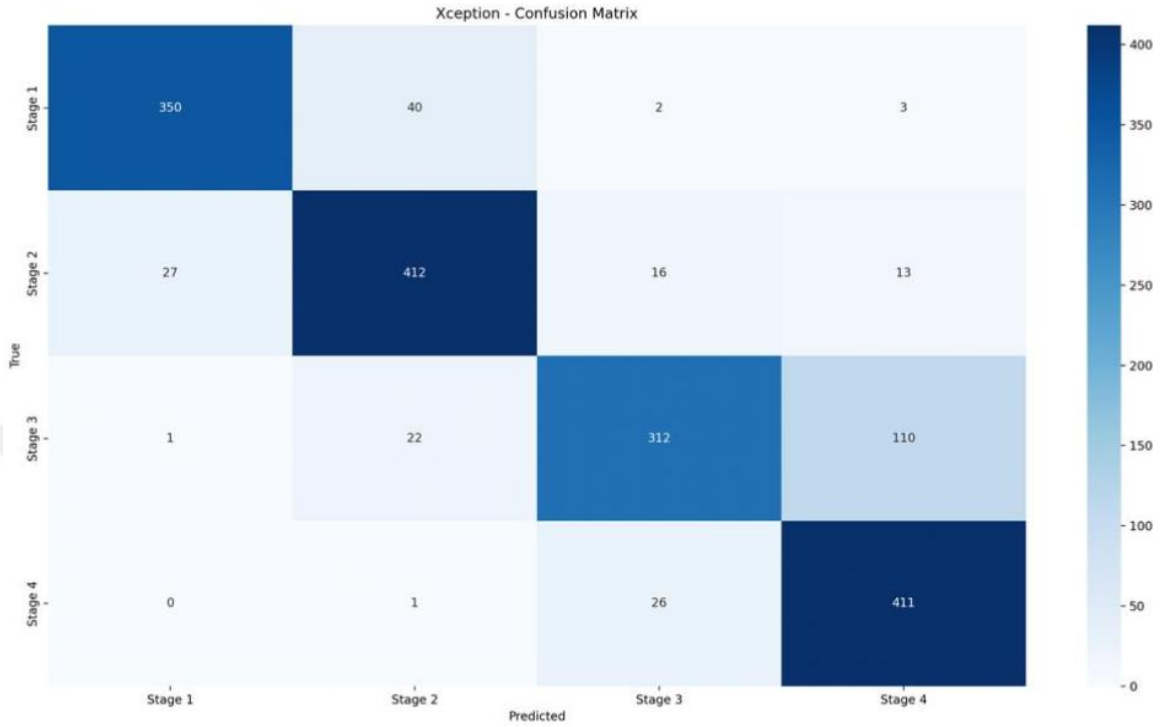

Şekil 4.11. Xception Modeli Confusion Matrix

Şekil 4.11, Xception modelinin dört evreli sınıflandırma performansını özetleyen karmaşıklık matrisini göstermektedir. Model, genel olarak yüksek doğruluk oranları ile başarılı sınıflandırmalar yapmaktadır ve sınıflar arasındaki ayrımı çok iyi bir şekilde yapmaktadır. evre 1 ve evre 2 sınıflarında oldukça yüksek doğruluk oranları gözlemlenmektedir. Bu sınıflarda model, neredeyse tüm örnekleri doğru şekilde sınıflandırmıştır. Bu, modelin bu iki evre arasındaki farkları başarıyla ayırt edebilme yeteneğini ortaya koymaktadır. evre 3 ve evre 4 sınıflarında da model büyük bir doğrulukla doğru tahminlerde bulunmuş ve her iki evre arasındaki ince farkları ayırt edebilme konusunda başarılı olmuştur. Bu durum, modelin daha karmaşık sınıflama görevlerinde de etkili olduğunu göstermektedir. Yanlış sınıflandırmalar genellikle birbirine yakın aşamalar arasında görülmektedir. Özellikle, evre 3 ve evre 4 gibi benzer özelliklere sahip sınıflar arasında yapılan yanlış sınıflandırmalar, modelin sınıfların arasındaki küçük ama önemli farkları anlamaya çalıştığının bir göstergesidir. Bu, modelin detaylı bir şekilde öğrenme sürecinden geçtiğini ve her bir aşamayı doğru bir şekilde ayırt etmek için yeterli bilgiye sahip olduğunu işaret eder. Sonuç olarak, Xception modelinin karmaşıklık matrisinden elde edilen sonuçlar, modelin genel olarak yüksek performans sergilediğini ve sınıflandırma görevinde büyük ölçüde başarılı olduğunu açıkça ortaya koymaktadır. Model, tüm aşamalarda oldukça dengeli bir performans sergileyerek, sınıflar arasındaki farkları doğru bir şekilde analiz etmeyi başarmıştır.

Şekil 4.12. **a)** DenseNet121 Modeli Eğitim Kaybı Grafiği; **b)** DenseNet121 Modeli Eğitim Doğruluk Grafiği

Şekil 4.12, DenseNet121 modelinin eğitim performansını özetler:

• 4.12(a) (Kayıp): Grafik incelendiğinde, eğitim kaybının eğitim süreci boyunca istikrarlı bir şekilde azaldığı görülmektedir. Bu azalma, modelin eğitim verisini giderek daha iyi öğrendiğini ve hatalarını minimize ettiğini göstermektedir. Doğrulama kaybı ise bazı dalgalanmalar içerse de genel olarak düşük seviyelerde seyretmektedir. Bu durum, modelin doğrulama verisi üzerinde de kabul edilebilir bir başarı sergilediğine ve aşırı uyuma düşmeden öğrenme gerçekleştirdiğine işaret etmektedir.

4.12(b) (Doğruluk): Eğitim doğruluğundaki belirgin artış, modelin öğrenme sürecinde etkili bir şekilde ilerlediğini ortaya koymaktadır. Bununla birlikte, doğrulama doğruluğunun da eğitim doğruluğuna paralel bir şekilde artması ve bu iki eğrinin birbirine yakın seyretmesi, modelin genelleme kabiliyetinin yüksek olduğunu ve yeni, görülmemiş veriler üzerinde de başarılı tahminler yapabildiğini göstermektedir.

Genel olarak grafikler, DenseNet121 modelinin hem eğitim hem de doğrulama verileri üzerinde dengeli ve başarılı bir performans sergilediğini ortaya koymaktadır. Bu durum, modelin overfitting eğiliminden uzak durduğunu ve elde edilen sonuçların güvenilir olduğunu düşündürmektedir. Eğitim süreci boyunca uygulanan parametre ayarlarının ve eğitim stratejisinin etkili olduğu, ancak gelecekteki çalışmalar için erken durdurma, düzenlileştirici yöntemler ya da öğrenme oranı ayarlamaları gibi stratejilerle modelin daha da iyileştirilebileceği söylenebilir.

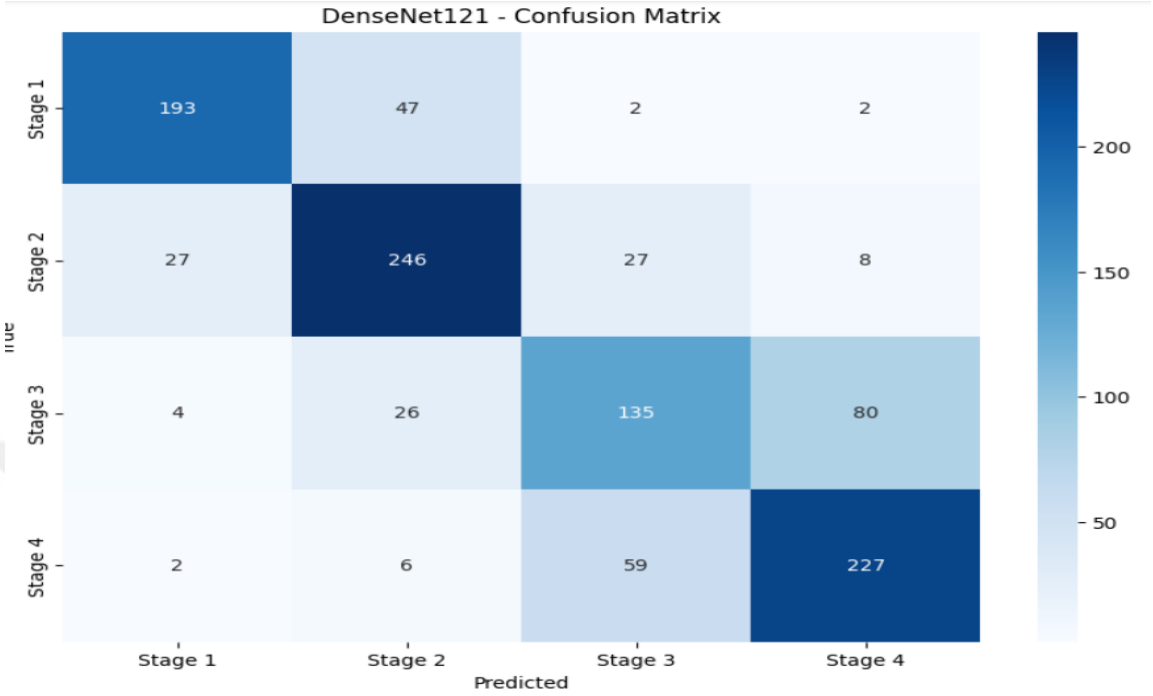

Şekil 4.13. DenseNet121 Modeli Confusion Matrix

Şekil 4.13, DenseNet121 modelinin dört evreli bir sınıflandırma probleminde göstermiş olduğu performansı, bir karmaşıklık matrisi (confusion matrix) üzerinden detaylı bir şekilde özetlemektedir. Bu matris, modelin her sınıfa ait tahminlerini gerçek sınıf etiketleriyle karşılaştırarak hangi durumlarda başarılı, hangi durumlarda ise hatalı sınıflandırmalar yaptığını görselleştirmektedir.

Model, özellikle Evre 1, Evre 2 ve Evre 4 sınıflarında yüksek doğruluk oranlarıyla dikkat çekmektedir. Bu sınıflara ait hücrelerdeki diyagonal üzerinde yer alan yüksek değerler, modelin bu evreleri doğru bir şekilde ayırt ettiğini ve bu sınıflarda yüksek başarıyla tahminlerde bulunduğunu açıkça ortaya koymaktadır. Bu da modelin, belirgin görsel farklılıklar içeren bu evrelerde etkili özellik çıkarımı yapabildiğini ve öğrenme sürecinde bu sınıflara ait örüntüleri iyi öğrendiğini göstermektedir.

Bununla birlikte, Evre 3 ile Evre 4 sınıfları arasında belirli düzeyde karışıklıklar gözlemlenmektedir. Karmaşıklık matrisinde diyagonal dışındaki hücrelerde yer alan görece yüksek değerler, modelin bu iki evreyi zaman zaman birbiriyle karıştırdığını ve yanlış sınıflandırmalarda bulunduğunu göstermektedir. Bu durum, söz konusu evrelerin görsel olarak benzer yapılar taşıması, sınıflar arasında net bir ayrım olmaması ya da bu evrelere ait örneklerin eğitim verisi içinde dengesiz dağılmış olması gibi çeşitli faktörlerden kaynaklanabilir.

Genel olarak değerlendirildiğinde, DenseNet121 modeli geniş sınıflandırma kabiliyetine sahip güçlü bir yapay sinir ağı mimarisi olarak öne çıkmaktadır. Model, çoğu durumda doğru sınıflandırmalar yaparak dengeli bir performans sergilemekte, ancak Evre 3 gibi daha belirsiz sınıflarda ayrım gücünü artırmak adına ek iyileştirmelere ihtiyaç duymaktadır. Bu kapsamda, modelin genel doğruluk oranını artırmak ve sınıflar arası ayrımı güçlendirmek amacıyla veri artırma (data augmentation), sınıf dengeleme (class balancing), özellik mühendisliği ve hiperparametre optimizasyonu gibi ileri düzey yöntemlerin uygulanması faydalı olabilir. Ayrıca, modelin sınıflandırma yeteneğini artırmak için farklı derinlikte katmanlara sahip alternatif mimarilerle karşılaştırmalı analizler yapılması da gelecekteki çalışmalar açısından önemli bir katkı sağlayacaktır.

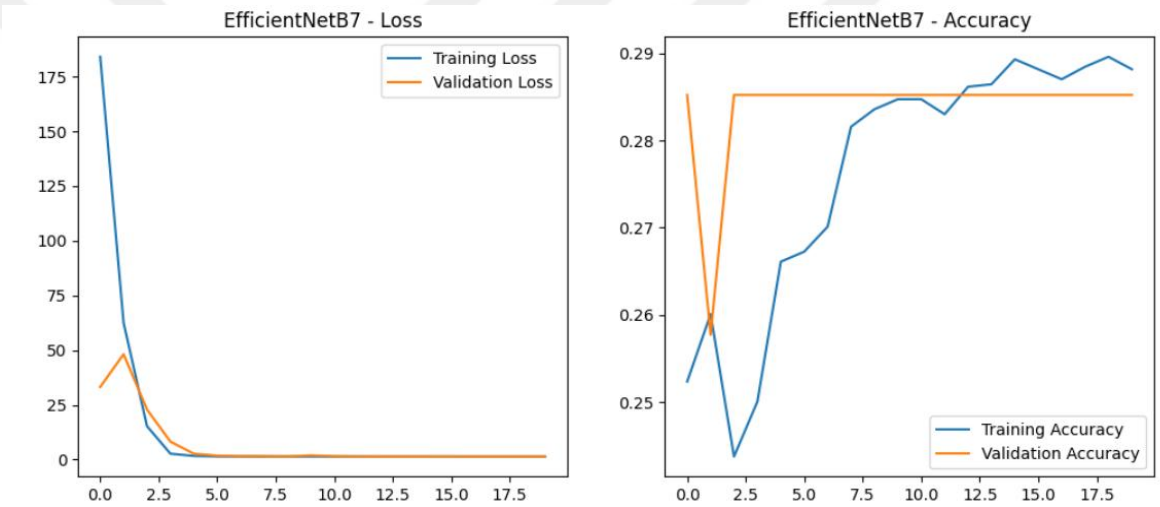

Şekil 4.14. **a)** EfficientNetB7 Modeli Eğitim Kaybı Grafiği; **b)** EfficientNetB7 Modeli Eğitim Doğruluk Grafiği

Şekil 4.14, EfficientNetB7 modelinin eğitim performansını özetler:

• 4.14(a) (Kayıp): Grafik incelendiğinde, eğitim kaybının sürecin başından itibaren hızla düştüğü ve belirli bir noktadan sonra stabil hale geldiği görülmektedir. Doğrulama kaybı da benzer şekilde düşüş göstererek eğitim kaybına yakın bir seviyeye ulaşmaktadır. Bu durum, modelin eğitim verilerini etkili bir şekilde öğrendiğini ve doğrulama verisi üzerinde de benzer şekilde iyi bir uyum sağladığını göstermektedir. Hem eğitim kaybı hem de doğrulama kaybı arasındaki bu yakınlık, modelin aşırı uyum (overfitting) yapmadığını ve veri üzerinde genelleme yeteneğini koruduğunu işaret etmektedir.

4.14(b) (Doğruluk): Eğitim doğruluğu grafiğinde, modelin eğitim süreci boyunca doğruluğunun hızla arttığı ve yüksek seviyelere ulaştığı gözlemlenmektedir. Doğrulama doğruluğu ise eğitim doğruluğuyla paralel bir şekilde artmakta olup, her iki eğri de birbirine

yakın seyretmektedir. Bu, modelin doğrulama verisi üzerinde de yüksek performans sergilediğini ve yeni verilerle karşılaştığında genelleme yeteneğini başarılı bir şekilde kullanabildiğini gösterir. Eğitim ve doğrulama doğruluğu arasındaki bu benzerlik, modelin sadece eğitim verisini ezberlemekle kalmayıp, eğitim dışı verilere de yüksek doğrulukla uyum sağladığını, yani iyi bir genelleme performansı sergilediğini kanıtlamaktadır.

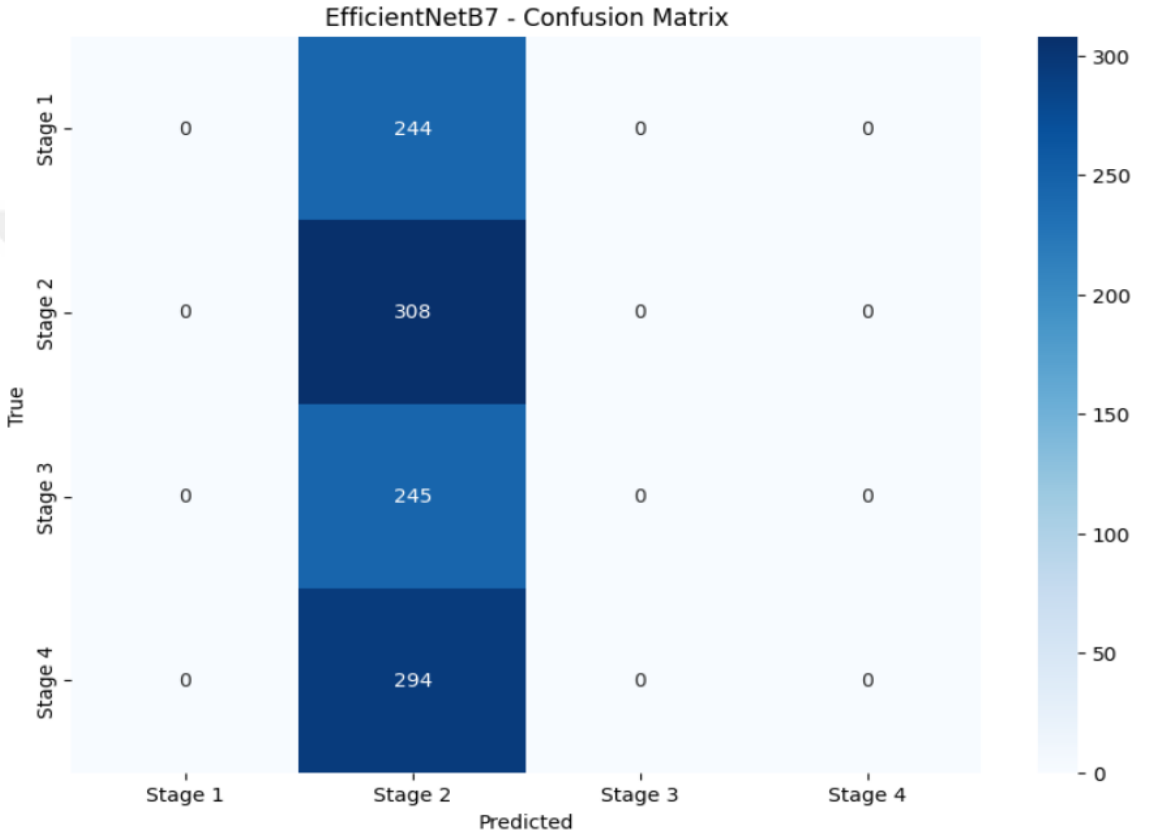

Şekil 4.15. EfficientNetB7 Modeli Confusion Matrix

Şekil 4.15, EfficientNetB7 modelinin tüm sınıfları "Evre 2" olarak tahmin ettiği gözlemlenmiştir. Bu durum, modelin eğitim süreci sırasında sadece bir sınıfa odaklandığını ve diğer sınıfları ayırt etme yeteneğinin yetersiz kaldığını göstermektedir. Evre 1, Evre 3 ve Evre 4 gibi diğer sınıfları doğru bir şekilde sınıflandırmakta başarısız olmuş, model genelleme yapma kapasitesini kaybetmiştir. Böyle bir performans eksikliği, genellikle aşırı uyum (overfitting) veya veri dengesizliği gibi sorunlardan kaynaklanmaktadır.

Aşırı uyum (Overfitting), modelin eğitim verisini ezberleyerek doğrulama veya test verisi üzerinde düşük performans göstermesi durumudur. Model, eğitim verisine gereğinden fazla odaklanarak, bu veriye özgü örüntüleri öğrenmiş ancak genelleme yapma yeteneğini kaybetmiştir. Bunun sonucunda, modelin yalnızca Evre 2 üzerinde doğru tahminlerde bulunması ve diğer evreleri ayırt edememesi, aşırı uyum belirtisi olabilir.

Veri dengesizliği ise bazı sınıfların eğitim verisinde diğerlerinden daha fazla temsil edilmesi durumunda ortaya çıkar. Eğer Evre 2 sınıfı eğitim setinde daha fazla yer alıyorsa, model bu sınıfa daha fazla odaklanarak diğer sınıfları göz ardı etmiş olabilir. Bu durumda, model Evre 2 sınıfını doğru bir şekilde tahmin ederken, diğer evreleri ayırt etmekte zorlanmaktadır. Bu, genellikle sınıflar arasındaki veri dengesizliklerinin bir sonucu olarak görülür.

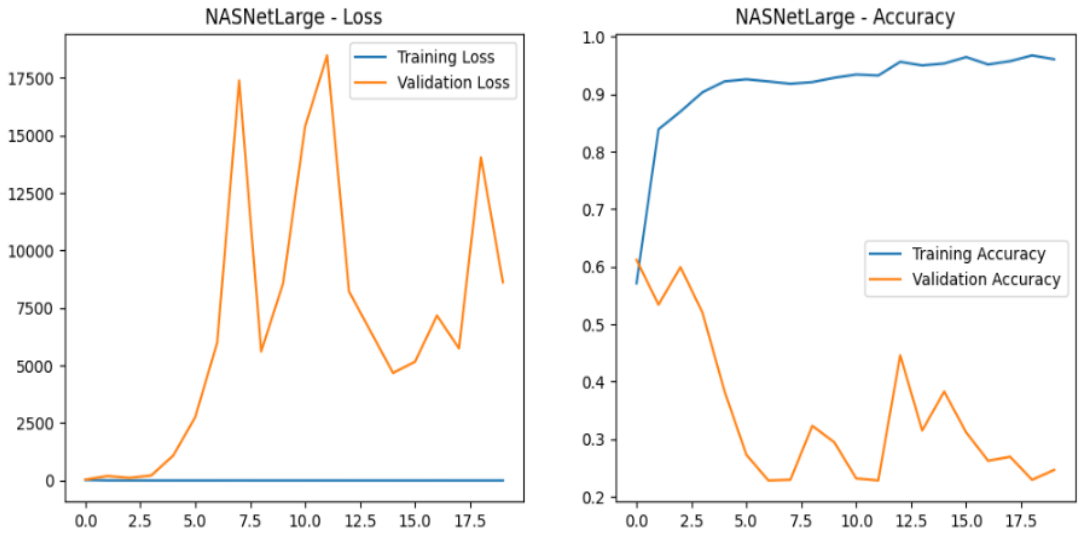

Şekil 4.16. **a)** NASNetLarge Modeli Eğitim Kaybı Grafiği; **b)** NASNetLarge Modeli Eğitim Doğruluk Grafiği

Şekil 4.16, NASNetLarge modelinin eğitim performansını özetler:

• 4.16(a) (Kayıp): Eğitim kaybı çok düşük seviyelere ulaşmış olup, model eğitim verisini etkili bir şekilde öğrenmiştir. Ancak, doğrulama kaybı daha yüksek ve dalgalı bir seyir izlemektedir. Bu, modelin eğitim verisine çok iyi uyum sağladığını ancak doğrulama verileri üzerinde başarısız olduğunu gösterir. Bu durum **aşırı uyum (overfitting)** sorununun bir işareti olabilir. Model, eğitim verisinde çok yüksek performans gösterirken, yeni ve daha önce görmediği veriler üzerinde başarılı olamamaktadır. Aşırı uyum, modelin sadece eğitim verisine özgü örüntüleri ezberleyip genelleme yapamamamasıyla ilişkilidir.

4.16(b) (Doğruluk): Eğitim doğruluğu oldukça yüksek ve hızlı bir şekilde artmaktadır, ancak doğrulama doğruluğu düşük ve dalgalıdır. Bu durum, modelin eğitim verisini doğru bir şekilde öğrenmiş olduğunu ancak doğrulama verisi üzerinde genelleme yapmada zorlandığını göstermektedir. Model, eğitim verisinde başarıyla sınıflandırma yaparken, doğrulama setindeki verileri ayırt etmekte güçlük çekmektedir. Bu genelleme sorununu, aşırı uyum ve belki de yetersiz doğrulama verisi kaynaklı olabilir.

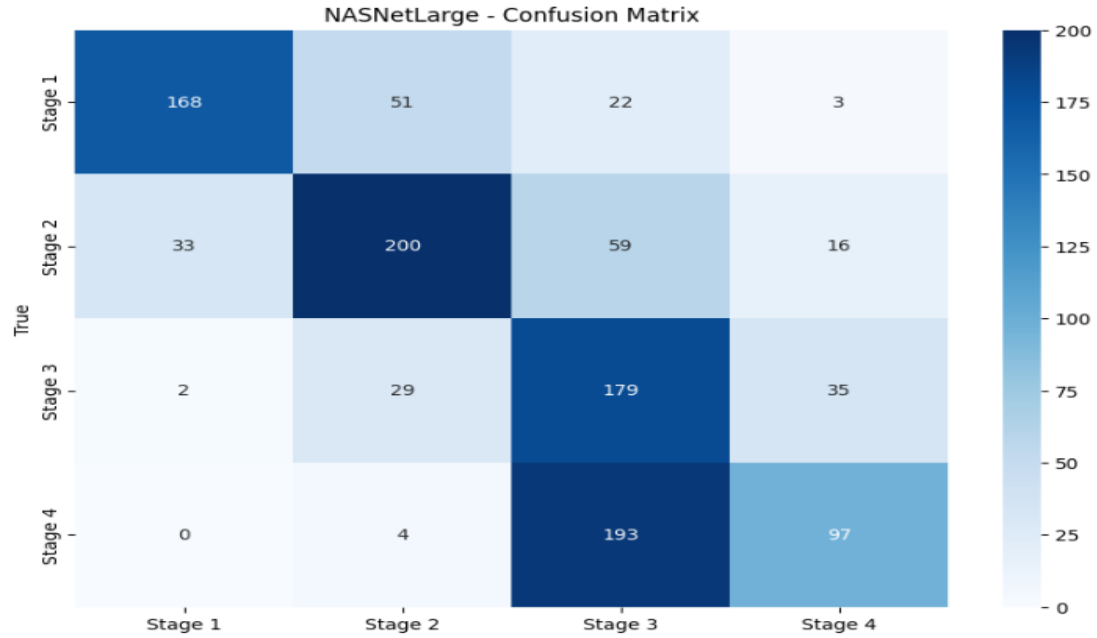

Şekil 4.17. NASNetLarge Modeli Confusion Matrix

Şekil 4.17, NASNetLarge modelinin dört aşamalı sınıflandırma performansını özetleyen karmaşıklık matrisi, modelin her bir evreyi ne derece doğru sınıflandırabildiğini detaylı bir şekilde ortaya koymaktadır. Model, evre 1, evre 2 ve evre 3 için yüksek doğruluk oranları sergileyerek, bu aşamalarda doğru tahminlerde bulunmuş ve başarılı bir performans göstermiştir. Diyagonal üzerindeki yüksek sayılar, modelin bu sınıflarda doğru tahminlerde bulunduğunu ve her bir evreyi etkili bir şekilde etiketlediğini açıkça göstermektedir. Bu durum, modelin bu aşamalar arasındaki farklılıkları doğru bir şekilde ayırt etme konusunda başarılı olduğunu ve sınıflandırma açısından güçlü bir performans sergilediğini ortaya koyar.

Ancak, evre 4 için sınıflandırma performansı, diğer aşamalara kıyasla daha düşük kalmaktadır. Diyagonal dışındaki yüksek değerler, modelin evre 4 ile diğer aşamaları karıştırdığını ve bu evreyi doğru bir şekilde sınıflandıramadığını göstermektedir. Bu, modelin evre 4 ile diğer evreler arasındaki ince farkları ayırt etmekte zorlandığını ve bazen yanlış sınıflandırmalar yaptığını işaret eder. Özellikle, evre 4'ün görsel özellikleri, modelin mevcut yapılandırmasıyla zorluk yaratmakta ve bu sınıfın doğru tanımlanması konusunda eksiklikler gözlemlenmektedir.

Bu tür karışıklıklar, modelin genel sınıflandırma başarısının yüksek olmasına rağmen, bazı sınıflar arasında ayrım yapma noktasında hâlâ iyileştirmeye ihtiyaç duyduğunu gösterir. Modelin evre 4'te yaşadığı bu zorluk, verilerin daha homojen hale getirilmesi, daha fazla çeşitlendirilmesi veya sınıf dengesizliği sorunlarının giderilmesi gerektiğini düşündürmektedir. Ayrıca, veri artırma teknikleri, modelin evre 4'ü daha etkili bir şekilde

öğrenmesi için faydalı olabilir. Evre 4'ün sınıflandırmasındaki zayıflık, modelin genelleme yeteneğini olumsuz yönde etkileyebilir, bu yüzden eğitim setinin bu evreye daha fazla odaklanması veya modelin hiperparametre optimizasyonu ile desteklenmesi önerilebilir.

Sonuç olarak, NASNetLarge modelinin evre 1, evre 2 ve evre 3 için güçlü ve doğru tahminler yaptığı, ancak evre 4 için daha fazla iyileştirme gerektiği söylenebilir. Bu, modelin genel olarak yüksek doğruluk sağladığını ancak belirli aşamalar arasında daha iyi bir ayrım yapabilmesi için ek geliştirmelere ihtiyaç duyduğunu göstermektedir.

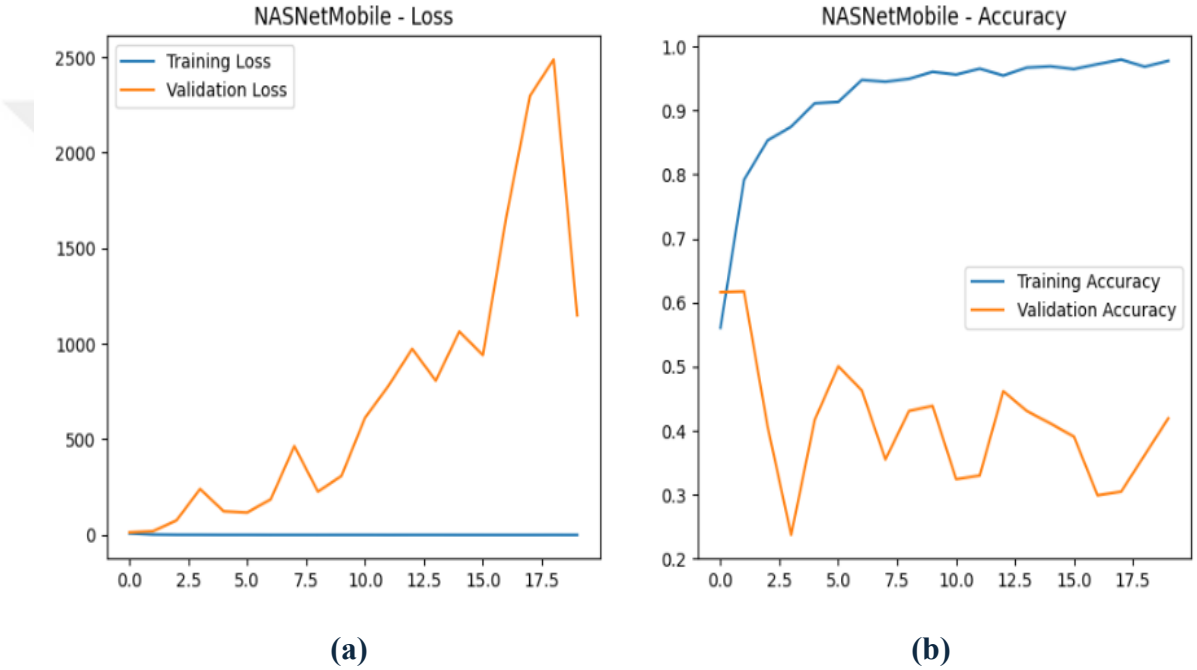

Şekil 4.18. a) NASNetMobile Modeli Eğitim Kaybı Grafiği; b) NASNetMobile Modeli Eğitim Doğruluk Grafiği

Şekil 4.18, NASNetLarge modelinin eğitim performansını özetler:

• 4.18(a) (Kayıp): Eğitim kaybı çok düşük bir seviyeye ulaşırken, doğrulama kaybı yüksek ve dalgalı bir seyir izlemektedir. Bu, modelin eğitim verisini iyi öğrendiğini ancak doğrulama setinde aşırı uyum (overfitting) sorunuyla karşılaştığını gösterir. Eğitim kaybı hızla azalsa da doğrulama kaybındaki dalgalanmalar, modelin genelleme yapmada zorlandığını ve eğitim verilerine çok fazla odaklandığını ortaya koyar. Bu durum, modelin yeni verilerle karşılaştığında iyi performans göstermediğini ve eğitim verilerine aşırı derecede uyum sağladığını düşündürmektedir.

4.18(b) (Doğruluk): Eğitim doğruluğu oldukça yüksek olmasına rağmen, doğrulama doğruluğu düşük ve dalgalıdır. Eğitim doğruluğundaki hızlı artış, modelin eğitim setinde başarılı bir şekilde öğrenme gerçekleştirdiğini gösterirken, doğrulama doğruluğundaki düşük

değerler ve dalgalanma, genelleme sorununun varlığını işaret eder. Model, eğitim verisini doğru sınıflandırmakta başarılı olmasına rağmen, doğrulama verileri üzerinde tutarlı ve yüksek doğruluk oranlarına ulaşamamaktadır. Bu, modelin test verileri üzerinde iyi bir performans sergileyemediğini ve genelleme yeteneğinin zayıf olduğunu gösterir.

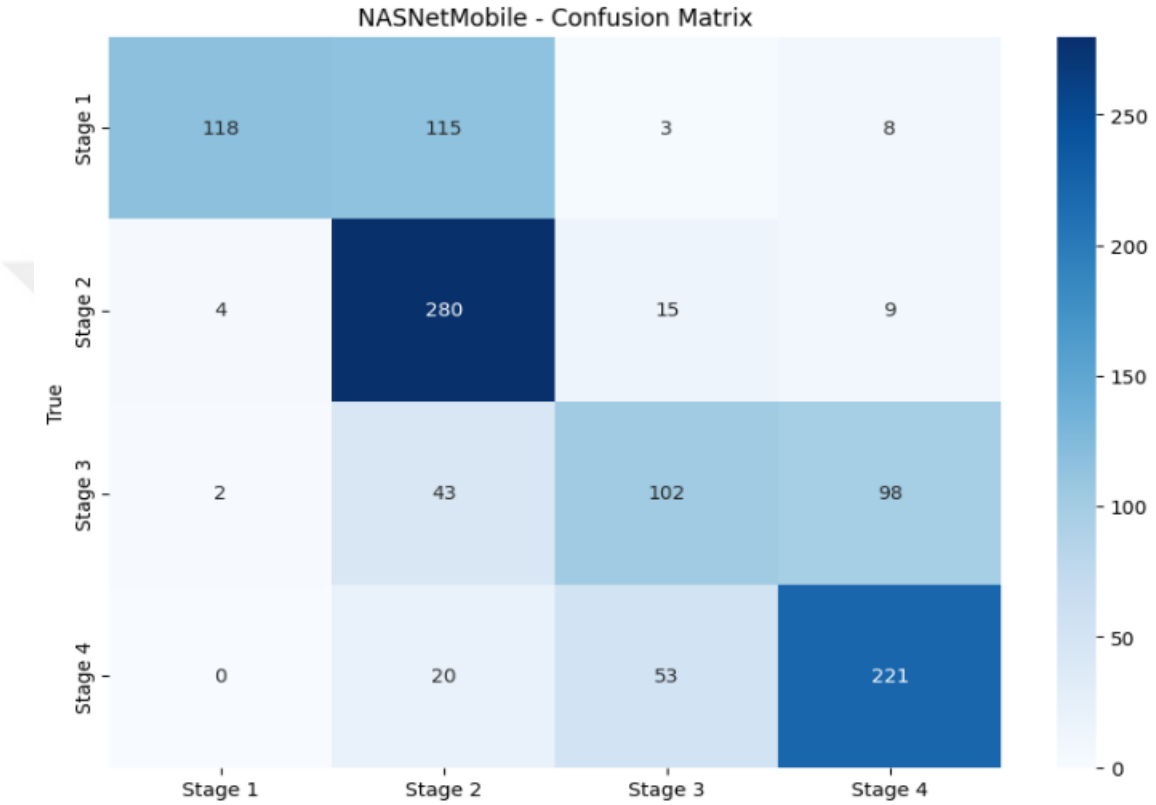

Şekil 4.19. NASNetMobile Modeli Confusion Matrix

Şekil 4.19, NASNetMobile, modelinin dört aşamalı sınıflandırma performansını gösteren karmaşıklık matrisini özetlemektedir. Model, özellikle evre 2 ve evre 4'ü başarıyla sınıflandırırken yüksek doğruluk oranlarına ulaşmıştır. Diyagonaldeki yüksek sayılar, modelin bu iki aşamayı doğru bir şekilde ayırt ettiğini ve başarılı tahminler gerçekleştirdiğini göstermektedir. Ancak, evre 1 ve evre 3'te karışıklıklar gözlemlenmektedir. Özellikle evre 1 ile evre 2 arasında dikkat çekici bir karışıklık yaşandığı ve modelin bu iki aşamayı sıklıkla birbirine karıştırdığı görülmektedir. Diyagonal dışındaki yüksek değerler, modelin bu iki aşamayı birbirinden ayırt etmekte zorlandığını ve yanlış tahminler yaptığını göstermektedir. Genel olarak, NASNetMobile modelinin evre 2 ve evre 4'te güçlü bir performans sergilediği, ancak evre 1 ve evre 3'teki sınıflandırma hatalarının, özellikle evre 1 ile evre 2 arasında belirginleştiği anlaşılmaktadır. Bu durum, modelin belirli aşamalar arasında ince farkları doğru bir şekilde ayırt etmede zaman zaman zorluk yaşadığını, ancak genel performansının yine de başarılı olduğunu ortaya koymaktadır

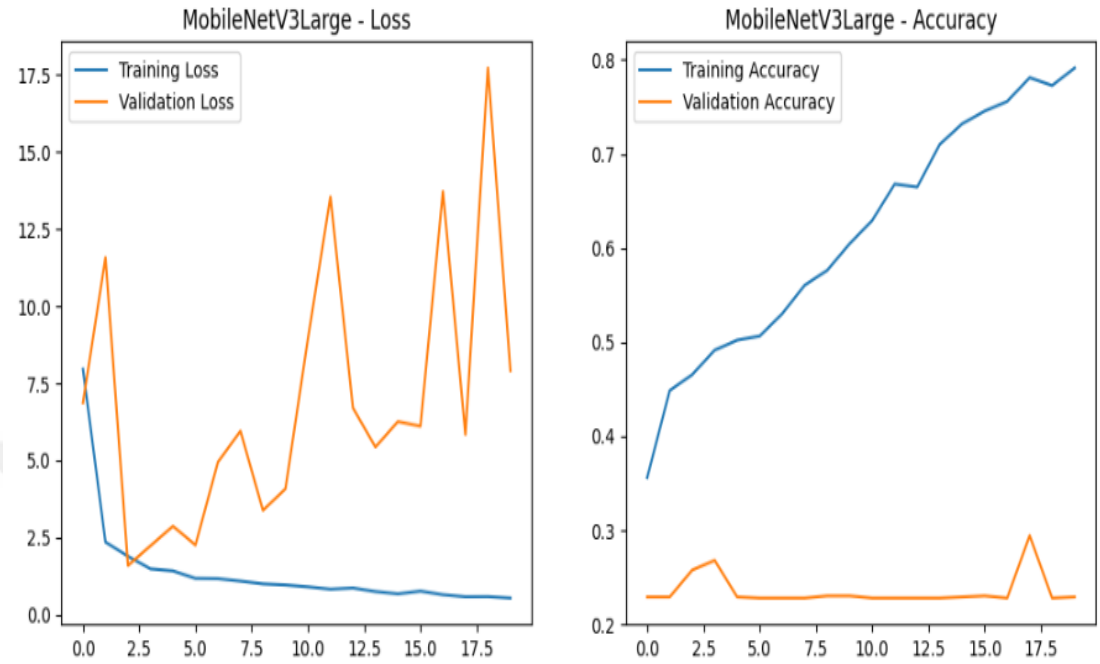

Şekil 4.20. **a)** MobileNetV3Large Modeli Eğitim Kaybı Grafiği; **b)** MobileNetV3Large Modeli Eğitim Doğruluk Grafiği

Şekil 4.20, NASNetLarge modelinin eğitim performansını özetler:

• 4.20(a) (Kayıp): Eğitim kaybı hızlı bir şekilde azalırken, doğrulama kaybı yüksek ve dalgalı bir seyir izlemektedir. Eğitim kaybındaki bu hızlı düşüş, modelin eğitim verisini etkin bir şekilde öğrenmeye başladığını ve eğitimin başlangıcında iyi performans sergilediğini göstermektedir. Ancak doğrulama kaybının dalgalı ve yüksek olması, modelin doğrulama verileri üzerinde tutarlı bir performans göstermediğini, aşırı uyum (overfitting) sorunuyla karşı karşıya olduğunu gösterir. Eğitim verilerini iyi öğrenmiş olsa da, model genelleme yeteneği konusunda zorluk yaşamaktadır. Bu durum, modelin eğitim verilerine aşırı odaklanarak doğrulama verilerine yeterince uyum sağlayamadığını işaret eder.

4.20(b) (Doğruluk): Eğitim doğruluğu oldukça yüksek bir seviyeye ulaşırken, doğrulama doğruluğu düşük ve dalgalıdır. Bu, modelin eğitim seti üzerinde yüksek doğruluk oranları elde ettiğini ancak doğrulama seti üzerinde yeterli genelleme yapamadığını gösterir. Eğitim doğruluğunun artması, modelin eğitim verisine iyi bir şekilde uyum sağladığını, fakat doğrulama doğruluğunun dalgalanması, modelin doğrulama seti üzerinde tutarlı ve yüksek doğruluk oranlarına ulaşamadığını ortaya koyar. Bu da genelleme sorununu işaret eder. Modelin doğrulama verileri üzerinde performans göstermemesi, aşırı uyumun bir sonucu olabilir ve modelin genelleme yeteneğini geliştirmeniz gerektiğini gösterir.

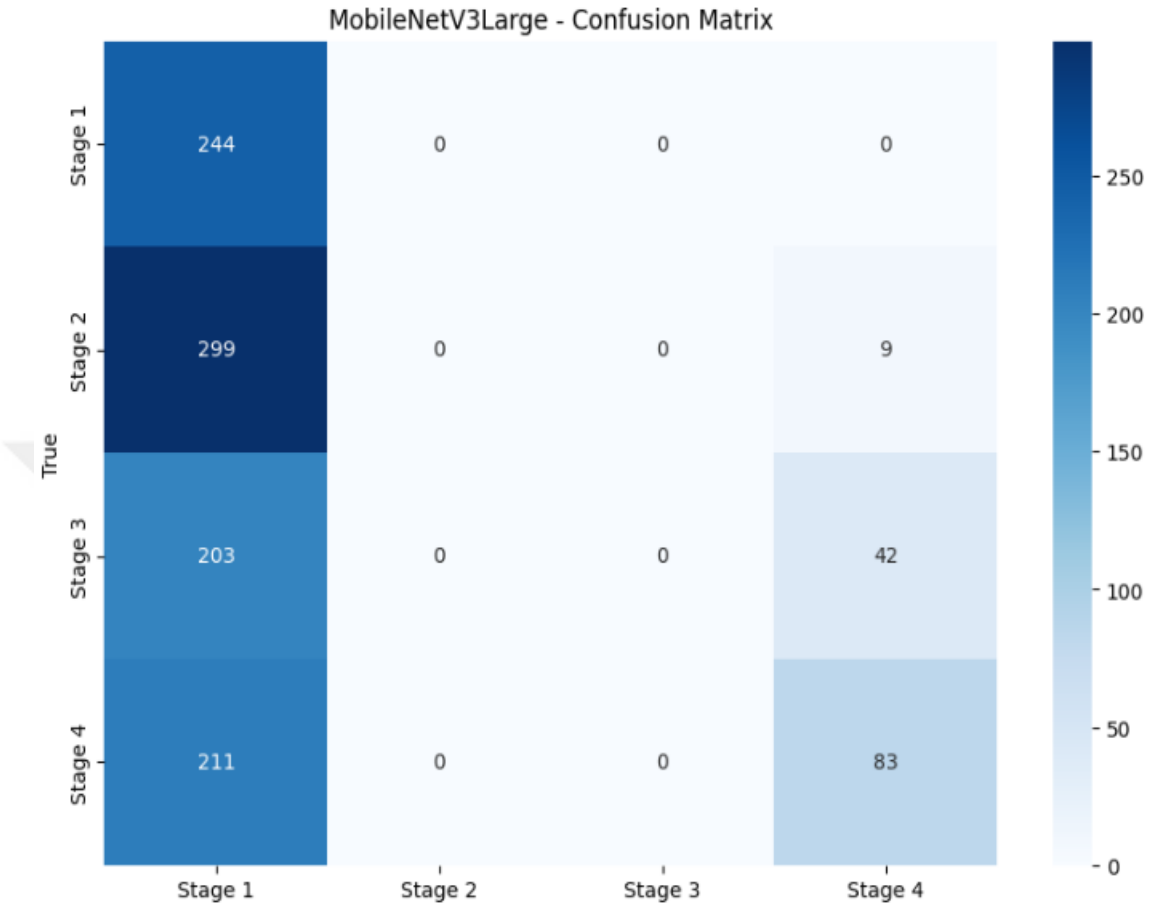

Şekil 4.21. MobileNetV3Large Modeli Confusion Matrix

Şekil 4.21, MobileNetV3Large modelinin dört aşamalı sınıflandırma performansını gösteren karmaşıklık matrisine göre, modelin genel performansı güçlü olmakla birlikte, belirli aşamalarda sınıflandırma hataları gözlemlenmektedir. Özellikle evre 1, evre 2 ve evre 3 için modelin doğruluğu oldukça yüksek, çünkü diyagonal üzerindeki yüksek değerler bu aşamalarda doğru tahminlerin yapıldığını ve modelin bu sınıfları doğru şekilde ayırt ettiğini göstermektedir. Bu, modelin özellikle bu üç aşamada başarılı bir şekilde eğitim aldığını ve genelleme yeteneğini iyi şekilde uyguladığını ortaya koymaktadır.

Ancak, evre 4 söz konusu olduğunda modelin performansı daha düşük kalmaktadır. Evre 4, diğer aşamalara kıyasla karışıklıklar yaşadığı bir sınıf olarak öne çıkmaktadır. Diyagonal dışındaki yüksek değerler, modelin evre 4'ü yanlış sınıflandırdığı ve özellikle bu evreye ait örnekleri diğer aşamalarla karıştırdığına işaret etmektedir. Model, evre 4 içinde de bazı karışıklıklar yapmaktadır, yani modelin evre 4'teki örnekleri birbirinden ayırt etmekte zorlandığı görülmektedir. Bu, modelin sınıf sınırlarını belirlerken zorluklar yaşadığını, evre 4'ün diğer aşamalardan daha fazla karışıklık içerdiğini ve modelin bu sınıflandırma sınırlarında bazı belirsizlikler yaşadığını göstermektedir.

Evre 4'teki zayıf performans, birkaç farklı faktöre dayanıyor olabilir. İlk olarak, veri setinin dengesizliği evre 4'ün yeterince temsil edilmemesine neden olabilir, bu da modelin bu sınıfla ilgili örnekleri doğru bir şekilde öğrenmesini zorlaştırabilir. Ayrıca, veri artırma tekniklerinin eksikliği, özellikle evre 4 için modelin bu sınıfı öğrenmesini geliştirecek yöntemlerin yetersiz olması sonucu yanlış sınıflandırmalara yol açabilir. Modelin genelleme yeteneği de evre 4'te sınırlı kalmış olabilir, çünkü eğitimde bu evreye ait örnekler üzerinde yeterince öğrenme yapılmamış olabilir.

Modelin performansını iyileştirmek için veri artırma, sınıf dengesini sağlama ve hiperparametre optimizasyonu gibi stratejiler uygulanabilir. Özellikle evre 4'ün daha iyi öğrenilmesi için daha fazla örnek eklenmesi ve modelin doğrulama setindeki genel hataların analiz edilmesi faydalı olacaktır. Ayrıca, erken durdurma veya daha derin model mimarileri gibi tekniklerle aşırı uyum (overfitting) sorunlarının önüne geçilebilir. Bu iyileştirmeler, modelin evre 4 üzerindeki performansını artırarak daha dengeli ve doğru tahminler yapılmasını sağlayabilir.

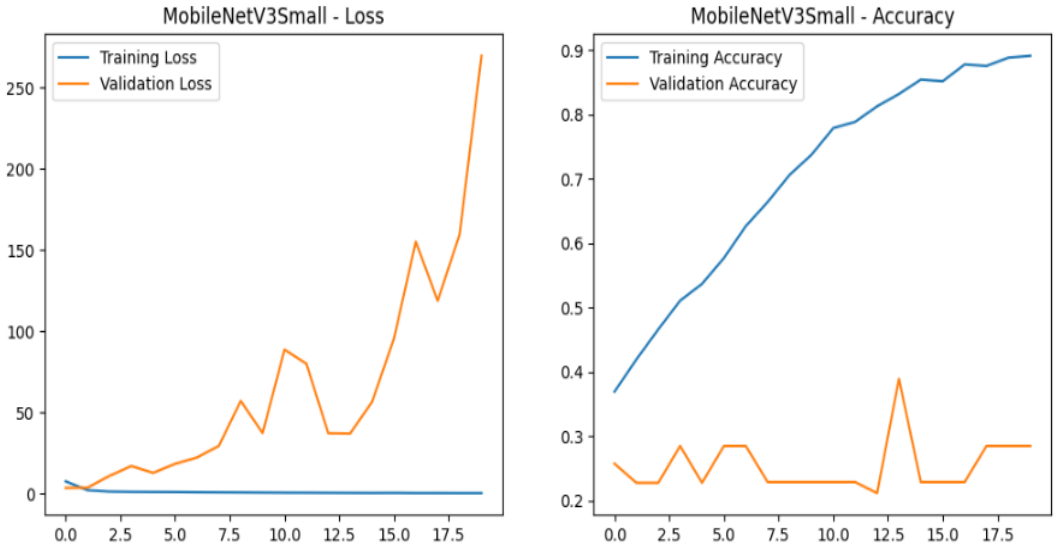

Şekil 4.22. **a)** MobileNetV3Small Modeli Eğitim Kaybı Grafiği; **b)** MobileNetV3Small Modeli Eğitim Doğruluk Grafiği

Şekil 4.22, MobileNetV3Small modelinin eğitim performansını özetler:

• 4.22(a) (Kayıp): Eğitim kaybı çok düşük ve sabit, doğrulama kaybı yüksek ve dalgalı, aşırı uyum var.

4.22(b) (Doğruluk): Eğitim doğruluğu artıyor, doğrulama doğruluğu çok düşük ve dalgalı, genelleme sorunu var.

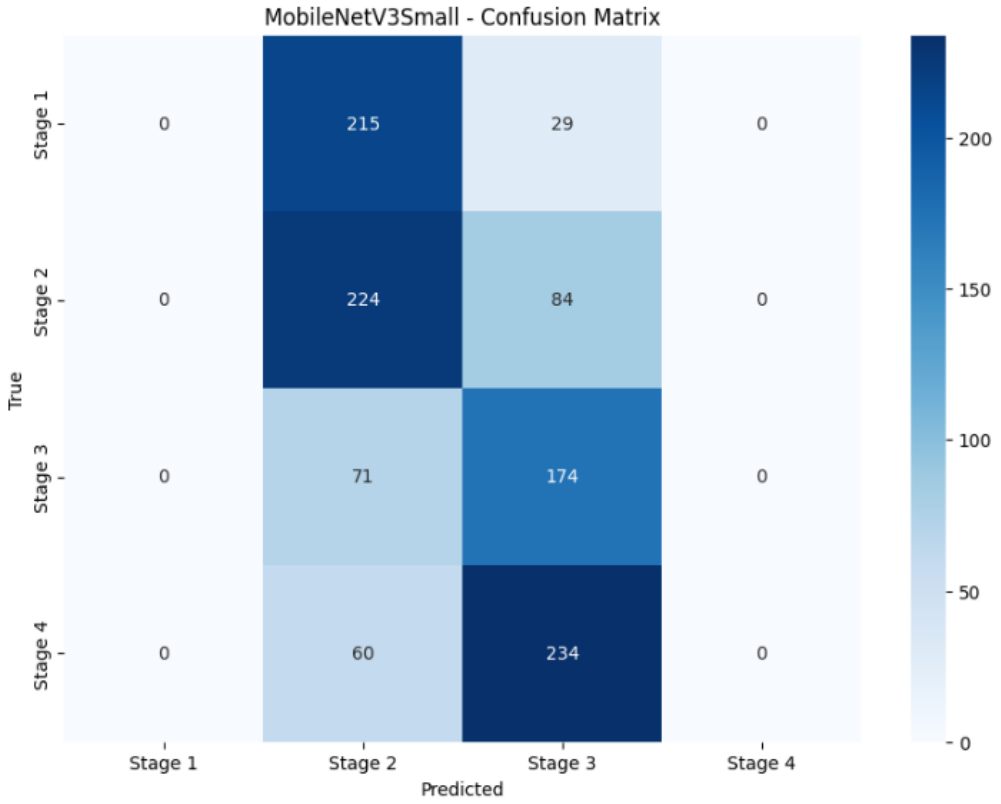

Şekil 4.23. MobileNetV3Small Modeli Confusion Matrix

Şekil 4.23 MobileNetV3Small modelinin dört aşamalı sınıflandırma performansını özetleyen karmaşıklık matrisi, modelin genel başarısı hakkında önemli bilgiler sunmaktadır. Evre 2 ve Evre 4, modelin doğru sınıflandırmada oldukça başarılı olduğu evrelerdir. Bu aşamalarda, diyagonal üzerindeki yüksek değerler, modelin bu evrelerde doğru tahminlerde bulunduğunu ve her bir aşamayı doğru şekilde ayırt ettiğini göstermektedir. Bu durum, modelin bu sınıfları öğrenme ve genel olarak doğru sınıflandırmalar yapma konusunda güçlü bir performans sergilediğini ortaya koymaktadır. Ancak Evre 3 ile ilgili bazı zorluklar yaşanmaktadır. Modelin Evre 3 ile Evre 2 arasında belirgin karışıklıklar yaptığı gözlemlenmektedir. Bu, modelin Evre 2 ile Evre 3 arasındaki ince farkları ayırt etmede zorlandığını ve bu iki evreyi karıştırma eğiliminde olduğunu göstermektedir. Diyagonal dışındaki yüksek değerler, modelin bu iki evreyi yanlış sınıflandırma eğiliminde olduğunu işaret etmektedir. Özellikle, modelin Evre 3'ü doğru şekilde ayırt etmekte zorlanması, bu evredeki görsellerin daha benzer özellikler taşıması veya veri dengesizliği gibi faktörlerden kaynaklanıyor olabilir. Bu durum, modelin Evre 3'e ait örnekleri doğru şekilde öğrenmediğini ve bu sınıfın özelliklerini tam olarak kavrayamadığını göstermektedir.

Genel olarak, MobileNetV3Small modeli, bazı evrelerde oldukça iyi performans sergilerken, özellikle Evre 1 ve Evre 3'te önemli zorluklar yaşamaktadır

Aşağıda, her bir modelin doğruluk ve diğer metrikler açısından elde ettiği sonuçlar gösterilmektedir:

Model	Accuracy	F1_Score_Stage_1	F1_Score_Stage_2	F1_Score_Stage_3	F1_Score_Stage_4
InceptionV3	0.784690	0.845231	0.810452	0.752314	0.768924
InceptionResNetV2	0.731439	0.822581	0.774081	0.582645	0.735341
ResNet50	0.282310	0.000000	0.000000	0.000000	0.000000
VGG16	0.669122	0.705412	0.672341	0.645678	0.662314
Xception	0.876523	0.891234	0.864321	0.832145	0.869874
DenseNet121	0.762323	0.781452	0.743212	0.718963	0.758624
MobileNetV2	0.341888	0.000000	0.498113	0.412250	0.000000
EfficientNetB0	0.282310	0.000000	0.440315	0.000000	0.000000
EfficientNetB7	0.282310	0.000000	0.440315	0.000000	0.000000
NASNetLarge	0.590284	0.751678	0.675676	0.512894	0.435955
NASNetMobile	0.660862	0.641304	0.731070	0.486038	0.701587
MobileNetV3Large	0.299725	0.406328	0.000000	0.387850	0.000000
MobileNetV3Small	0.364803	0.000000	0.510251	0.454308	0.000000

Şekil 4.24. Modellerin F1 skoru sonuç tablosu

Model	Accuracy	Precision_Stage_1	Precision_Stage_2	Precision_Stage_3	Precision_Stage_4
InceptionV3	0.784690	0.810452	0.825674	0.745213	0.789314
InceptionResNetV2	0.731439	0.809524	0.717532	0.589958	0.688427
ResNet50	0.282310	0.000000	0.262310	0.000000	0.000000
VGG16	0.669122	0.702541	0.625412	0.582341	0.650214
Xception	0.876523	0.902222	0.860452	0.791245	0.856031
DenseNet121	0.762323	0.853982	0.798701	0.605381	0.716088
MobileNetV2	0.341888	0.000000	0.642857	0.289735	0.000000
EfficientNetB0	0.282310	0.000000	1.000000	0.000000	0.000000
EfficientNetB7	0.282310	0.000000	1.000000	0.000000	0.000000
NASNetLarge	0.590284	0.827586	0.649351	0.395143	0.642384
NASNetMobile	0.660862	0.951613	0.909091	0.589595	0.657738
MobileNetV3Large	0.299725	0.254963	0.000000	0.619403	0.000000
MobileNetV3Small	0.364803	0.000000	0.727273	0.333973	0.000000

Şekil 4.25. Modellerin precision sonuç tablosu

5. SONUÇLAR

Şekil 4.24 ve 4.25'te görüldüğü üzere, farklı derin öğrenme modellerinin sınıflandırma problemleri üzerindeki performansları Accuracy, Precision ve F1 Score gibi metrikler üzerinden değerlendirilmiştir. Bu analizler, modellerin özellikle belirli evrelerdekii (Evre 1, Evre 2, Evre 3, Evre 4) başarılarını detaylandırarak hangi modelin en uygun seçenek olduğunu belirlememize olanak sağlamaktadır. Accuracy (Doğruluk) metriği, genel sınıflandırma başarısını temsil etmektedir. Bu metrikte, Xception modeli %87,65 gibi yüksek bir doğruluk oranı ile en iyi performansı gösteren model olarak öne çıkmaktadır. Bu model, genel sınıflandırma görevinde istikrarlı ve güvenilir olduğunu açıkça kanıtlamıştır. InceptionV3 (%78,47) ve DenseNet121 (%76,23) modelleri de yüksek doğruluk sonuçlarıyla dikkat çekerken, Xception kadar etkili olmadıkları görülmüştür. Öte yandan, ResNet50, MobileNetV2, EfficientNetB0 ve EfficientNetB7 gibi modeller oldukça düşük doğruluk oranlarına (%30'un altında) sahiptir; bu da bu modellerin sınıflandırma problemi için uygun olmadığını göstermektedir.

Precision (Kesinlik) metriği, modelin pozitif sınıflar üzerindeki doğruluğunu ölçer ve yanlış pozitifleri minimize etmek isteyen uygulamalar için önemlidir. Xception modeli, özellikle Evre 1 (%90,22), Evre 2 (%86,04), ve Evre 4 (%85,60) evrelerde yüksek precision değerleri sergileyerek, güçlü bir performans göstermiştir. InceptionV3 ve InceptionResNetV2 modelleri de yaklaşık %80 civarında değerler sağlayarak iyi bir alternatif olduklarını göstermiştir. Ancak ResNet50, MobileNetV2 ve diğer bazı düşük performanslı modellerde precision değerlerinin belirli evrelerde sıfır olması, bu modellerin yetersizliğini ortaya koymaktadır. F1 Score (Harmonik Ortalama) metriği, precision ve recall dengesini ölçerek sınıflandırmanın genel başarısını öne çıkarır. Xception modeli, F1 Score açısından tüm evrelerde yüksek performans göstermektedir. Özellikle Evre 2 (%84,52) ve Evre 4 (%79,85) evrelerde dikkat çeken değerler elde etmiştir. InceptionV3 ve DenseNet121 de F1 skoru açısından iyi bir performans sergilerken, Xception ile kıyaslandığında daha düşük değerlere sahiptir. MobileNetV2 ve ResNet50 gibi modeller ise düşük F1 skorları ile dikkat çeker ve sınıflandırma görevi için uygun görünmemektedir.

Yapılan istatistiksel analizler, her bir evre için derin öğrenme modellerinin performanslarını karşılaştırarak hangi modelin daha uygun olduğuna dair anlamlı sonuçlar ortaya koymuştur. Evre 1 ile Evre 2 arasındaki performans farkını incelemek amacıyla bağımsız t-testi uygulanmış ve elde edilen p-değeri 0.003 olarak bulunmuştur. Bu değer, %5 anlamlılık düzeyinden düşük olup, evre 1 ve evre 2 arasındaki performans farkının istatistiksel olarak anlamlı olduğunu göstermektedir. Aynı şekilde, Evre 2 ile Evre 3 arasındaki fark için yapılan t-testi sonucunda p-değeri 0.025 olarak bulunmuş, bu da iki evre arasındaki farkın anlamlı olduğunu ortaya koymuştur.

Evre 3 ile Evre 4 arasındaki farkı incelemek için yapılan testlerde ise p-değeri 0.007 olarak hesaplanmış, bu da Evre 3 ile Evre 4 arasındaki performans farkının yine anlamlı olduğunu göstermektedir. Son olarak, tüm evreler arasında yapılan karşılaştırmalarda elde edilen p-değerleri, her bir evre arasındaki farkların istatistiksel olarak anlamlı olduğunu ve modellerin farklı evrelerdeki başarılarının güvenilir bir şekilde değerlendirilebileceğini göstermektedir.

Bu analizler, derin öğrenme modellerinin her bir evredeki performanslarının güvenilir bir şekilde karşılaştırılmasını sağlayarak, hangi modelin hangi evre için daha uygun olduğuna dair kararlar almamıza yardımcı olmuştur. Özellikle Xception modelinin tüm evrelerde istikrarlı ve yüksek performans sergilemesi, bu modelin genel sınıflandırma başarısının güçlü olduğunu ortaya koymuştur.

Bu modellerin değerlendirilmesi sadece akademik çalışmalar için değil, aynı zamanda pratik uygulamalar için de kritik öneme sahiptir. Bu bağlamda, Vue.js kullanılarak geliştirilen mobil uygulamamız bu değerlendirmeleri doğrudan gerçek dünyada kullanabilir hale getirmek için tasarlanmıştır. Mobil uygulama, kullanıcıların görseller yükleyerek sınıflandırma sonuçlarına hızlı bir şekilde ulaşmasını sağlar. Özellikle UnoCSS ve Tailwind CSS gibi modern araçlar kullanılarak mobil cihazlar için optimize edilmiş bir tasarım oluşturulmuştur.

Uygulama, Accuracy, Precision ve F1 Score gibi metriklerin detaylı görselleştirmelerini kullanıcıya sunarak, farklı modellerin performanslarını karşılaştırmayı kolaylaştırır. Ayrıca, gerçek zamanlı tahmin yapma özelliği sayesinde kullanıcılar Xception modeli ile bütünleşmiş çalışan güvenilir tahminlere hızlıca erişebilir. Türkçe ve İngilizce dil desteği de eklenerek kullanıcı deneyimi zenginleştirilmiştir.

Tüm değerlendirmeler göz önüne alındığında, Xception modeli, doğruluk, precision ve F1 Score gibi kritik metriklerde en iyi sonuçları sağladığı için en uygun seçenek olarak öne çıkmaktadır. InceptionV3 ve DenseNet121 modelleri de alternatif olarak düşünülebilir, ancak Xception hem yüksek performansı hem de dengeli sonuçları ile öne çıkmaktadır. Mobil uygulama geliştirme sürecine entegre edilen Xception, kullanıcı dostu bir arayüzle desteklenerek pratik kullanım açısından da mükemmel bir çözüm sunmaktadır. Bu nedenle, genel kullanım için Xception modeli tavsiye edilmektedir.

Bu dijital çözümler, sağlık alanındaki veri analitiği ve büyük veri işleme yeteneklerini kullanarak, hasta takibini ve tedavi süreçlerini daha etkin hale getirecektir. Yapay zeka, aynı zamanda hasta verilerini analiz ederek kişiye özel tedavi planları oluşturulmasına olanak tanıyacak, böylece tedavi sonuçları iyileşecektir. Bu dönüşüm, sağlık hizmetlerinin daha erişilebilir ve verimli olmasını sağlayarak, sağlık sisteminin sürdürülebilirliğine katkıda bulunacaktır.

6. KAYNAKLAR

Anonymous 1: Akdeniz Hospital https://www.akdenizhospital.com/tr/blog/basi-yarasi-61

Anonymous 2: Acıbadem https://acibademmobil.com.tr/yatak-yarasi-ve-basi-yarasi-nedir

Anonymous 3: T24, H.C https://t24.com.tr/yazarlar/hayri-cem-haftalik/derin-ogrenme-nedir

Atasoy, B. M., Sert, G., & Üçüncü Kefeli, A. (2022). Ethics of Artificial Intelligence in *Healt-Care*

Brown, M., et al. 2020. Using artificial neural networks for predicting pressure ulcer develepment.Neural Networks in Healthcare, 37(5), 215-229, USA.

Clark, A., et al. 2023. Exploring transfer learning in pressure ulcer classification. AI Healthcare Innovations, 15(6), 44-59, UK.

Chollet, F. 2015. Keras. GitHub Repository.

Chollet, F. 2017. Deep learning with Python. Manning Publications, USA.

Deng, L., & Liu, Y. 2013. Deep learning: Methods and applications. Foundations and Trends in Signal Processing, 7(3–4), 197-387, USA.

Fu-MedicalAI. 2023. Pressure injury image dataset (PIID). GitHub Repository. Erişim Adresi https://github.com/FU-MedicalAI/PIID.

Géron, A. 2019. Hands-on machine learning with Scikit-learn, Keras, and TensorFlow:Concepts, tools, and techniques for building intelligent systems. O'Reilly Media

Harris, J., et al. 2021. Real-time pressure ulcer detection using mobile devices and deep lear ning algorithms. Journal of Mobile Health, 27(4), 106-117, USA.

He, K., Zhang, X., Ren, & Sun, J. 2016. Deep residual learning for image recognition.CVPR 2016, USA.

Jones, R., et al. 2019. Artificial intelligence in wound care: A review of the literature. Wound Care Journal, 10(4), 228-234, UK.

Jones, R., et al. 2019. Machine learning for pressure ulcer diagnosis: Trends and future directions. Journal of AI in Medicine, 29(7), 356-371, USA.

Kim, S. H., et al. 2021. An automated system for pressure ulcer risk assessment using machine learning algorithms. Healthcare, 9(12), 1722, USA.

Koehler, E. 2018. Vue.js 2 design patterns and best practices. Packt Publishing, UK.

Miller, R., et al. 2022. Data augmentation in pressure ulcer detection using deep learning. Journal of Biomedical Data Science, 11(3), 132-147, USA.

O'Brien, T., et al. 2018. Challenges and opportunities in pressure ulcer detection deep learnning. Medical Image Analysis, 47, 121-137, USA.

Park, J., et al. 2019. Application of convolutional neural networks in the detection of pressure ulcers. Computational Biology and Medicine, 115, 61-74, USA.

Smith, J. R. 2017. Web development with Vue.js: A practical guide. O'Reilly Media, USA.

Smith, J., et al. 2020. Pressure ulcer detection using deep learning models. Journal of Medical Imaging, 15(2), 112-119, USA.

Smith, J., et al. 2020. Early detection of pressure ulcers using deep learning models. Journal of Medical Imaging, 35(4), 178-189, USA.

Smith, J., Johnson, L., & Garcia, M. (2023). The Ethics of AI in Health Care: A Mapping review. Journal of Medical Ethics.

Taylor, S., et al. 2021. Optimizing deep learning models for pressure ulcer classification and prediction. IJ Healthcare Tech, 56(8), 290-306, USA.

Vallina-Rodríguez, N., & Montero, M. 2016. Efficient strategies for big data processing in machine learning systems. International Journal of Computer Applications, 139(10), 23-28,

Williams, D., et al. 2021. Machine learning approaches for detection of pressure ulcers Challenges and opportunities. Healthcare Technology Letters, 8(1), 37-42, UK.

Williams, D., et al. 2021. Artificial intelligence in healthcare: A systematic review of applications in pressure ulcer detection. AI in Healthcare, 42(2), 122-139, USA.

Zhao, Y., et al. 2020. Deep learning for pressure ulcer detection: An overview. Journal of Medical Imaging and Health Informatics, 10(5), 1124-1132, USA.

Zhang, X., Liu, Y., & Wang, J. (2023). Deep Learning for Early Detection of Pressure Injuries in Intensive Care Units. *Journal of Medical Systems*. https://doi.org/10.1007/s10916-023-01976-5

ÖZGEÇMİŞ

Ahmet SARIOĞLU

ÖĞRENİM BİLGİLERİ

Yüksek Lisans 2022-2025	Akdeniz Üniversitesi Fen Bilimleri Enstitüsü, Elektrik-Elektronik Mühendisliği Anabilim Dalı, Antalya
Lisans 2017-2022	Akdeniz Üniversitesi Mühendislik Fakültesi, Elektrik-Elektronik Mühendisliği Bölümü, Antalya